

بِسْمِ اللّٰهِ الرَّحْمٰنِ الرَّحِيْمِ



موسسه آموزش عالی انرژی  
دانشکده فنی و مهندسی  
پایان نامه دوره کارشناسی ارشد  
مهندسی سیستم‌های انرژی - سیستم‌های انرژی

### عنوان

# بررسی افت فشار و انتقال حرارت درون سیستم‌های لوله‌کشی و گرمایشی با به کار گیری نانو سیالات و آشفته‌سازهای جریان

استاد راهنما

دکتر یوسف یاسی

استاد مشاور

دکتر حیدر مداع

پژوهشگر

سارا عباسی زنگنه



	تاریخ صورتجلسه گروه آموزشی
	شماره دانشجویی
	کد دفاع
	تاریخ صورتجلسه شورای پژوهشی

با اسمه تعالی  
صورتجلسه دفاع

زنگنه	با تأییدات خداوند متعال جلسه دفاع از پایان نامه کارشناسی ارشد خانم		
بررسی افت فشار و انتقال حرارت درون سیستم‌های لوله‌کشی و گرمایشی با به کارگیری نانوسیالات و آشفته‌سازهای جریان	مهندسي سیستم‌های انرژي گرایش سیستم انرژي	تحت عنوان:	در رشته:
با حضور استاد راهنما، استاد (استادان) مشاور و هیأت داوران در مؤسسه آموزش عالی انرژی ساوه در تاریخ تشکیل گردید.			
در این جلسه، پایان نامه: □ با موققیت مورد دفاع قرار گرفت □ نیازمند اصلاحات است □ مردود اعلام گردید.			
(بدون احتساب نمره مقاله)	با امتیاز	نامبرده نمره	

نام و نامخانوادگی استاد راهنما	دکتر یوسف یاسی	محل امضاء
نام و نامخانوادگی استاد مشاور	دکتر حیدر مراح	محل امضاء
هیأت داوران:		
۱	محل امضاء ۱	محل امضاء ۲
۲		
مدیر گروه یا رئیس تحصیلات تكمیلی واحد: نام و نامخانوادگی محل امضاء	معاون پژوهشی و فناوری مؤسسه آموزش عالی انرژی ساوه	

\*\*\*\*\* (اطلاعات این قسمت حتماً توسط کارشناس پژوهشی تکمیل گردد)  
 نمره حاصل از ارزشیابی مقاله / مقالات دانشجو برای ضوابط (از سقف ۲ نمره) ..... محاسبه و نمره نهایی پایان نامه (مجموع نمره دفاع و مقاله) به عدد ..... به حروف ..... با درجه ..... به تصویب رسید. / موارد اصلاحیه جهت اجرا به اطلاع دانشجو رسید.

تأیید معاون پژوهشی و فناوری مؤسسه آموزش عالی انرژی ساوه

تأیید کارشناس حوزه پژوهشی

تقدیم به

پدر و مادر عزیز و مهربانم

که در سختی‌ها و دشواری‌های زندگی همواره یاوری دلسوز و فداکار  
و پشتیبانی محکم و مطمئن برایم بوده‌اند.

## سپاسگزاری

سپاس و ستایش مر خدای را جل و جلاله که آثار قدرت او بر چهره روز روشن، تابان است و انوار حکمت او در دل شب تار، درفشان. آفریدگاری که خویشتن را به ما شناساند و درهای علم را بر ما گشود و عمری و فرصتی عطا فرمود تا بدان، بنده ضعیف خویش را در طریق علم و معرفت بیازماید.

## چکیده

در این مطالعه، جریان سیال نانوسیال Al2O3 در یک مبدل حرارتی دوسرطحی با نوارپیچی اصلاح شده به صورت آزمایشگاهی تحت شرایط جریان آشفته مورد مطالعه قرار می‌گیرد. آزمایش‌ها با نسبت گشتاور هندسی مقاومت (GPR) پیچیده به عنوان نوارهای پیچیده اصلاح شده جدید و غلظت نانوسیال مختلف در شرایط عملکردی مشابه انجام شد. طول ارتفاع از نوارهای پیچیده پیشنهاد شده و در نتیجه نسبت پیچ و تاب آن‌ها در طی پیچ‌ها با توجه به نسبت گشتاور هندسی (GPR)، چه کاهش ( $<1$ ) و یا افزایش ( $>1$ ) IGPR تغییر می‌کند. با توجه به اطلاعات آزمایشگاهی، استفاده از پیچش RGPR همراه با نانوسیال‌ها باعث افزایش میزان انتقال حرارت و عامل اصطکاک از  $12\%$  تا  $28\%$  و از  $5\%$  تا  $52\%$  در مقایسه با لوله‌های معمولی پیچ خورده (GPR = 1) و نانوسیال‌ها است. در مقابل، عملکرد با استفاده از پیچش IGPR از  $0/92$  تا  $0/95$  و از  $0/75$  تا  $0/80$  ضعیف‌تر شد. عملکرد حرارتی مبدل حرارتی با نانوسیال و نوارهای پیچیده اصلاح شده برای ارزیابی بهبود کلی رفتار حرارتی مورد ارزیابی قرار گرفت. همبستگی‌های کلی برای برآورد تعداد Nusselt عامل اصطکاک و ضریب عملکرد حرارتی در شرایط جریان آشفته توسعه یافت. سازگاری کافی بین همبستگی‌های فعلی و داده‌های تجربی به دست آمده، اعتبار همبستگی پیشنهادی را تأیید می‌کند.

**كلمات کلیدی:** افت فشار، انتقال حرارت، نانوسیال.

## فهرست مطالب

صفحه	عنوان
۱	فصل اول: کلیات پژوهش
۲	۱-۱ نانوتکنولوژی
۳	۱-۱-۱ کاربردها
۴	۱-۲ نانو ذرات
۵	۱-۲-۱ کاربردهای نانوذرات
۶	۱-۳ روش‌های تولید و بررسی خواص نانوذرات
۷	۱-۳-۱ روش‌های عمل‌آوری شیمیایی
۸	۱-۳-۱-۱ افزودن سورفتانت
۹	۱-۳-۱-۲ عامل دار کردن سطحی
۱۰	۱-۳-۱-۳ کتترل pH
۱۱	۱-۳-۲ روش‌های عمل‌آوری فیزیکی
۱۲	۱-۳-۲-۱ التراسونیک کردن
۱۳	۱-۳-۲-۲ هموژن سازی
۱۴	۱-۳-۲-۳ بال میل کردن
۱۵	۱-۴ نوع نانوسیال
۱۶	۱-۵ فرضیات
۱۷	۱-۶ هدف
۱۸	۱-۷ روش پژوهش و مراحل انجام پایاننامه
۱۹	فصل دوم: ادبیات پژوهش

۱۸	۱-۲ مقدمه
۲۲	۲-۲ ترکیب نانو سیالات
۲۲	۱-۲-۲ روش دو مرحله‌ای
۲۳	۲-۲-۲ روش تک مرحله‌ای
۲۳	۳-۲ افزایش پایداری نانو سیالات
۲۳	۴-۲ پیشینه مطالعاتی تحقیق
۲۸	<b>فصل سوم: مواد و روش جمع آوری داده‌ها.</b>
۲۹	۱-۳ مقدمه
۲۹	۱-۱-۳ بررسی افت فشار در سیستم‌های لوله‌کشی بر پایه سیال اتیلن گلیکول
۳۰	۲-۳ مشخصات ابعادی سیستم لوله‌کشی
۳۵	۳-۳ سیال مورد آزمایش مخلوط اتیلن گلیکول و آب
۳۵	۳-۳-۱ روش انجام آزمایش
۳۶	۴-۳ مقدار افت فشار قرائت شده روی لوله‌های پیزومتر توسط دستگاه تلفات انرژی به واسطه سیال مورد آزمایش (اتیلن گلیکول و آب)
۳۸	۵-۳ آماده‌سازی نمونه‌ها
۴۰	۶-۳ نوارهای پیچ خورده
۴۱	۷-۳ روش و ساختار آزمایشگاهی انتقال گرمای
۴۳	<b>فصل چهارم: یافته‌های پژوهش</b>
۴۴	۱-۴ مقدمه
۴۴	۱-۴-۱ ارزیابی خواص ترموفیزیکی
۴۸	۴-۲ کاهش داده‌ها

۵۱	۴-۳ تجزیه و تحلیل عدم قطعیت
۵۲	۴-۴ نتایج و بحث
۵۲	۴-۴-۱ رسانایی گرمایی نانو سیال‌ها
۵۲	۴-۴-۲ ویسکوزیته‌ی نانو سیال
۵۳	۴-۴-۳ آزمون تأیید با آب
۵۴	۴-۴-۴ آزمون تأیید مربوط به نوار پیچانیده شده
۵۷	۴-۴-۵ اثر نوارهای در هم پیچیده‌ی اصلاح شده
۶۰	۴-۴-۶ ارتباط‌ها (همبستگی‌ها)
۶۵	فصل پنجم: نتیجه‌گیری
۶۶	۱-۵ نتیجه‌گیری
۶۶	۲-۵ پیشنهادات
۶۷	منابع

## فهرست جدول‌ها

عنوان	صفحة
جدول ۱-۳ مقادیر تقریبی ضریب افت $k$ برای قطعات تجاری در لوله‌کشی	۳۳
جدول ۲-۳ افت فشار در تنگ‌شدگی	۳۴
جدول ۳-۳ سیال مورد آزمایش مخلوط اتیلن گلیکول و آب	۳۵
جدول ۴-۳ سیال مورد آزمایش مخلوط اتیلن گلیکول و آب	۳۶
جدول ۵-۳ جدول داده‌های به دست آمده از آزمایش مخلوط سیال اتیلن گلیکول و نانوسیال دی‌اکسید تیتانیوم	۳۷
جدول ۶-۳ جدول داده‌های به دست آمده از آزمایش مخلوط سیال اتیلن گلیکول و نانوسیال اکسید آلومینیوم	۳۷
جدول ۷-۳ اختلاف فشار به وجود آمده	۳۷
جدول ۱-۴ عدم قطعیت‌های مربوط به ادوات و خواص	۶۳
جدول ۲-۴ عدم قطعیت‌ها برای پارامترها و متغیرها	۶۳

## فهرست شکل‌ها

عنوان	صفحة
شکل ۱-۱ نمونه‌ای از ساختار سورفکتانت: دودسیل سولفات سدیم (SDS)	۵
شکل ۲-۱ توصیف شکل میسل سورفکتانت	۶
شکل ۳-۱ اصلاح سطح CNT با پیوند کوالانسی	۷
شکل ۴-۱ نمودار شماتیک کاوش فرماصوتی	۸
شکل ۵-۱ توصیف شماتیک همگن‌ساز برشی بالا	۱۰
شکل ۶-۱ نمودار شماتیک آسیاب‌های گلوله‌ای سیاره‌ای	۱۰
شکل ۷-۱ دستگاه اتلاف انرژی سیستم لوله‌کشی منبع: نگارنده	۱۶
شکل ۲-۲ متغیرها در سنتز nanoMWCNT: نانو کربنی چند دیواره	۲۱
شکل ۲-۲ تصویرسازی سنتز نانو سیال‌ها	۲۲
شکل ۱-۳ دستگاه اتلاف انرژی سیستم لوله‌کشی منبع: نگارنده	۲۹
شکل ۲-۳ افت در اثر ضریب اصطکاک ناگهانی	۳۲
شکل ۳-۳ افت بار در اثر انقباض ناگهانی	۳۴
شکل ۴-۳ (a) تصویر SEM از ذرات Al2O3 (b) تصویر TEM از ذرات Al2O3	۳۹
شکل ۵-۳ هندسه‌ها (a) نوار پیچ خورده نوعی (b) نوارهای پیچ خورده (c) نوارهای RGPR پیچ خورده IGPR	۴۰
شکل ۶-۳ نمای شماتیک از ساختار آزمایشگاهی [۸۷].	۴۱
شکل ۴-۱ (a) مقایسه رسانایی گرمایی بین داده اندازه‌گیری شده و مقدار محاسبه شده از سایر همبستگی‌ها. (b) رسانایی گرمایی به عنوان تابعی از دما و بخشی از حجم	۴۵
شکل ۲-۴ (a) مقایسه چسبندگی بین داده اندازه‌گیری شده و مقدار محاسبه شده از همبستگی‌های دیگر. (b) چسبندگی به عنوان نرخ برش و کسر حجمی	۴۸
شکل ۳-۴ اعتباربخشی داده آزمایشگاهی لوله ساده برای عدد ناسلت	۴۹
شکل ۴-۴ اعتباربخشی لوله ساده با آب برای عامل اصطکاک	۴۹

..... شکل ۴-۵ اعتباربخشی لوله ساده با نوارهای پیچ خورده و آب: (a) عدد ناسلت و (b) عامل اصطکاک	۵۰
..... شکل ۴-۶ تأیید تیوب صفحه‌ای با نوارهای پیچانیده و نانوسیال: (a) عدد ناسلت و (b) فاکتور اصطکاک	۵۳
..... شکل ۴-۷ اثر نرخ تصاعد هندسی مربوط به عدد ناسلت (a) <i>IGPR</i> , (b) <i>RGPR</i>	۵۵
..... شکل ۴-۸ تأثیر نسبت تصاعد هندسی بر عدد ناسلت (a) <i>IGPR</i> , (b) <i>RGPR</i>	۵۶
..... شکل ۴-۹ تأثیر نسبت تصاعدی هندسی بر عامل اصطکاک (a) <i>IGPR</i> , (b) <i>RGPR</i>	۵۸
..... شکل ۴-۱۰ تغییرات شاخص بهبود گرمایی یا عدد رینولدز برای (a) <i>IGPR</i> , (b) <i>RGPR</i>	۶۰
..... شکل ۱۱-۴ اعتباربخشی همبستگی‌های تجربی برای (a) عدد ناسلت, (b) فاکتور اصطکاک, (c) عملکردگرمایی	۶۲

## فهرست نمودارها

عنوان	صفحة
نمودار ۱-۱ افزایش رسانش گرمایی نانو سیال های $\text{CuO}$	۱۱
نمودار ۱-۲ افزایش رسانش گرمایی نانو سیال های $\text{Al}_2\text{O}_3$	۱۲
نمودار ۱-۳ افزایش رسانش گرمایی نانو سیال های $\text{Ti}_2\text{O}$	۱۲
نمودار ۱-۴ افزایش رسانش گرمایی نانو سیال های $\text{ZnO}$	۱۲
نمودار ۱-۵ افزایش رسانش گرمایی نانو سیال های مغناطیسی	۱۳
نمودار ۱-۶ افزایش رسانش گرمایی نانو سیال های فلزی	۱۳
نمودار ۱-۷ افزایش رسانش گرمایی نانو سیال های کریستالی	۱۳
نمودار ۱-۸ افزایش رسانش گرمایی نانو سیال های CNT	۱۴
نمودار ۱-۹ افزایش رسانش گرمایی نانو سیال های هیبریدی	۱۴
نمودار ۱-۱۰ افزایش رسانش گرمایی نانو سیال ها با مواد مختلف نانو ذره	۱۵
نمودار ۲-۱ ارقام و جداول (تمامی داده ها از السویر)	۱۹
نمودار ۲-۲ تعداد نشره های بر حسب قلمروی موضوعی (تمامی داده ها از السویر) [۴۵]	۱۹
نمودار ۲-۳ هدایت حرارتی مواد نانوذرات و مایعات پایه مورد استفاده در نانو سیال ها	۲۱

**فصل اول**

**کلیات پژوهش**

## ۱-۱ نانوتکنولوژی

یک نانومتر  $10^{-9}$  متر می‌باشد. بسته به اندازه‌ی اتم بین سه تا شش اتم را می‌توان در یک نانومتر جای داد. با ایجاد ارتباط میان اندازه‌ی اتم‌ها و مقیاس نانو می‌توان یک نانومتر را راحت‌تر تصور کرد. طبق تعاریف مقیاس طولی بین  $10^{-10}$  تا  $10^{-9}$  نانومتر را مقیاس نانو می‌گویند. نانو فناوری عبارت است از هنر دست‌کاری مواد در مقیاس اتمی یا مولکولی و به خصوص ساخت قطعات و لوازم میکروسکوپی (مانند روبات‌های میکروسکوپی). این فناوری بر پایه‌ی تک‌تک اتم‌ها و مولکول‌ها استوار است، بدین‌منظور که بتوان ساختاری پیچیده را با خصوصیات اتمی تولید کرد. این دانش توانایی کار در سطح اتمی و ایجاد ساختارهایی که نظم مولکولی جدیدی دارند را دارا می‌باشد. ماده‌ی اصلاح شده در مقیاس نانو خصوصیات مفید و جدیدی را دارا می‌گردد که قبلًا در آن مشاهده نمی‌گردید. فناوری نانو می‌تواند شامل توسعه و استفاده از ادوات و قطعاتی که اندازه‌ی آن‌ها تنها چند نانومتر است، نیز باشد. به‌طور کلی فناوری نانو و ازهای است که به تمام فناوری‌های پیشرفت‌های در عرصه‌ی کار با مقیاس نانو اطلاق می‌گردد. پیشرفت‌های اخیر در نانوتکنولوژی و نانومواد به توسعه دسته جدیدی از سیالات انتقال حرارت شامل ذرات در اندازه نانو که نانوذرات نامیده می‌شوند، می‌پردازد که از نانولوله‌های کربنی، فلزات، یا اکسیدها ساخته شده است. نانوسیالات به‌وسیله سوسپانسیونی کردن نانوذرات با اندازه‌های متوسط زیر  $10^{-9}$  نانومتر در یک سیال پایه مانند آب، اتیلن گلایکول و روغن طراحی شده است [۱].

تعیین فشار و دبی جریان در یک سیستم اتصال لوله‌ها (شبکه لوله‌ها) از مسائل مهم هیدرولیک می‌باشد. شبکه لوله‌ها به سیستمی از لوله‌ها اطلاق می‌شود که از یک لوله منفرد و یا سیستم پیچیده‌ای از لوله‌ها با قطرها و طول‌های مختلف تشکیل شده است. به عنوان مثال می‌توان شبکه آبرسانی در شهرها را از نمونه‌های خوب شبکه لوله‌های پیچیده نام برد، عموماً شبکه لوله‌ها به صورت سری، موازی و حلقوی در سیستم‌های آبرسانی طراحی می‌گردند؛ بنابراین سنجش میزان افت انرژی در نقاط مختلف برای انجام محاسبات دقیق آبرسانی لازم است.

## ۱-۱ کاربردها

زمینه‌های بالقوه‌ی نانوتکنولوژی عبارتند از الکترونیک، ارتباطات، برق (قدرت)، کامپیوتر، صنایع شیمیایی و داروسازی، بهداشت و محیط‌زیست، تکنولوژی اطلاعات، بیوتکنولوژی، امنیت ملی، پزشکی و انرژی. به دست آوردن یا رسیدن به قدرت و توانایی کنترل در سطح مولکولی در سرتاسر ساختار ماده تنوع گسترده‌ای از کاربردهای مثبت را به همراه خواهد آورد. زمینه‌هایی که نانوتکنولوژی قبلًا در آن‌ها به کار رفته است عبارتند از پزشکی و دارویی، تولید و توزیع انرژی، نساجی، مخابرات و ارتباطات، مواد شیمیایی، علوم و مهندسی مواد، محیط‌زیست، فناوری اطلاعات، صنایع دفاعی، خودرو و هواپما و زمینه‌هایی که در آینده با استفاده از نانوتکنولوژی پیشرفت خواهند کرد: سیستم‌های میکروالکترومکانیکی<sup>۱</sup>، مواد مقاوم در برابر فرسودگی، بهبود و اصلاح نامرئی مواد آسیب‌دیده (دارای نقص‌های ساختاری)، نانو ماشین‌ها، نانو الاستیسیته، وسایل نانوالکتریکی و مغناطیسی، دستگاه‌های محاسبه‌ی جدید و ابزارهای اپتوالکترونیک خواهند بود [۲].

## ۱-۲ نانو ذرات

ذرات نانومتری به عنوان مواد نانومتری پیش‌سازنده برای تولید ساختارها و ادوات پیچیده به کار می‌روند و استفاده از آن‌ها سبب بهبود و تغییر پدیده‌های فیزیکی شیمیایی یا فرآیندهای بیولوژیکی می‌گردد و باعث بروز خواص جدیدی می‌شود. این خواص نیروی حرکه‌ای را به وجود آورده و سبب پیگیری و انگیزه‌ی بیشتر برای ادامه‌ی تحقیقات می‌گردد [۱].

نانومواد را گاهی اوقات وقتی که متراکم و فشرده نشده باشند، نانوپودر<sup>۲</sup> می‌نامند که اندازه‌ی دانه‌های آن‌ها حداقل در یک بعد و یا معمولاً در سه بعد در محدوده‌ی ۱ تا ۱۰۰ نانومتر می‌باشد. نانوذرات انواع فلزی، اکسیدهای فلزی، عایق‌ها و نیمه‌هادی‌ها، نانوذرات ترکیبی نظیر ساختارهای هسته لایه و حتی نانولوله‌های کربنی را دربر می‌گیرد. نانوذرات به عنوان مواد با سطح مقطع بالا، خواص شیمیایی، مکانیکی، نوری و مغناطیسی بهتری از خود نشان می‌دهند که آن‌ها را از مواد توده‌ای با ابعاد معمولی و بزرگ متمایز می‌سازد [۳].

<sup>1</sup> Micro Electro Mechanical System (MEMS)

<sup>2</sup> Nanopowder

## ۱-۲-۱ کاربردهای نانوذرات

از جمله کاربرد آن‌ها می‌توان به سیستم‌های بیولوژیکی، پزشکی، توزیع دارو در بدن، کاتالیست، سرامیک، الکترونیک و مغناطیس، محیط‌زیست و انرژی اشاره کرد [۳]. مواد عایق‌کننده، ماشین‌ابزارها، فسفرها یا مواد تابنده، باتری‌ها، آهنرباهای پرقدرت، وسایل نقلیه‌ی موتوری و هواپیما، کاشت‌های طبی، کاربردهای پزشکی و نانوسیال که از مخلوط کردن نانوذرات در یک سیال پایه تشکیل می‌شود نیز از سایر کاربردهای نانوذرات می‌باشد [۱].

## ۱-۳ روش‌های تولید و بررسی خواص نانوذرات

### ۱-۳-۱ روش‌های عمل‌آوری شیمیایی

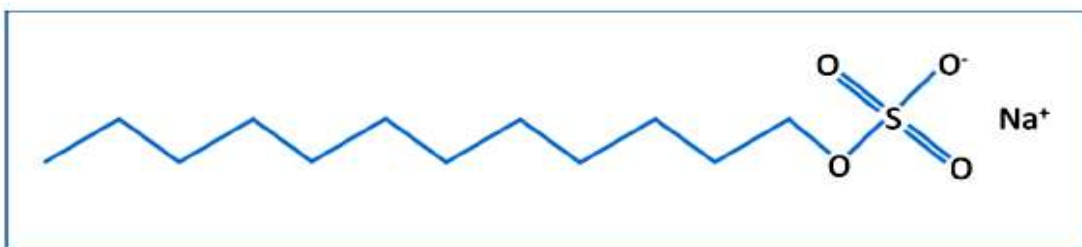
پایداری<sup>۱</sup> نانوسیال‌ها به طبیعت مایع پایه و نانوذرات مورد استفاده، بستگی دارد. برای مثال، نانوذرات اکسیدی دارای طبیعت آب‌دوست هستند در حالی که نانوتیوب‌های کربنی (CNTs) آب‌گریز هستند. علاوه بر این، آب به عنوان یک مایع پایه، قطبی است در حالی که روغن یک ماده‌ی غیرقطبی است؛ بنابراین، افزودن سورفکتانت یا اصلاح کننده‌ی سطح ذرات می‌تواند موجب بهبود خاصیت پراکندگی نانوذرات در داخل سیال پایه شود. مثلاً این مسئله مشاهده می‌شود که با استفاده از این مواد، می‌توان CNT‌ها را در داخل آب و یا نانوذرات اکسیدی را در داخل روغن پراکنده ساخت.

سورفکتانت در واقع عوامل فعال سطحی هستند که به عنوان یک پل میان نانوذره و سیال پایه عمل می‌کنند و بدین صورت از آگلومره شدن<sup>۲</sup> ذرات جلوگیری می‌کنند. یکی دیگر از روش‌های پایدارسازی شیمیایی دیگر، اصلاح سطحی است که در حقیقت پیش از پراکنده‌سازی نانوذرات در داخل سیال پایه، بر روی سطح نانوذرات انجام می‌شود. افزودن اسیدها یا بازها می‌تواند pH را در خارج از گسترهٔ pH مربوط به نقطه‌ی ایزوالکتریک (IEP) قرار دهد و بدین صورت پایداری سوسپانسیون کلوئیدی بهبود می‌یابد. این روش‌ها به صورت خلاصه در بخش‌های زیر مورد بررسی قرار می‌گیرد.

<sup>1</sup> Stability  
<sup>2</sup> aggregation

### ۱-۳-۱ افزودن سورفکتانت

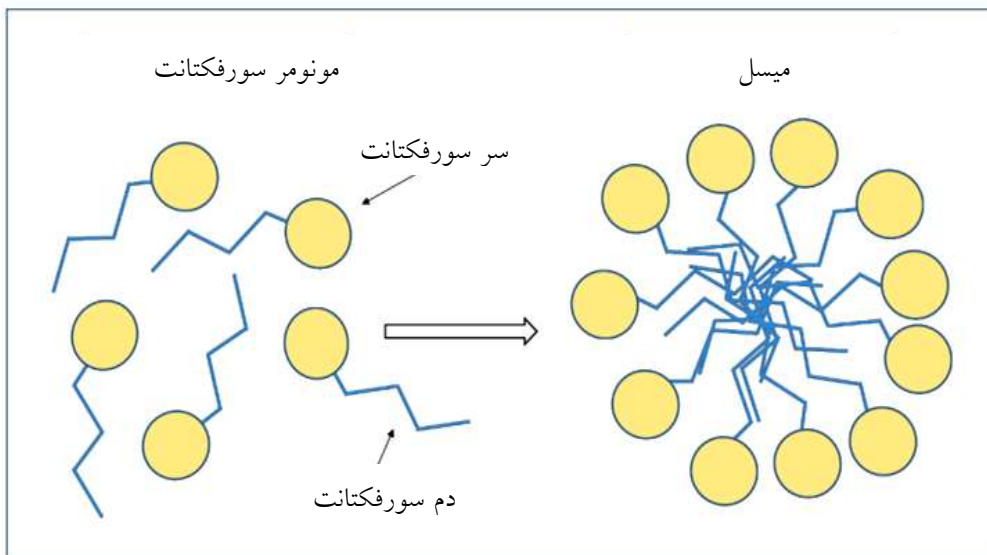
سورفکتانت یکی از محصولات فرآگیر مورد استفاده در صنعت شیمیایی، شوینده، داروسازی، گل مورد استفاده در حفاری، فرایند فلوتاسیون و... می‌باشد. این ماده به صورت گستردۀ در تولید نانو سیال‌های با خاصیت پراکنده‌سازی خوب، استفاده می‌شود. سورفکتانت‌ها می‌توانند به عنوان مواد محلول در روغن و مواد محلول در آب مورد استفاده قرار گیرند؛ بنابراین، نوع سورفکتانت می‌تواند بر اساس نوع سیال پایه، انتخاب شود. سورفکتانت‌ها می‌توانند آنیونی (دارای بار منفی)، کاتیونی (دارای بار مثبت)، غیر آنیونی (خنثی) یا آمفوتر (هم دارای بار منفی و هم مثبت) باشند. در حقیقت این طبقه‌بندی بر اساس بار ایجاد شده در سرگروه‌های عاملی این مواد، انجام شده است. در اصل، بار سطحی نانوذرات و نوع سیال پایه‌ی مورد استفاده، این مسئله را تعیین می‌کند که چه سورفکتانتی مورد استفاده قرار گیرد. چندین سورفکتانت متداول در تحقیقات نانو سیال عبارتند از: سدیم دو دسیل سولفونات (SDS) [۴، ۵، ۶، ۷، ۸ و ۹]، سدیم دو دسیل بنزن سولفونات (SDBS) [۱۰، ۱۱، ۱۲ و ۱۳]، اولئیک اسید [۱۴، ۵]، ستیل تری متیل آمونیوم برومید (CTAB) [۱۵ و ۱۶]. دو دسیل تری متیل آمونیوم برومید (DTAB) [۱۷، ۱۸]، صمع عربی [۱۹، ۲۰] و پلی وینیل پیرولیدین (PVP) [۲۱، ۱۶]. یک مثال از ساختار شیمیایی سورفکتانت‌ها در شکل (۱-۱) نشان داده شده است.



شکل ۱-۱ نمونه‌ای از ساختار سورفکتانت: دودسیل سولفات سدیم (SDS)

عبارت غلظت بحرانی میسلی<sup>۱</sup> (CMC) در حقیقت غلطی است که در بالا آن سورفکتانت تشکیل می‌سیل می‌دهد و تمام سورفکتانت‌های اضافی به میسل تبدیل می‌شوند (شکل ۲-۱) [۲۲].

<sup>۱</sup> Critical Micelle Concentration



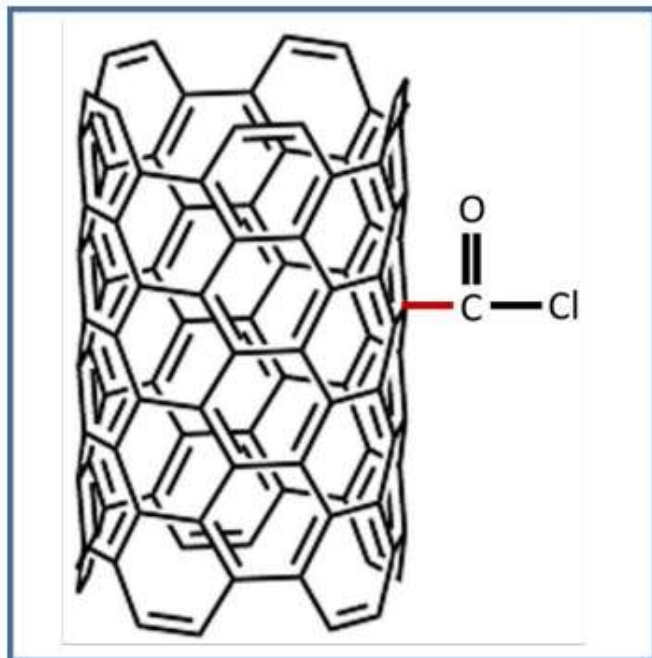
شکل ۲-۱ توصیف شکل میسل سورفکتانت

بنابراین، در طی افروzen سورفکتانت‌ها به سیستم‌های نانوسيال، با کاهش غلظت سورفکتانت به کمتر از غلظت CMC، از تشکیل میسل‌ها جلوگیری می‌شود. این مسئله باید در نظر گرفته شود که استفاده از سورفکتانت ممکن است استفاده از نانوسيال در دماهای بالا را با مشکل روپرور کند [۲۳، ۲۴، ۲۵] وقتی دما بالاتر از ۶۰ درجه‌ی سانتی‌گراد باشد، سورفکتانت‌ها به صورت کلی تخریب می‌شود [۲۶]. این مسئله به‌طور قابل توجهی، استفاده از این مواد در کاربردهای انتقال حرارت دما بالا و متوسط را محدود می‌کند.

### ۲-۱-۳-۱ عامل دار کردن<sup>۱</sup> سطحی

در این روش، سطوح نانوذرات یا نانوتیوب‌ها قبل از پراکنده شدن در داخل سیال پایه، عامل دار می‌شود. یک مثال نمونه‌وار از اصلاح کننده‌های سطحی عامل دار کردن CNTs با استفاده از عمل آوری اسیدی (شکل ۳-۱) می‌باشد. عامل دار کردن در حقیقت ایجاد مکان‌های فعال الکتروشیمیایی بر روی سطوح CNT‌ها است که موجب بهبود پراکنده‌سازی این مواد در آب می‌شود.

<sup>۱</sup> Functionalization



شکل ۱-۳-۱ اصلاح سطح CNT با پیوند کووالانسی

### pH ۱-۳-۱-۳ کتربل

دستکاری پتانسیل زتا یک روش برای افزایش پایداری پراکنده‌سازی کلوئیدی است.

نانوذرات در زمانی پایداری بیشتری دارند که pH محلول در خارج از نقطه‌ی ایزووالکتریکی (IEP) قرار دارد. در این گستره، بار سطحی ذرات و مقادیر پتانسیل زتا صفر است [۲۷ و ۲۸]. به هر حال pH مربوط به سوسپانسیون معمولاً باید در حوالی pH ختشی نگهداری شود زیرا محلول‌های قلیایی و اسیدی ممکن است منجر به خوردگی سطوح انتقال حرارت و تهنشینی نانوذرات شوند [۲۹].

### ۱-۳-۲ روش‌های عمل آوری فیزیکی<sup>۱</sup>

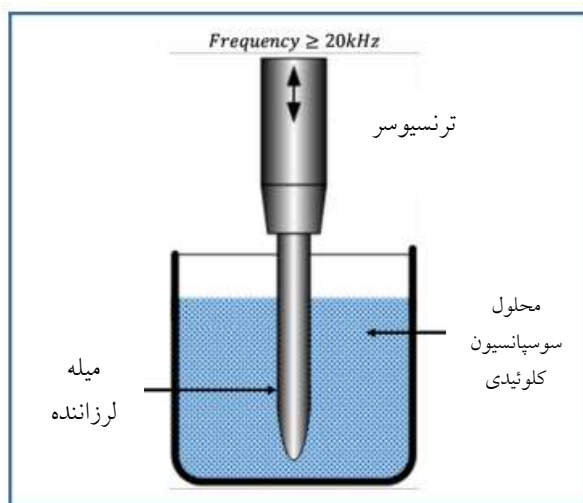
در این روش، یک میزان انرژی بالا از طریق التراسونیک به نانوسيال وارد می‌شود.

هموزن‌سازی یا بال میل کردن موجب شکسته شدن خوش‌های نانوذرهای و تشکیل یک سوسپانسیون کلوئیدی پایدار می‌شود. معمولاً سورفکtant‌ها سپس به منظور جلوگیری از آگلومره شدن نانوذرات استفاده می‌شوند.

<sup>۱</sup> Physical Treatment

### ۱-۳-۲-۱ التراسونیک کردن

حمام‌ها یا پروب‌های التراسونیک (شکل ۴-۱) معمولاً برای پراکنده‌سازی فیزیکی خوش‌های نانوذرها<sup>۱</sup> استفاده می‌شوند. پروب‌های التراسونیک متداول‌ترین روش پایداری‌سازی در بین روش‌های عمل آوری فیزیکی است.



شکل ۴-۱ نمودار شماتیک کاوش فرماصوتی

انرژی صوت در یک سطح التراسونیک  $20\text{ kHz}$  و بالاتر، برای یک دوره‌ی زمانی از پیش تعیین شده مورد استفاده قرار می‌گیرد و بدین صورت خوش‌های نانوذرها شکسته می‌شود و نانوذرات در داخل سیال پایه پراکنده می‌شوند [۳۰]. محققین از سطوح فرکانس و توان مختلف التراسونیک در بازه‌های زمانی مختلف استفاده می‌کنند. شرایط بهینه‌ی اعمال فرایند التراسونیک ممکن است با پارامترهای مختلف، تغییر کند. این پارامترها، عبارتند از غلظت نانوذرها، اندازه‌ی نانوذرها، نوع ذره، نوع سیال پایه و... . برای مثال، مهبوبل<sup>۲</sup> و همکارانش [۳۱] اثر زمان التراسونیک بر روی پایداری نانوسيال‌های آلومینا در سیال پایه‌ی آب را مورد بررسی قرار دادند. با افزایش زمان التراسونیک، یک پراکنده‌ی کلوئیدی بهتر و یک ویسکوزیته‌ی پایین‌تر حاصل می‌شود. گارگ<sup>۳</sup> و همکارانش [۳۲] اثر زمان التراسونیک بر روی ویسکوزیته و کارایی انتقال حرارت نانوسيال‌های حاوی نانوتیوب‌های کربنی چند دیواره (MWCNT) را مورد بررسی قرار دادند. آن‌ها زمان‌های التراسونیک مختلف ( $20$ ،  $40$ ،  $60$  و  $80$  دقیقه) را مورد

<sup>1</sup> nanoparticle clusters

<sup>2</sup> Mahbubul

<sup>3</sup> Garg

<sup>4</sup> nanofluid

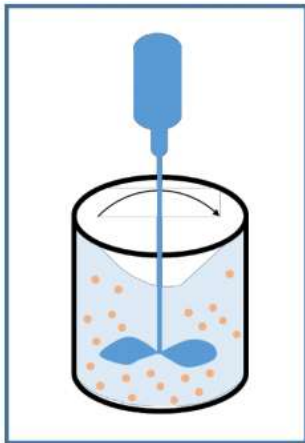
بررسی قرار دادند. زمان بهینه‌ی التراسونیک برای این پژوهش ۴۰ دقیقه برای نانوسیال MWCNT بود که حاوی ۱ درصد وزنی از MWCNT بود. توان و فرکانس التراسونیک در این روش، به ترتیب W ۱۳۰ و kHz ۲۰ بود. یک مطالعه‌ی مشابه که به وسیله‌ی کواک و کیم (۳۲) انجام شده است، نشان می‌دهد که نانوسیال‌های CuO بر پایه‌ی اتیلن گلیکول که با استفاده از ژنراتور التراسونیک (W ۱۰۰، kHz ۲۰) تولید شده‌اند، برای دوره‌ی زمانی ۱ تا ۳۰ ساعت، پایدار بودند. زمان التراسونیک بهینه برای نانوسیال CuOEG در شرایط گفته شده، برابر ۹ ساعت بود. لی و همکارانش [۳۳] یک مخلوط از آب و آلومینا را با اعمال یک نوسان التراسونیک در فرکانس kHz ۳۰-۴۰ پایدار کردند. در این آزمون، دوره‌ی التراسونیک ۵، و ۳۰ ساعت، مورد استفاده قرار گرفت. پایدارترین نانوسیال بعد از ۵ ساعت التراسونیک، ایجاد شد. نمادی و واگولی [۳۴] اثر تغییر زمان التراسونیک را بر روی پایداری نانوسیال‌های مس-آب، مورد بررسی قرار دادند. آن‌ها نتیجه‌گیری کردند که فرایند التراسونیک پربویی برای به‌دست آوردن نانوسیال‌های پایدار CuO بر پایه‌ی آب مناسب است.

### **۱-۳-۲-۲ هموژن سازی<sup>۱</sup>**

هموژن‌سازهای با انرژی برشی بالا (شکل ۵-۱) برای شکستن خوشه‌های نانوذره‌ای در سوسپانسیون‌های کلوئیدی مناسب می‌باشند. هوانگ و همکارانش [۳۵] از روش‌های مختلف از جمله هم زدن، استفاده از حمام التراسونیک، پراکنده سازهای التراسونیکی و هموژن‌سازهای با فشار بالا برای پایدارسازی نمونه‌های نانوسیال، استفاده کردند. آن‌ها اندازه‌ی کلوئیدها را به منظور بررسی آگلومره شدن ذرات در سوسپانسیون‌ها، مورد بررسی قرار دادند. آن‌ها پیشنهاد کردند که هموژن‌سازهای فشار بالا یک ابزار مؤثر برای شکستن آگلومره‌های نانوذره‌ای می‌باشد. بویی و همکارانش [۳۶] همچنین از هموژن سازی فشار بالا برای پایدارسازی نانوتیوب‌های کربنی تک جداره<sup>۲</sup> و نانوذرات اکسید تیتانیم در سوسپانسیون‌ها، استفاده کردند. این فهمیده شد که روش اعمال شده برای پراکنده‌سازی نانوذرات در داخل سیال‌های پایه، مفید می‌باشد.

<sup>1</sup> Homogenization

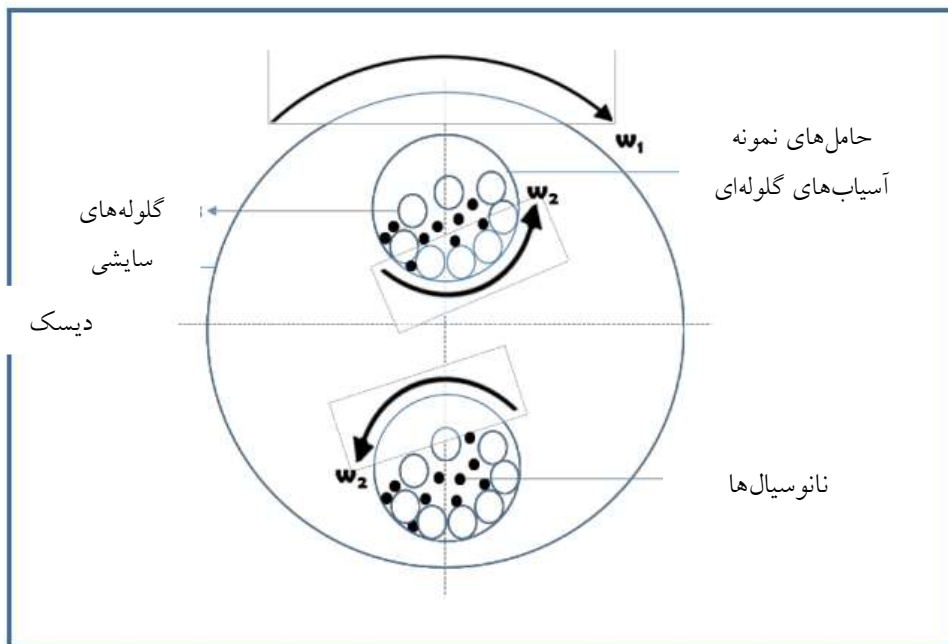
<sup>2</sup> SWCNH



شکل ۱-۵ توصیف شماتیک همگن‌ساز برشی بالا

### ۱-۳-۲-۳ بال میل کردن

بال میل کردن نیز یک روش دیگر برای پراکنده‌سازی یا باز کردن نانوذرات و نانوتیوب‌ها در سیال‌های پایه می‌باشد. یک دیاگرام شماتیک از آسیاب سیارهای در شکل (۱-۶) آورده شده است. اگرچه بال میل یک روش پیش پا افتاده در افزایش پایداری سوسپانسیون‌هاست، چندین محققین گزارش کرده‌اند که این روش، یک روش مؤثر در تولید سوسپانسیون‌های با پراکنده‌گی مناسب است.

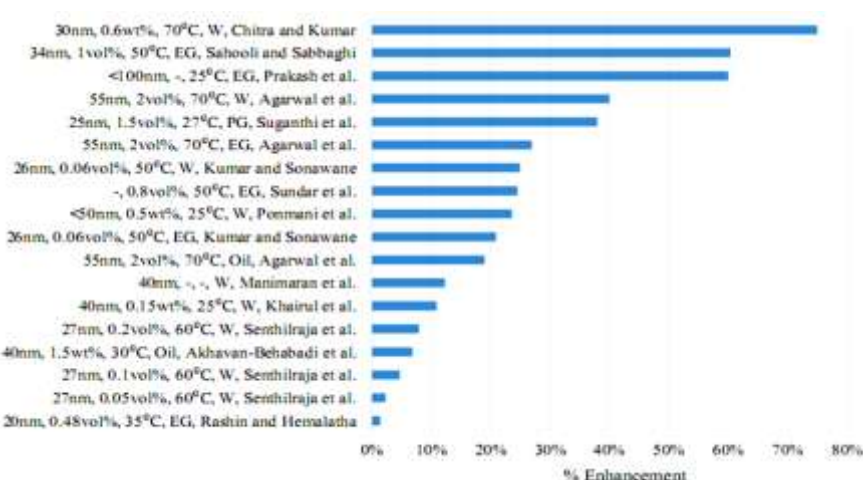


شکل ۱-۶ نمودار شماتیک آسیاب‌های گلوله‌ای سیارهای

فاربود و همکارانش [۳۷] نانوسيال‌هایی بر پایه‌ی روغن موتور سنتزی تولید کرده‌اند که در آن، از نانوذرات CuO استفاده می‌شود. روغن، نانوذره و گلوله‌های آسياب در داخل یک محفظه قرار داده می‌شود و به مدت ۳ ساعت در داخل یک آسياب سياره‌ای آزمایشگاهی، آسياب می‌گردد. گلوله‌ها دارای اندازه‌ی قطر يك سانتيمتر بود و محفظه نيز از جنس فولاد ضدزنگ بود. نسبت وزني گلوله به نانوسيال ۷ به ۱ انتخاب شد. بعد از بال ميل کردن، نانوسيال بسيار پايدار بودند و هيچ تهنشيني بعد از ۳۰ روز، مشاهده نشد. علاوه بر اين، هيچ تغييري در مورفولوژي نانوذرات موجود نيز يافت نشد. مطالعه‌ی ديگر در اين زمينه که به وسیله‌ی اتفاقی و همکاران انجام شد [۳۸] نشان داد که آسياب کردن در داخل آسياب سياره‌ای يك روش مناسب برای تولید نانوسيال‌هایی بر پایه‌ی روغن حاوي نانوذرات می‌باشد.

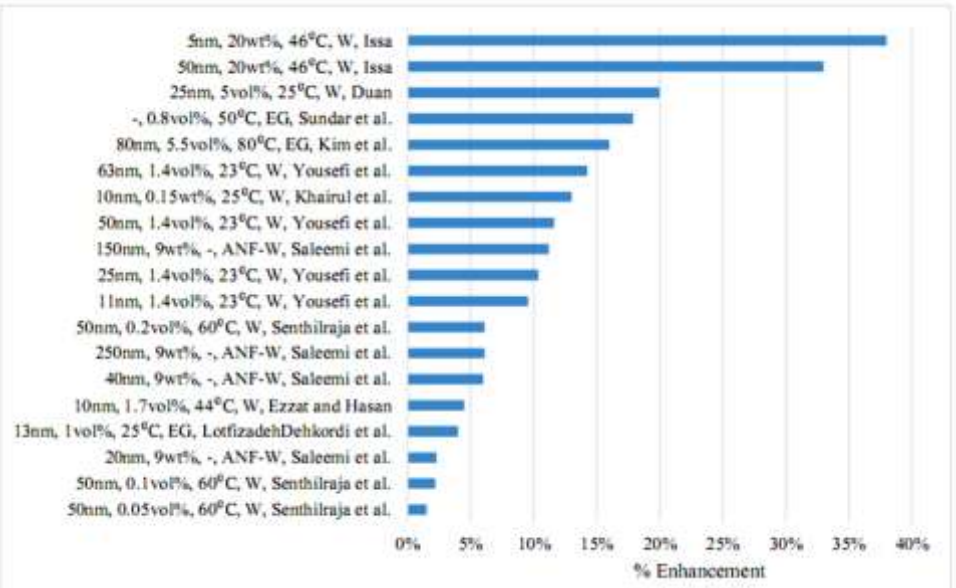
## ۱-۴ نوع نانوسيال

نانوسيال‌های حاوي انواع مختلف از نانوذرات مانند نانوذرات فلزی (مس و نقره)، اكسيدهای فلزی (آلومينا و CuO)، نانومواد كربنی (نانوتیوب‌های تک دیواره و چند دیواره) نيز مورد بررسی قرار گرفته است. اين بخش مقاله‌های منتخب در زمينه‌ی سنتز، پايداري و خواص ترموفيزيکی<sup>۱</sup> نانوسيال با استفاده از انواع مختلف از نانوذرات را مورد بررسی قرار داده است. رسانايي گرمایي نانوسيال‌های بهبود يافته که در مطالعه‌های مورد بررسی در اينجا، حاصل شده است، بر اساس نوع نانوذره در نمودار (۱-۱) تا (۱-۱۶) ترسیم شده است.

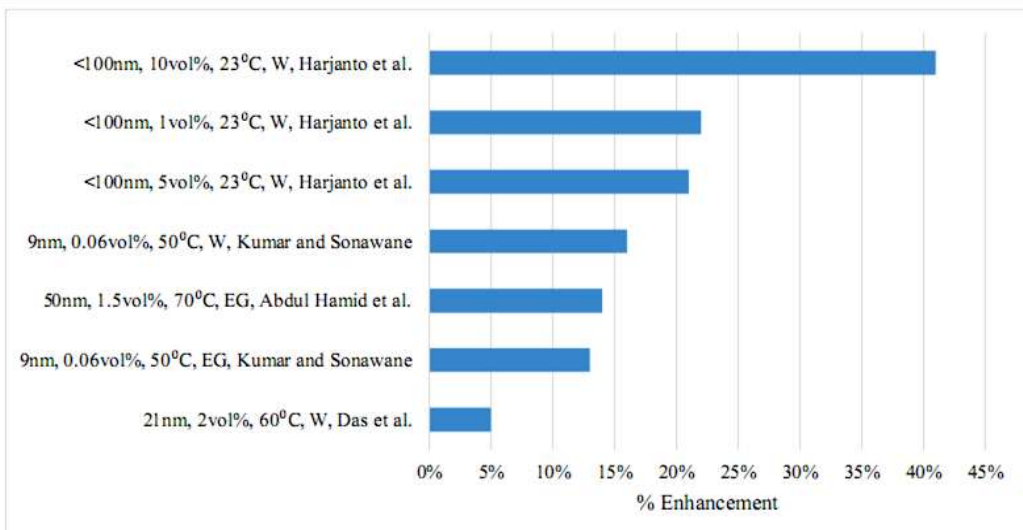


نمودار ۱-۱ افرايش رسانش گرمایي نانوسيال‌های CuO

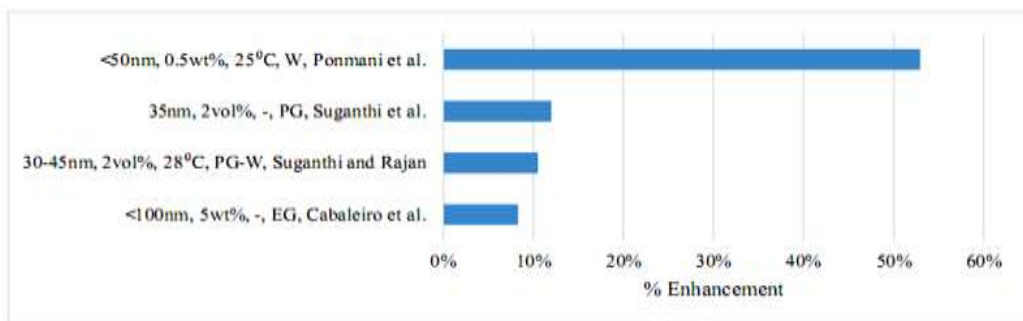
<sup>1</sup> thermophysical



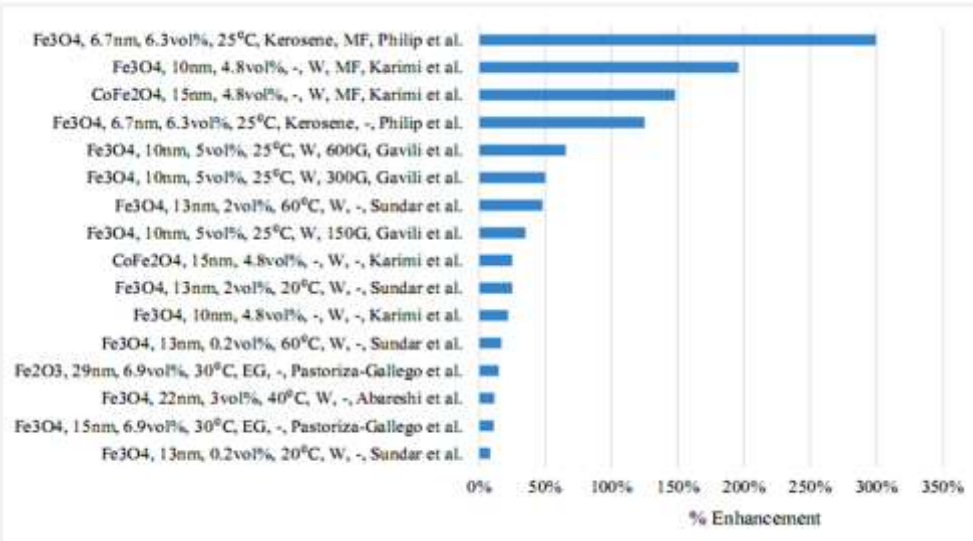
نمودار ۱-۲ افزایش رسانش گرمایی نانو سیال‌های  $\text{Al}_2\text{O}_3$



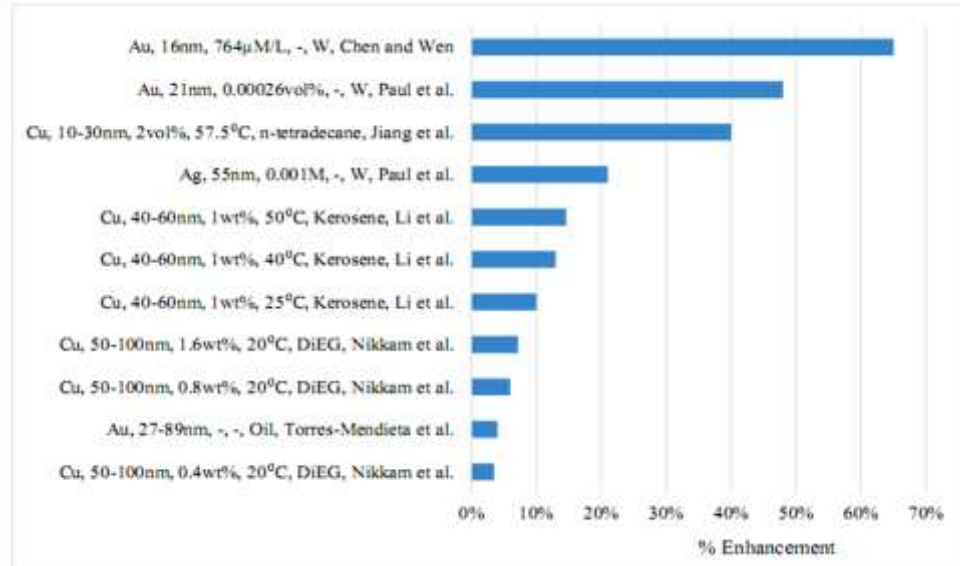
نمودار ۱-۳ افزایش رسانش گرمایی نانو سیال‌های  $\text{Ti}_2\text{O}_3$



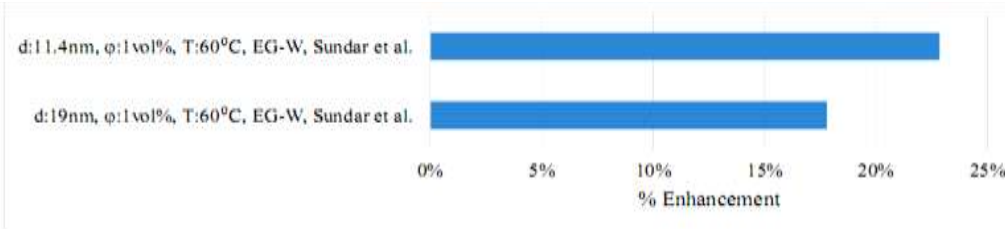
نمودار ۱-۴ افزایش رسانش گرمایی نانو سیال‌های  $\text{ZnO}$



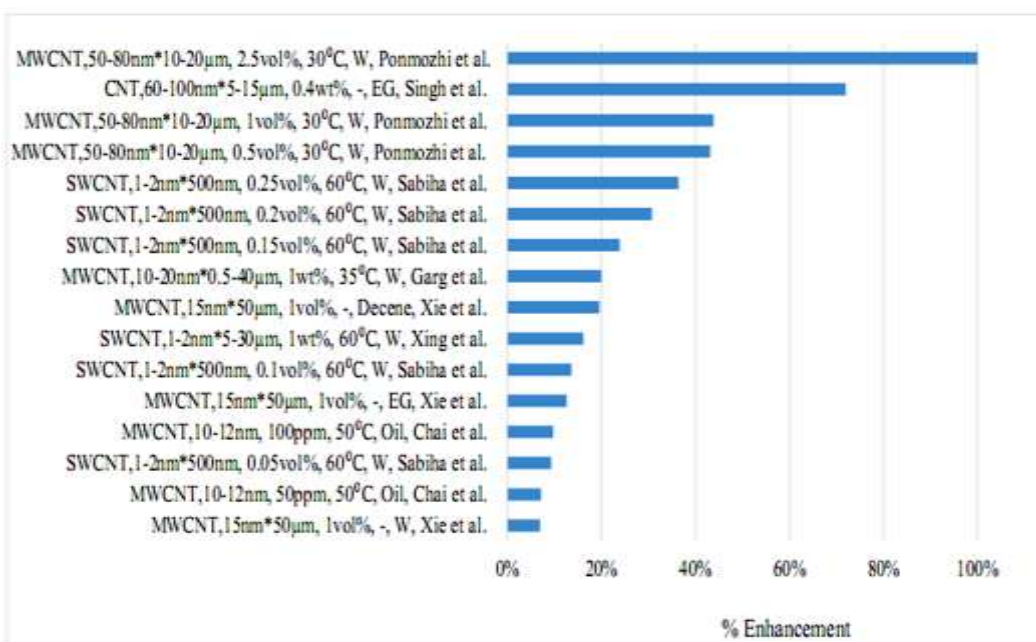
نمودار ۱-۵ افزایش رسانش گرمایی نانو سیال‌های مغناطیسی



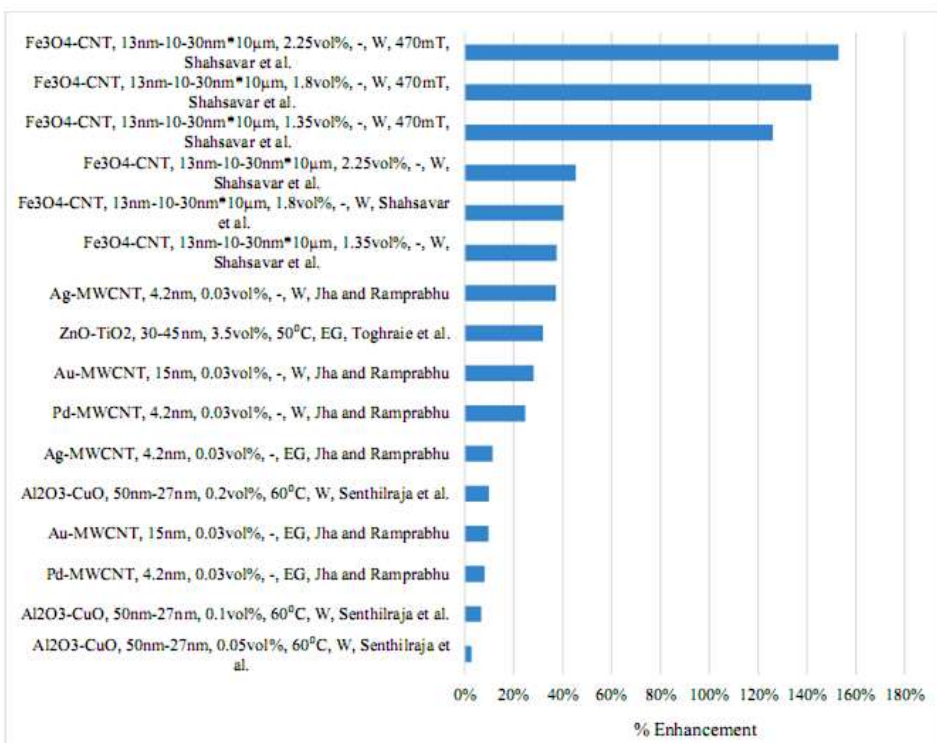
نمودار ۱-۶ افزایش رسانش گرمایی نانو سیال‌های فلزی



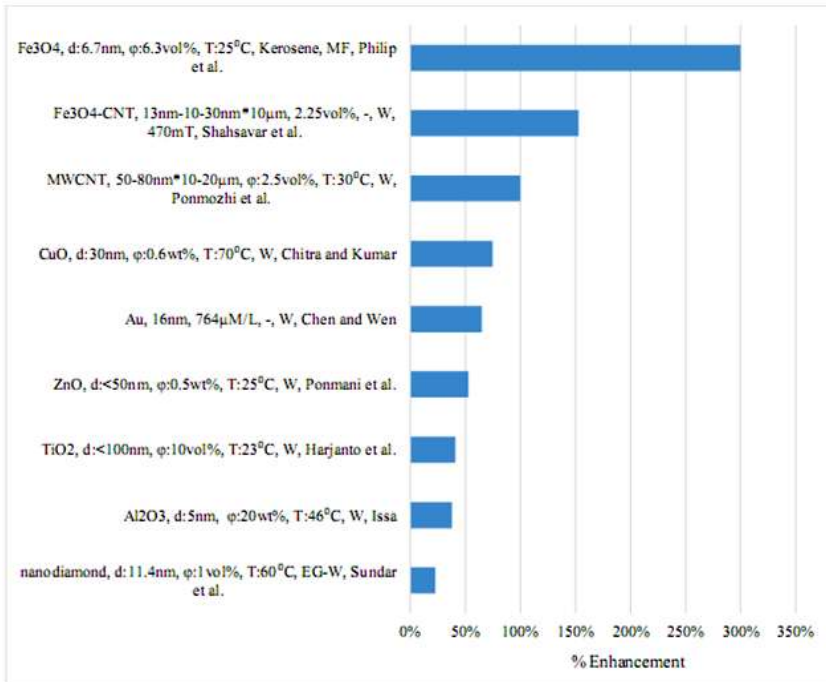
نمودار ۱-۷ افزایش رسانش گرمایی نانو سیال‌های کریستالی



نمودار ۱-۸ افزایش رسانش گرمایی نانو سیال های CNT



نمودار ۱-۹ افزایش رسانش گرمایی نانو سیال های هیبریدی



نمودار ۱۰-۱ افزایش رسانش گرمایی نانوسيالها با مواد مختلف نانو ذره

## ۱-۵ فرضيات

- نانوسيال هиبريدی تهيه شده قادر به افزایش قابلیت حرارتی سیال پایه می باشد.
- استفاده از نانوسيال سبب بهبود کارایی اکسرژتیک مبدل می گردد.
- شبکه های عصبی قادرند تا با دقت بالا عملکرد مبدل را پیش بینی نمایند.

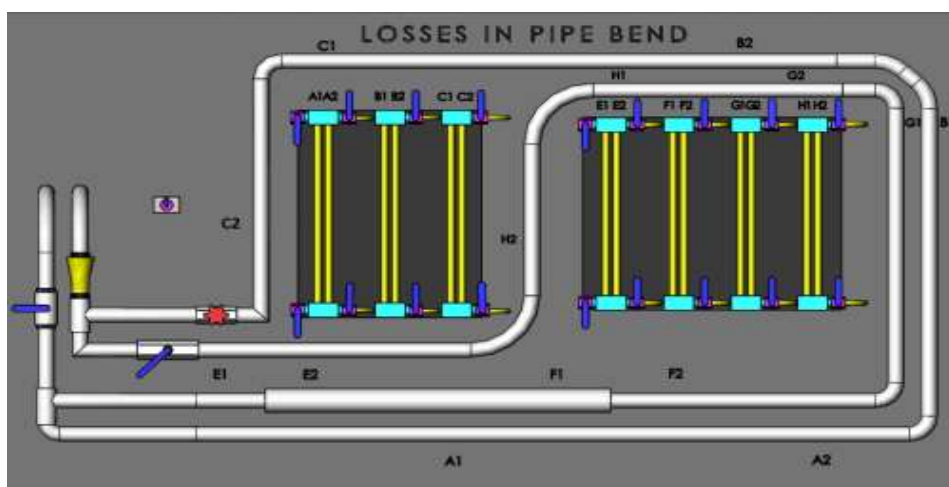
## ۱-۶ هداف

- با توجه به کاربرد فراوان مبدل های حرارتی، ارائه روشی جهت کاهش اتلاف آنها ضروری می باشد.
- کاهش اتلاف مبدل حرارتی با به کار بردن نانوسيال هиبريدی.

## ۱-۷ روش پژوهش و مراحل انجام پایان نامه

شبکه از دو مدار (مدار اول و دوم) تشکیل شده است. مدار اول شامل شیر کشویی شماره Gate vatve خم زانوبی استاندارد خم ۹۰° استاندارد و لوله های مستقیم است و مدار دوم شامل شیر ساقمه ای (توپی) شماره ۲ بازشدگی ناگهانی، تنگ شدگی ناگهانی، سه خم ۹۰°

با شعاع‌های مختلف و لوله‌های مستقیم می‌باشد. به منظور اندازه‌گیری افت فشار در اجزا در دو انتهای همه اجزا به جز شیرها، لوله‌های پیزومتر تحت فشار متصل شده است. دستگاه دارای یک مخزن آب و یک پمپ جهت گردش آب در سیستم لوله‌کشی می‌باشد. به منظور اندازه‌گیری دبی آب ورودی به سیستم یک رونامتر بر روی دستگاه تعییه شده است. واحد اندازه‌گیری دبی لیتر بر دقیقه می‌باشد. برای اندازه‌گیری افت فشار در دو سرشیرها از گیج‌های عقربه‌ای استفاده شده است. جهت انجام آزمایش باید کلیه حباب‌های هوا از لوله‌ها خارج شوند. برای این منظور شیر ۲ را بسته و شیر ۱ را باز شود تا پس از روشن نمودن پمپ جریان در مدار برقرار گردد. بعد از برقراری جریان به مدت چند دقیقه شیر ۱ و شیر تنظیم دبی پمپ را بسته و با تکان دادن شیلنگ‌های پیزومترها حباب‌های هوای محبوس در قسمت‌های مختلف را به فضای پر از هوای بالای پیزومترها هدایت شود. شیرهای هواگیری واقع (شیرهای سمت راست) در انتهای منیفولد پیزومترها را به طور کامل و شیر تنظیم دبی پمپ را به مقدار بسیار کم باز ده تا هوای داخل پیزومترها از طریق شیر هواگیری خارج شود. پس از این کار شیر تنظیم دبی را بسته و پمپ را خاموش کرده و با کمی باز کردن شیر بالا و سمت چپ پیزومترها اجازه داده شود تا سطح آب در پیزومترها به مقدار دلخواه پایین بیاید. سپس ابتدا شیر ۱ و سپس شیر هواگیری پیزومترها را بیندید به این ترتیب مانومترهای مدار اول هواگیری شده و آماده آزمایش می‌باشد. جهت هواگیری مدار دوم نیز شیر ۱ را بسته و شیر ۲ را باز شده و مراحل اخیر را تکرار شود.



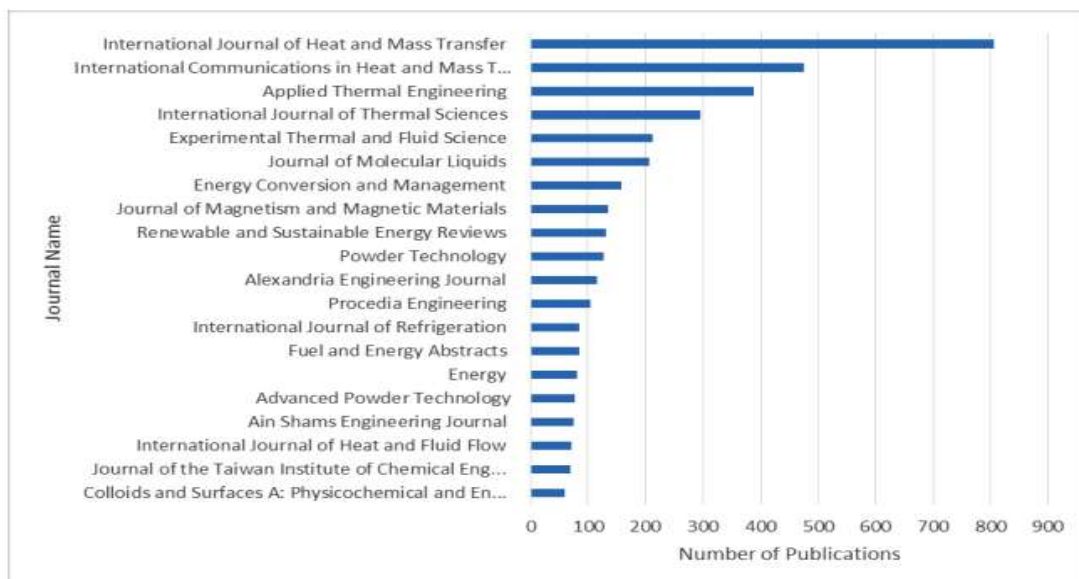
شکل ۷-۱ دستگاه اتلاف انرژی سیستم لوله‌کشی منبع: نگارنده

**فصل دوم**

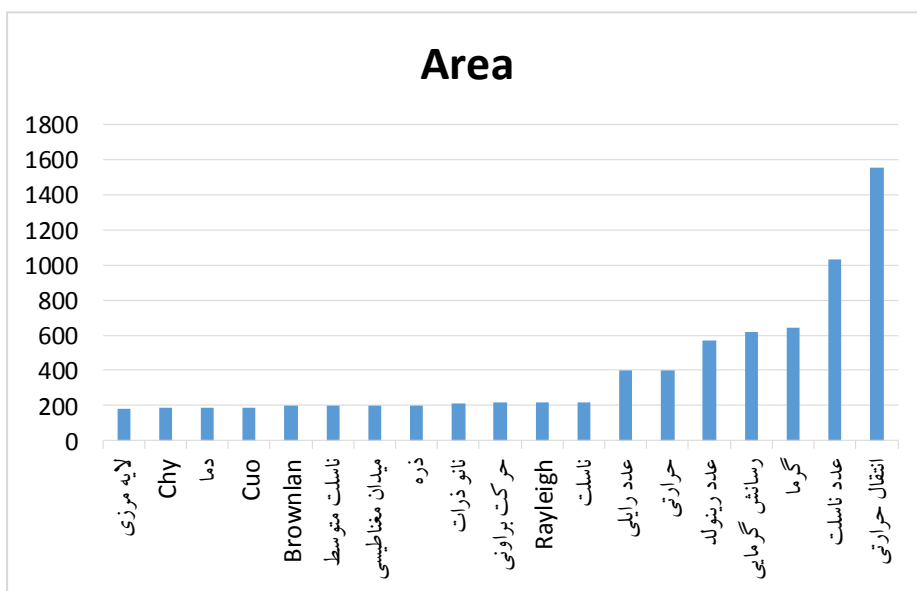
**ادبیات پژوهش**

## ۲-۱ مقدمه

یک افزایش خلاف عادت رسانندگی گرمایی از طریق افزودن ذرات جامد به سیالات انتقال گرمایی، علاقه محققان رشته‌های گوناگون را به خود جلب نموده است. این تعلیقات که به صورت نانوسیالات شناخته می‌شوند، به عنوان مواد دارای یک پتانسیل برجسته در کاربردهای انتقال انرژی و گرما برای توسعه دستگاه‌ها و سیستم‌های انرژی نگهداشت پذیر قلمداد شده‌اند [۳۹]. در این زمینه، تعداد تحقیقات پیرامون نانوسیالات، به‌طور وسیعی از زمان ابداعشان توسط چوئی و همکارانش در سال ۱۹۹۵ [۴۰] افزایش یافته است. پیش از سال ۲۰۰۲، کاربردهای در دسترس محدودی پیرامون نانوسیالات وجود داشته است. در سال ۲۰۱۶، با این وجود، تعداد مقالات علمی در سال، تقریباً به ۲۰۰۰ مقاله رسیده است. مهم‌ترین ویژگی یک نانوسیال، سرعت انتقال گرمایی مضاعف است [۴۱، ۴۲]. محققان یک بهبود شدید در رسانندگی گرمایی را با افزودن نانوذرات در یک سیال، در غلظت‌های بسیار پایین یافتند [۴۳، ۴۴، ۴۵ و ۴۶]. نمودار (۲-۱) و نمودار (۲-۲)، تعداد کاربردهای علمی پیرامون تحقیقات نانوسیالات را به ترتیب به‌وسیله روزنامه و رشته علمی نشان می‌دهد. همان‌طور که ظاهرآ در این شکل‌ها نشان داده شده است. افزایش انتقال گرمایی تحت شرایط کاربردی مختلف، مورد تأکید اصلی قرار داشته است.



## نمودار ۱-۲ ارقام و جداول (تمامی داده‌ها از السویر)



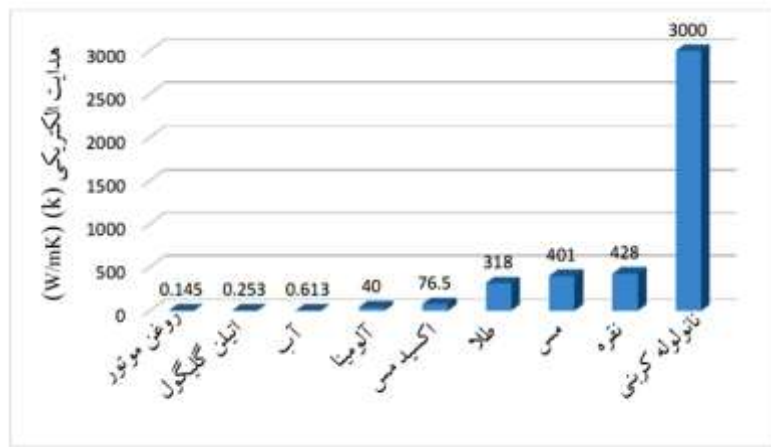
نمودار ۲-۲ تعداد نشرهای بر حسب قلمروی موضوعی (تمامی داده‌ها از السویر) [۴۵]

در واقع، افروden ذرات جامد به سیالات انتقال دهنده گرما به بیش از یک صد سال قبل بازمی‌گردد [۴۷]. در شیوه معروف گذشته، ذرات در اندازه میکرون با سیالات برای افزایش سرعت انتقال گرمایی ترکیب می‌شدند. با این وجود، پایداری ضعیف و تهنشینی ذرات در اندازه میکرون و مسدود شدن مجراهای همچنین نیروی مکش مضاعف سیال در سیستم‌های انتقال گرمایی، مانع به کارگیری این میکروسیالات شد [۴۸، ۴۹]. مفهوم نانوسیالات برای غلبه

بر این مسائل مواجه شده، پدید آمده است. گرچه انتظار می‌رود پاشیدگی ذرات در اندازه نانو برای دوره زمانی طولانی‌تر، پایدار بماند، اما مساحت سطحی بزرگ‌تر به نسبت حجمی و انرژی سطحی بالاتر نانو ذرات هم‌چنین منجر به تجمع و تهشیین نانوذرات می‌شود. حفظ رسانندگی گرمایی مضاعف نانوسيالات به پایداری پاشیدگی بستگی دارد [۵۰، ۵۱]. لذا، ترکیب نانوسيالات چیزی فراتر از ترکیب ساده ذرات جامد با سیال میزبان است، بیشتر شامل عملیات‌های فیزیکی و شیمیایی مختلف برای افزایش پایداری تعليقات کلوئیدی می‌شود.

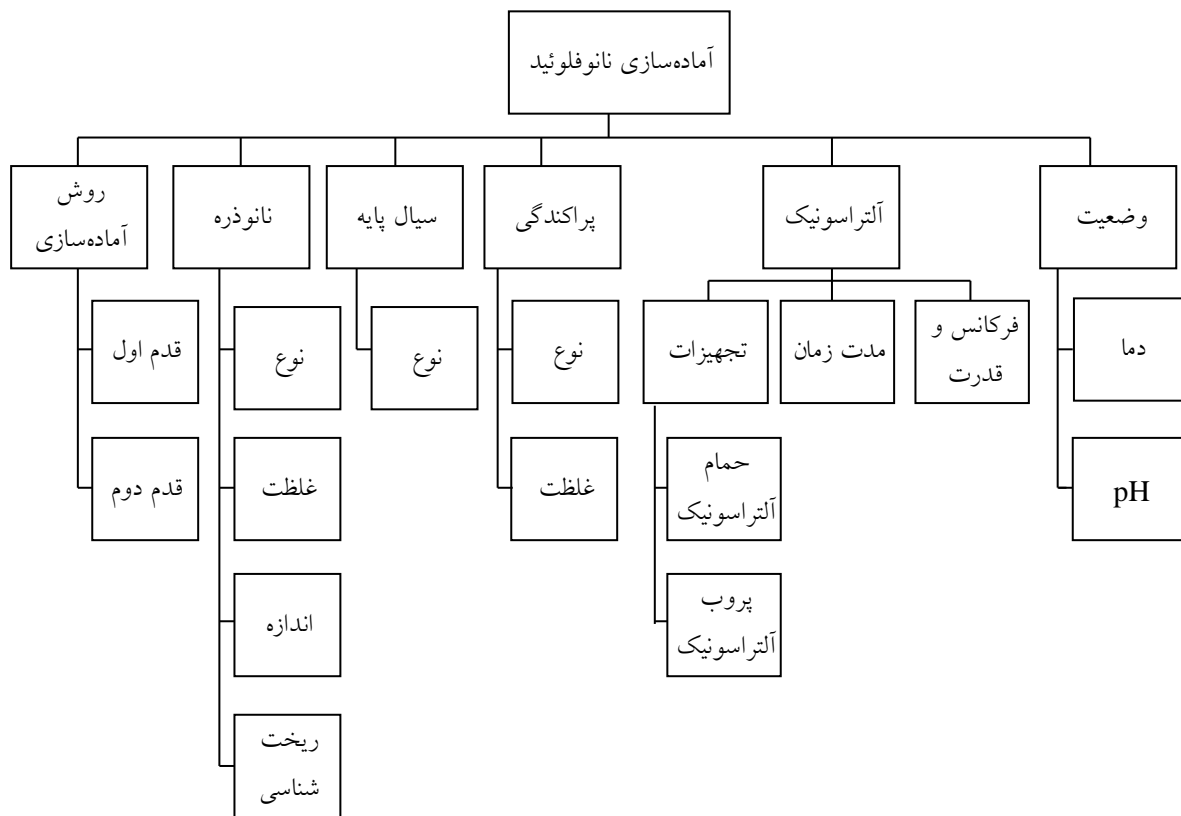
رسانندگی گرمایی (k) بسیاری از مواد جامد، همانند مس، اکسید مس، اکسید آلمینیوم، اکسیدهای آهن، مواد کربی، از انتقال گرمایی متداول سیالات از نظر مرتبه‌های بزرگ‌تر، بالاتر است [۵۲]، همان‌طور که در شکل (۲-۳) نشان داده شده است. اکسید مس، به عنوان نمونه، دارای  $500\text{ Wt}\%$  از نانو ذرات مس در آب، رسانندگی گرمایی را به اندازه  $75\%$  افزایش می‌دهد [۵۳]. در تحقیقات نانوفلوریدها، انواع بی‌شمار نانومواد (فلزات، سرامیک‌ها و لوله‌های نانو و...). برای ارتقاء رسانندگی گرمایی سیالات انتقال‌دهنده گرما، مورد بررسی قرار گرفته‌اند.

یک افزایش خلاف عادت در رسانندگی گرمایی نانوسيالات، توجه زیادی را از سوی پژوهشگران به خود جلب نموده است. با این حال، با افزایش تعداد انتشارات در طول زمان، تفاوت‌های قابل توجهی در یافته‌های تحقیقات انتشار یافته، ظاهر شده است. عوامل زیادی ممکن است در تفاوت‌های افزایش خواص گرمایی نانوسيالات دخیل باشد همانند اندازه ذره، شکل ذره، pH تعلیق، درما، روش‌های پایداری به کار رفته و تکنیک‌های اندازه‌گیری انتخاب شده که در نمودار (۴-۲) فهرست شده‌اند و به‌طور مختصر در بخش‌های ذیل شرح داده شده‌اند. علاوه بر آن، عوامل دیگر همانند خلوص نانوذرات و مقیاس انباشتگی هم می‌تواند در بی‌ثباتی‌ها دخیل باشد.



نمودار ۲-۳ هدایت حرارتی مواد نانوذرات و مایعات پایه مورد استفاده در نانوسیال ها

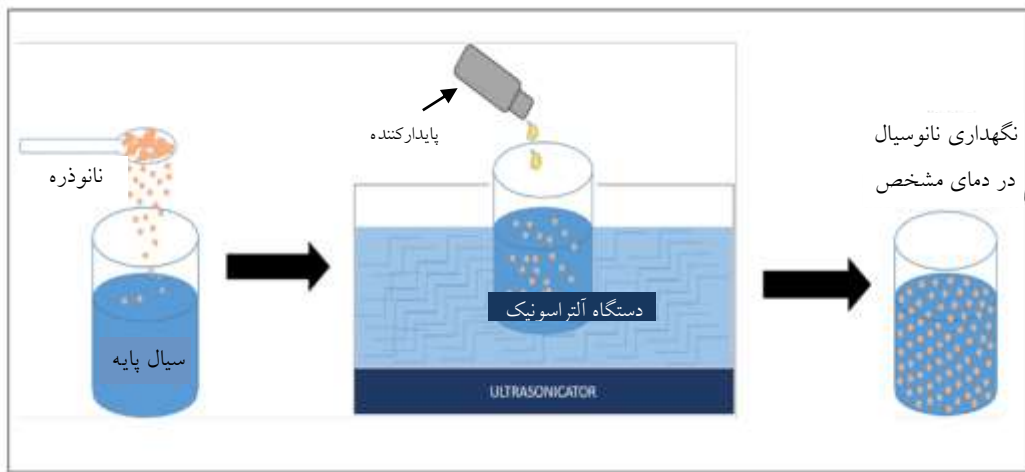
### MWCNT: نanolوله های کربنی چند دیواره



شکل ۱-۲ متغیرها در سنتز nanoMWCNT

## ۲-۲ ترکیب نانوسیالات

نانوسیالات می‌توانند با پراکنده‌سازی نانوذرات در سیالات پایه، ترکیب شوند. با این حال، دقت ویژه برای خودداری از انباشتگی ذرات لازم است (شکل ۲-۵). ترکیب یک نانوسیال پایدار و دارای عمر زیاد برای حفظ خواص گرمایی ارتقا یافته ضروری است. زمان پایداری بهینه می‌تواند به صورت حداقل زمانی تعریف شود که نانوسیالات کاملاً در حالت ناپیوسته باقی می‌مانند. شیمی کلوئید بیانگر این است زمانی که اندازه یک ذره به یک اندازه بحرانی می‌رسد، ذره پایدار می‌ماند و هیچ تهنشینی روی نمی‌دهد. با این وجود، انرژی‌های سطحی بالا و برهمکنش‌های بعدی نانوذرات سبب انباشتگی، تشکیل خوشها و رسوب سریع‌تر در سیالات می‌شود. دو روش مختلف برای ترکیب نانوسیالات به کار می‌رود که روش دو مرحله‌ای و تک‌مرحله‌ای هستند [۵۴، ۵۵، ۵۶، ۵۷، ۵۸].



شکل ۲-۲ تصویرسازی ستز نانوسیالها

## ۱-۲-۲ روش دو مرحله‌ای

در این روش، نانوذرات اولاً از طریق روش‌های فیزیکی و شیمیایی گوناگون ساخته می‌شوند [۵۹، ۶۰، ۶۱]. آن‌گاه با سیالات پایه ترکیب می‌شوند. روش دو مرحله‌ای به‌طور وسیعی در تحقیقات نانوسیالات برای نانوذرات غیرفلزی به کار رفته است. مزایای روش دو مرحله‌ای، ظرفیت تولیدی بالاتر و هزینه پایین‌تر است.

## ۲-۲ روش تک مرحله‌ای

روش تک مرحله‌ای شامل ترکیب نانوذرات و پاشیدگی آنها در سیالات پایه به طور هم زمان می‌شود [۶۲]. این روش، مراحل خشک کردن، ذخیره‌سازی، حمل و نقل و پاشیدگی را از بین می‌رود که می‌توانند سبب اکسیداسیون نانوذرات فلزی شوند. با این حال، معایب این روش، هزینه تولید نسبتاً بالاتر آن و کاربرد پذیری فقط برای سیالات پایه دارای فشار بخار پایین است [۶۳، ۶۴، ۶۵]. نقص دیگر این روش این است که در باب دسته‌ای کار می‌کند و دارای کنترل محدودی بر روی چند پارامتر مهم من جمله اندازه ذره است.

## ۳-۲ افزایش پایداری نانوسیالات

نیروهای برهم‌کنش ذره- ذره و ذره- سیال، پایداری نانوسیالات را شرح می‌دهد.

نانوذرات در واسطه ناپیوسته شروع به تجمع می‌کنند زمانی که نیروی جاذبه واندروالس بین ذره‌ای بر سایر نیروهای دافعه غلبه می‌کند به ویژه دفعه‌های الکترواستاتیکی لایه دوبل، نیروهای آبپوشی و نیروهای فضایی [۶۶] (که منجر به تهنشینی سریع ذرات تجمع یافته (تا اندازه میکرون)، انسداد متعاقب مجراهای تبادل‌گر گرمایی و کاهش رسانندگی گرمایی نانوسیالات می‌شود. پایداری درازمدت نانوسیالات، یک نیاز ضروری برای کاربردهاست. روش‌های شیمیایی (افزودن مواد فعال در سطح، تنظیم pH و اصلاح سطحی) و روش‌های فیزیکی (اغتشاش فرaco;تویی، هم‌جنس شدگی و فرزکاری توپی) برای حفظ پایداری درازمدت هم‌چنین خواص گرمایی نانوسیالات به کار رفته‌اند.

## ۴-۲ پیشینه مطالعاتی تحقیق

درک و بهبود سرعت انتقال حرارت، دغدغه اصلی در صنایع مختلف، از جمله فرآیندهای شیمیایی، فرایندهای گرمایشی و خنک‌کننده و کاربردهای در سطح خرد است. برای کاهش هزینه‌های عملکرد، چندین تکنیک انجام شده است. مهم‌ترین متغیرها در کاهش اندازه و هزینه تجهیزات انتقال حرارت عبارتند از ضریب انتقال حرارت و افت فشار یا گرانروی. موضوع اصلی در طراحی تجهیزات به حداقل رساندن گرانروی است در حالی که ضریب انتقال حرارت را افزایش می‌دهد؛ بنابراین، توسعه تکنیک‌ها برای بهبود عملکرد مبدل‌های حرارتی ضروری است. معمولاً این گونه استنباط می‌شود که عملکرد مبدل‌های حرارتی

می‌تواند با بسیاری از تکنیک‌های تقویت بهبود یابد. در میان آن‌ها، استفاده از نانوسیال‌ها و تکنیک‌های تقویت منفعل مانند افروden شتابگر آشفته به عنوان مؤثرترین آن‌ها در نظر گرفته می‌شود [۶۷].

نانوسیال، تعلیق نانو ذرات در یک مایع پایسته و اشباع، رسانای گرمای بیشتری نسبت به مایع پایه خود دارد که منجر به بهتر شدن ضریب انتقال حرارت می‌شود [۶۸]. استفاده از نانوذرات در مایعات حاوی مزایای بالقوه زیادی است مانند ثبات تعلیق طولانی، بدون چسبندگی در سیستم و افت فشار کم است. این مزایا به این خاطر است که نانوذرات در غلظت‌های بسیار کم و اندازه نانومتری استفاده می‌شود. انواع نانوذرات و مایع پایه نقش حیاتی در افزایش رسانایی حرارتی نانوسیال‌ها دارند [۶۹]. اگرچه نانوسیال‌ها موجب برخی مزایایی می‌شوند، ممکن است در مقایسه با جریان‌های مایع پایه‌ای افت فشار داشته باشد که در کاربردهای عملی نامطلوب است.

شاید چائوی [۷۰] اولین کسی بود که افروden ذرات جامد در اندازه نانومتری به یک مایع پایه پیشنهاد کرد و افزایش رسانایی حرارتی نسبت به سیال پایه را ارائه کرد. بسیاری از مطالعات بر روی ارزیابی عملکرد انتقال حرارت و ویژگی‌های جریان نانوسیال‌های مختلف در هر دو رژیم جریان آرام و جریان آشفته انجام شده است [۷۱]. نتایج این مطالعات نشان داد که ورود نانوذرات موجب بهبود رسانش حرارتی در مقایسه با مایع معمولی می‌شود و میزان انتقال حرارت را با غلظت نانوذرات افزایش می‌دهد. اگرچه بسیاری از تحقیقات، سهم هدایت حرارتی را در جهت افزایش ضریب انتقال حرارت کنونی نانوسیال‌ها نشان می‌دهد، دیگر عوامل مؤثر بر آن که در برخی از مقالات بررسی شده [۷۲]، باید در نظر گرفته شود. نگوین و همکاران [۷۳] اندازه‌گیری‌های گسترده‌ای از ویسکوزیته دینامیکی را برای نانوسیال آب  $\text{Al}_2\text{O}_3$  انجام داده‌اند که نگرانی‌های پدیده هیسترزیس را در مورد قابلیت اطمینان استفاده از نانوسیال‌ها برای اهداف تقویت انتقال حرارت مورد توجه قرار داده است. حجت و همکاران [۷۴] آزمایش انتقال حرارت گرمای همرفتی از نانوسیال‌های نیوتونی با سه نوع نانوسال را در رژیم جریان آرام انجام داد و برای پیش‌بینی تعداد ناسلت از نانوسیال‌های غیرنیوتونی به عنوان تابع رینولدز و تعداد پراندل همبستگی پیشنهاد کرد.

اصل اساسی تکنیک منفعل، مستلزم عدم استفاده مستقیمی از قدرت خارجی است و شامل سطح پوشش، سطح سفت و دستکاری جریان مانند جریان چرخشی و جریان اصلاح شده است [۷۵]. نوار پیچشی یکی از رایج‌ترین اعضای تکنیک‌های منفعل به کار رفته در

بسیاری از سیستم‌های مبدل حرارتی است. یکی از بهترین تکنیک‌های منفعل مطلوب تولید جریان چرخش با قرار دادن یک نوار پیچیده است زیرا نوار ارزان است و می‌تواند به راحتی در سیستم موجود استفاده گردد. اثرات ورود نوار پیچیده به طور گستره‌ای برای هر دو کارهای شبیه‌سازی آزمایشی و عددی مورد مطالعه قرار گرفته است. حضور نوار پیچشی به سمت توسعه مجدد لایه مرزی حرارتی و ایجاد جریان چرخش منجر به انتقال گرمای بیشتر هدایت می‌کند. برای ارتقاء مبدل حرارتی فشرده موجود، استفاده از نوار پیچشی می‌تواند منافع را به دلیل هزینه کم، سهولت تعمیر و نگهداری و نصب، افزایش دهد. با این حال، افزایش انتقال حرارت منعکس کننده تلفات اصطکاک همزمان در فرآیند [۷۶] است. در نتیجه قدرت پمپاژ ممکن است به‌طور قابل ملاحظه‌ای باعث افزایش ضریب عملکرد در یک پمپاژ با یکدیگر شود و در نهایت بالا رفتن پمپاژ باشد؛ بنابراین برای دستیابی به میزان انتقال حرارت مورد نظر در یک مبدل حرارتی موجود در یک قدرت پمپاژ به صرفه، طراحی یک نوار پیچشی با شکل هندسی مناسب لازم است تا میزان انتقال حرارت مطلوب را در مبدل‌های حرارتی به دست آید. بسیاری از کارها به منظور بررسی اثرات ورود نوار پیچشی انجام شده است [۷۷، ۷۸]. به تازگی، برخی از انواع جدید محققان، استفاده از نوارهای پیچشی همراه با نانوسیال‌ها را توسعه دادند [۷۹، ۸۰]. نتایج این تحقیقات نشان داد که ضریب انتقال حرارت نانوسیال‌ها بالاتر از مایعات معمولی است و در مقایسه با ضریب انتقال حرارت در یک لوله ساده در شرایط مشابه عمل می‌کند. افزایش بیشتری خواهیم داشت هنگامی که نوار پیچشی وارد می‌شود. به عنوان مثال، فکور-پاکدامن و همکاران [۸۱] یک بررسی تجربی بر روی خواص حرارتی فیزیکی نانوسیال‌های نفتی / MWCNTs انتقال حرارت و عملکرد کلی لوله‌های پیچ‌خورده عمودی انجام دادند. آن‌ها گزارش دادند که استفاده از نانوسیال‌ها و لوله‌های پیچ‌خورده، منجر به شاخص کلی عملکرد بالا تقریباً  $6/4$  می‌شود.

به نظر نگارنده، هرچند تمام آثار تلاش زیادی را برای افزایش انتقال گرمای و حرارت در مبدل‌های حرارتی دوگانه انجام داده است، عملکرد ترموهیدرولیک و بهینه‌سازی لوله‌ها با استفاده از نوارهای پیچشی و نانوسیال‌ها نیاز به توجه بیشتری دارند. از آنجا که نوارهای پیچشی با اشکال هندسی مختلف نتایج مختلف ترموهیدرولیک را ارائه می‌دهند، ارزیابی پتانسیل طراحی‌های جدید و اصلاح نوارهای پیچشی با شکل هندسی مؤثر جالب بوده تا تغییرات مجدد جهت چرخش را در طول لوله آزمایش که انتظار می‌رود ترکیب بهتر از یک نمونه معمولی صورت پذیرد. در تحقیق حاضر، انتقال گرمای آشفته و وضعیت اصطکاک

جريان در يك مبدل حرارتی دو لوله‌ای متناسب با نوارهای اصلاح شده پیچشی است که طول امواج در طول پیچ‌ها و نانوسیال  $\text{Al}_2\text{O}_3$  به عنوان يك مایع کارا متفاوت است. تمام کارهای قبلی از مایعات نیوتونی به عنوان مایع پایه استفاده کرده‌اند. در این مطالعه، نانوسیال به عنوان غیرنیوتونی برای طیف گسترهای از تعداد رینولدز بین ۵۰۰۰ و ۲۱۰۰۰ در نظر گرفته شد. آزمایش‌ها با غلظت نانوذرات ۱-۰/۲، نسبت پیچشی ۳-۱۰ و نسبت پیشرفت هندسی بین ۰/۶ و ۲ انجام شد. آزمایش‌ها با و بدون نوارهای پیچشی معمولی و نانوسیال تحت شرایط عملیاتی مشابه انجام شد و با همبستگی خوبی در رابطه با بررسی نصب آزمایشی خواص ترموفیزیکی مانند هدایت حرارتی نانوسیم  $\text{Al}_2\text{O}_3$  از طریق آزمایش‌ها در شرایط مختلف و اعتبارسنجی مورد بررسی قرار گرفت. با استفاده از نتایج تجربی، همبستگی جدیدی برای پیش‌بینی تعداد نوزلت، ضریب اصطکاک و عملکرد حرارتی مبدل حرارتی با نانوسیال و نوارهای پیچشی اصلاح شده ارائه شده است.

ظهور مواد نانوکامپوزیت، تحولی اساسی در خواص مکانیکی و حرارتی مواد ایجاد کرده است. خواص منحصر به فرد مواد نانوکامپوزیت را می‌توان به صورت زیر بیان کرد: پودرهای نانوکامپوزیت نسبت سطح به حجم بالایی دارند. این نسبت در حالت بی‌شكل نسبت به حالت بلوری، بیشتر است. کسر زیادی از اتم‌ها در سطح ذرات پودرهای نانوکامپوزیت و یا در مرز دانه‌های ریزساختار نانوکامپوزیت‌ها قرار دارند. به دلیل دو خاصیت اخیر پودرهای نانوکامپوزیت، قابلیت تف‌جوشی (زیتر) بالایی دارند. در ساخت نانوکامپوزیت‌ها از پودرهای نانوکامپوزیت یا پودرهای نانومتری، به دلیل کنترل فرآیند در مقیاس نانومتری، ریزساختاری کاملاً یکنواخت به دست می‌آید. نانوکامپوزیت‌ها خواص فیزیکی و مکانیکی از قبیل استحکام، سختی، چقرمگی و مقاومت حرارتی بالایی در محدوده وسیعی از دما دارند. افزودن پنج تا ده درصد حجمی فاز دوم به فاز زمینه، باعث افزایش چشمگیری در خواص فیزیکی و مکانیکی نانوکامپوزیت‌ها می‌شود. لذا جدیدترین فناوری‌ها در طراحی ریزساختاری نانوکامپوزیت‌ها، برای بهبود خواص فیزیکی و مکانیکی آن می‌باشد [۸۲، ۸۳].

در مقابل خواص منحصر به فرد مواد نانوکامپوزیت، در ساخت نانوکامپوزیت‌ها مشکلات فرآیندی قابل توجهی وجود دارد که نقش تعیین‌کننده‌ای دارند. از اساسی‌ترین این مشکلات می‌توان به این موارد اشاره کرد: عدم توزیع یکنواخت فاز دوم در فاز زمینه در نانوکامپوزیت‌ها، خواص مکانیکی نانوکامپوزیت‌ها را کاهش می‌دهد. تجمع ذرات پودر بسیار ریز در نانوکامپوزیت‌ها موجب افزایش انرژی سطحی آن‌ها شده، کاهش خواص مکانیکی

نانوکامپوزیت‌ها را به دنبال دارد. استفاده از مواد شیمیایی گران‌قیمت برای توزیع یکنواخت فاز دوم در داخل فاز زمینه و جلوگیری از به هم چسبیدن ذرات پودر نانوکامپوزیتی و ساخت نانوکامپوزیت‌هایی با ریزساختاری همگن و خواص مکانیکی بالا، باعث غیراقتصادی شدن و همچنین پیچیده‌تر شدن فرآیند می‌گردد [۸۴، ۸۵].

گزارش‌های کمی از مطالعه خواص خمشی پلیمر خالص و نانوکامپوزیت حاصل از آن با سیلیکات‌های لایه‌ای اصلاح شده وجود دارند. مقاومت خمشی و میزان پیچش در نقطه شکست در نانوکامپوزیت بسیار بیشتر از پلیمر خالص است. با افزایش مقدار خاک رس این افزایش نیز خفیفتر می‌شود. مدول کششی مواد پلیمری با تشکیل نانوکامپوزیت‌ها با سیلیکات‌های لایه‌ای افزایش قابل توجه‌ای نشان می‌دهد. میزان این افزایش مستقیماً به میانگین طول ذرات خاک رس پراکنده شده و نسبت ابعادی آن‌ها وابسته است [۸۶].

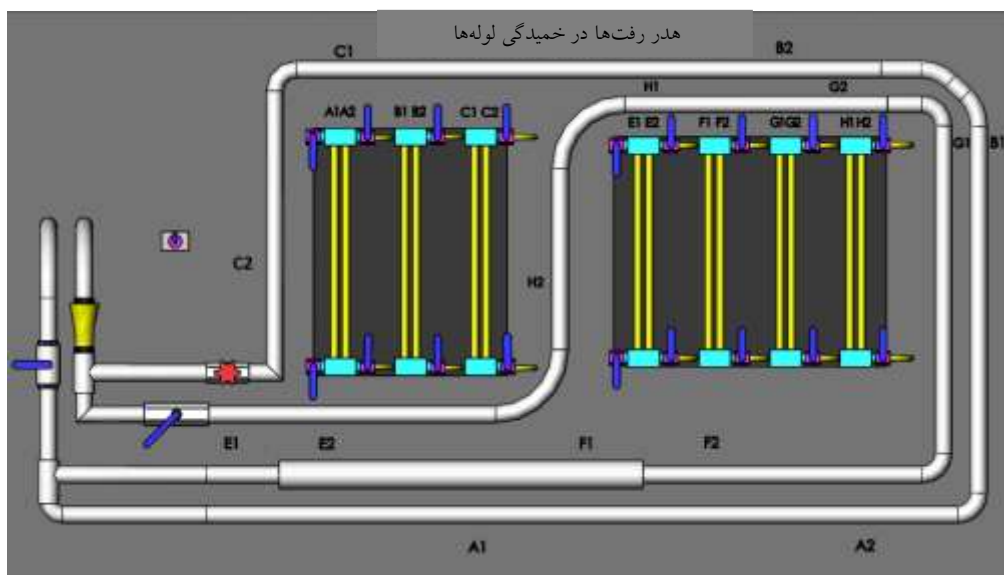
تحقیقاتی که تا سال ۱۳۹۷ صورت گرفته همواره فقط در زمینه افزایش انتقال حرارت و بررسی افت فشار درون مبدل‌های حرارتی بوده است که بیشتر تحقیقات مربوط به بررسی راندمان حرارتی مبدل‌های حرارتی بوده و تاکنون تحقیقات خیلی کمی در زمینه بررسی و مطالعه افت فشار و ضرایب انتقال حرارت درون سیستمهای لوله کشی و انتقال حرارت درون سیستمهای گرمایشی به کمک نانوسیالات صورت گرفته است.

## **فصل سوم**

### **مواد و روش جمع آوری داده‌ها**

### ۳-۱-۱-۳ مقدمه

#### ۱-۱-۳ بررسی افت فشار در سیستم‌های لوله‌کشی بر پایه سیال اتیلن گلیکول



شکل ۱-۳ دستگاه اتلاف انرژی سیستم لوله‌کشی منبع: نگارنده

تعیین فشار و دبی جریان در یک سیستم اتصال لوله‌ها (شبکه لوله‌ها) از مسائل عمومی هیدرولیک می‌باشد. شبکه لوله‌ها به سیستمی از لوله‌ها اطلاق می‌شود که از یک لوله منفرد و یا سیستم پیچیده‌ای از لوله‌ها با قطرها و طول‌های مختلف تشکیل شده است. به عنوان مثال می‌توان شبکه آبرسانی در شهرها را از نمونه‌های خوب شبکه لوله‌های پیچیده نام برد. عموماً شبکه لوله‌ها به صورت سری، موازی و حلقوی در سیستم‌های آبرسانی طراحی می‌گردند؛ بنابراین سنجش میزان افت انرژی در نقاط مختلف برای انجام محاسبات دقیق آبرسانی لازم است.

شبکه از دو مدار (مدار اول و دوم) تشکیل شده است. مدار اول شامل شیر کشویی شماره Gate خم زانویی استاندارد خم  $90^\circ$  استاندارد و لوله های مستقیم است و مدار دوم شامل شیر ساچمه ای (توپی) شماره ۲ بازشدگی ناگهانی، تنگ شدگی ناگهانی، سه خم  $90^\circ$  با شعاع های مختلف و لوله های مستقیم می باشد. به منظور اندازه گیری افت فشار در اجزا در دو انتهای همه اجزا به جز شیرها، لوله های پیزومتر تحت فشار متصل شده است.

دستگاه دارای یک مخزن آب و یک پمپ جهت گردش آب در سیستم لوله کشی می باشد. به منظور اندازه گیری دبی آب ورودی به سیستم یک رونامتر بر روی دستگاه تعییه شده است. واحد اندازه گیری دبی لیتر بر دقیقه می باشد.

برای اندازه گیری افت فشار در دو سرشیرها از گیج های عقره ای استفاده شده است.

جهت انجام آزمایش باید کلیه حباب های هوا از لوله ها خارج شوند. برای این منظور شیر ۲ را بسته و شیر ۱ را باز نمایید تا پس از روشن نمودن پمپ جریان در مدار برقرار شود. بعد از برقراری جریان به مدت چند دقیقه شیر ۱ و شیر تنظیم دبی پمپ را بسته و با تکان دادن شیلنگ های پیزومترها حباب های هوای محبوس در قسمت های مختلف را به فضای پر از هوای بالای پیزومترها هدایت کنید. شیرهای هواگیری واقع (شیرهای سمت راست) در انتهای منیفولد پیزومترها را به طور کامل و شیر تنظیم دبی پمپ را به مقدار بسیار کم بازنمایید تا هوای داخل پیزومترها از طریق شیر هواگیری خارج شود. پس از این کار شیر تنظیم دبی را بسته و پمپ را خاموش کرده و با کمی باز کردن شیر بالا و سمت چپ پیزومترها اجازه دهید تا سطح آب در پیزومترها به مقدار دلخواه پایین بیاید. سپس ابتدا شیر ۱ و سپس شیر هواگیری پیزومترها را بیندید به این ترتیب مانومترهای مدار اول هواگیری شده و آماده آزمایش می باشد. جهت هواگیری مدار دوم نیز شیر ۱ را بسته و شیر ۲ را باز نموده و مراحل اخیر را تکرار کنید.

## ۲-۳ مشخصات ابعادی سیستم لوله کشی

برخی از اطلاعات مربوط به آزمایش عبارتند از:

- قطر داخلی لوله ها: ۱۶ mm

- قطر داخلی لوله بعد از بازشدگی و قبل از تنگ شدگی: ۲۶ mm

- قطر داخلی لوله قبل از بازشدگی و بعد از تنگ شدگی: ۱۶ mm

- فاصله بین نقاط اندازه گیری فشار برای لوله های مستقیم و خم ها: ۱m

شعاع‌های انحنای خم‌ها:

$$2/5m:G_1/G_2 - \text{خم}$$

$$5cm:J_1/J_2 - \text{خم}$$

روابط پیوستگی و انرژی برنولی برای محاسبه جریان آب در لوله‌ها با رابطه‌های (۱-۳)

و (۲-۳) استفاده می‌شوند:

رابطه پیوستگی:

$$Q = A_1 V_1 = A_2 V_2 \quad (3-1)$$

$$Z_1 + \frac{P_1}{\rho g} + \frac{V_1^2}{2g} = Z_2 + \frac{P_2}{\rho g} + \frac{V_2^2}{2g} = h_2 \quad (3-2)$$

رابطه برنولی:

$P$ : فشار

$p$ : چگالی

$V$ : سرعت سیال

$Z$ : فاصله قائم نقطه نسبت به خط مبدأ

$A$ : سطح مقطع

$h_2$  : افت انرژی

افت فشار در لوله‌ها را می‌توان به موارد زیر طبقه‌بندی نمود:

الف) افتی که ناشی از ویسکوزیته و اصطکاک داخلی سیال است.

ب) افتی که به‌واسطه عوارض موضعی و یا تغییر ناگهانی سطح مقطع پدید می‌آید.

افت فشار جریان آب در یک لوله مستقیم با سرعت  $V$ , طول  $L$  و قطر ثابت  $d$  مطابق

رابطه (۳-۳) است:

$$h_f = f \frac{L V^2}{d 2g} \quad (3-3)$$

در رابطه فوق ضریب دارسی - واپیاخ است و ضریب بی‌بعدی است که تابع عدد

رینولدز و زبری سطح می‌باشد. یکی از روابطی که جهت محاسبه  $f$  در لوله‌های صاف ارائه

شده بلازیوس است که برای  $Re \leq 10^5$  صادق است:

$$f = \frac{0.3164}{Re^{0.25}} \quad (3-4)$$

ضریب  $f$  در حالت عمومی لوله‌ها توسط دیاگرام مودی تعیین می‌شوند. عدد رینولدز را نیز از رابطه (۳-۵) به دست می‌آوریم.

$$Re = \frac{vd}{u} \quad (3-5)$$

$V = \frac{\mu}{\rho}$  از جهت سیستماتیک است که در مورد آب در دما  $25^\circ C$  برابر  $10^{-9} \times 897 / 0$  می‌باشد. خواص فیزیکی آب در دماهای مختلف از  $0^\circ C$  تا  $100^\circ C$  در

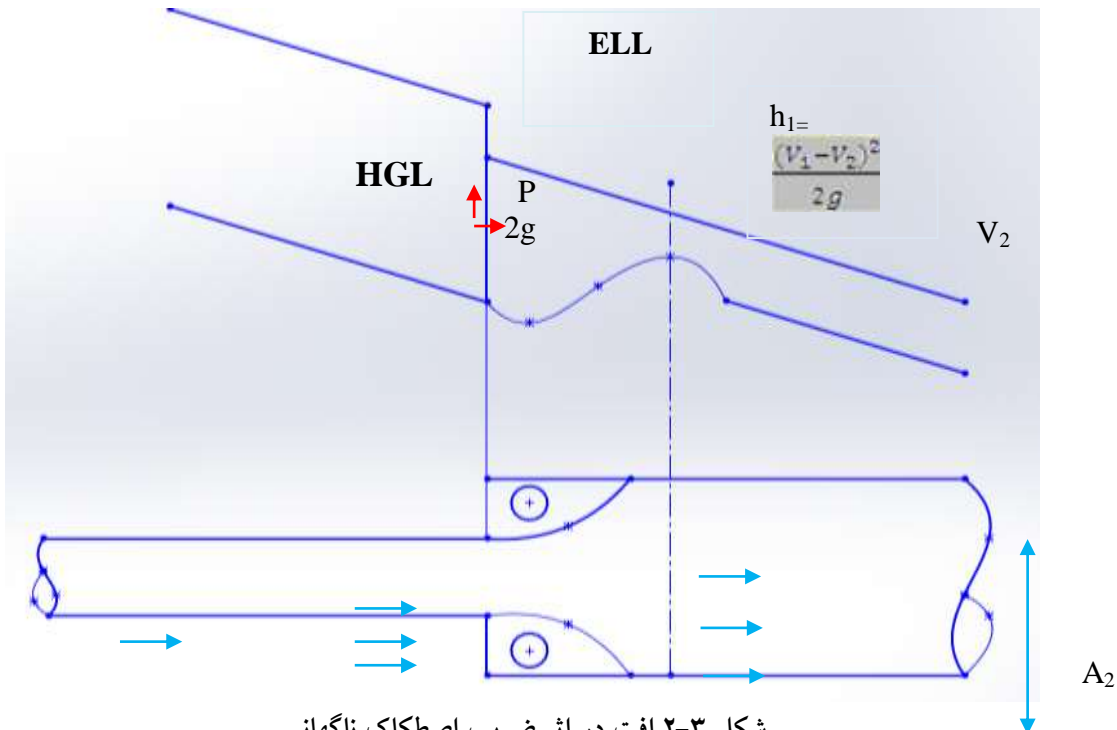
پیوست کتب مکانیک سیالات موجود است:

سطح مقطع جریان می‌تواند به صورت ناگهانی افزایش یا کاهش یابد. در اتصالات لوله‌ای معمولاً در اثر اتصال دو لوله با اقطار متفاوت، سطح مقطع به صورت ناگهانی تغییر می‌نماید.

اگر لوله‌های با سطح مقطع کم به لوله‌ای با سطح مقطع زیاد متصل گردد افت موضعی ناشی از بازشدگی ناگهانی مطابق شکل (۲-۳) از رابطه (۶-۳) و (۷-۳) به دست می‌آید:

$$h_1 = k_e \frac{V_1^2}{2g} = \frac{(V_1 - V_2)^2}{2g} \quad (3-6)$$

$$k_e = \left(1 - \frac{A_1}{A_2}\right)^2 = \left[1 - \left(\frac{d_1}{d_2}\right)^2\right]^2 \quad (3-7)$$



همچنین اگر لوله‌ای با سطح مقطع زیاد به لوله‌ای با سطح مقطع کمتر متصل شود، افت موضعی از رابطه (۳-۸) و (۳-۹) به دست می‌آید (شکل ۳-۳)

$$h_l = k_e \frac{V_2^2}{2g} = \frac{(V_1 - V_2)^2}{2g} \quad (3-8)$$

$$k_e = \left( \frac{A_2}{A_1} - 1 \right)^2 = \left[ \frac{1}{C_c} - 1 \right]^2 \quad (3-9)$$

سطح مقطع در قسمت جمع شده جریان و  $C_c$  ضریب انقباض می‌باشد.

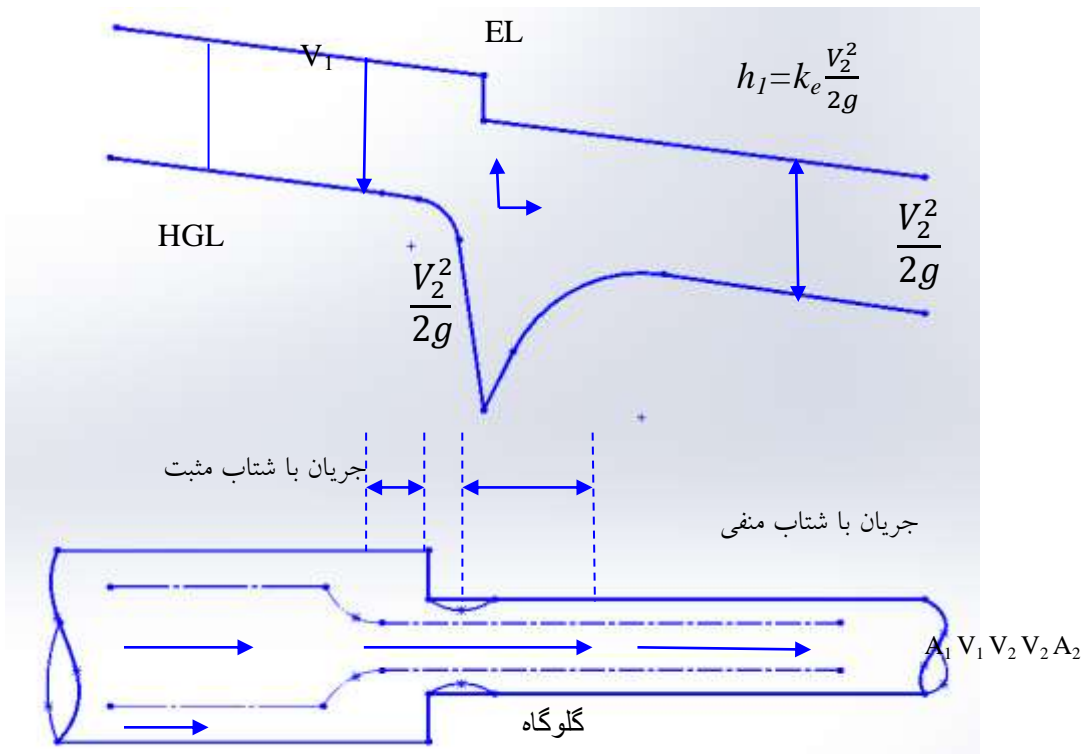
جدول ۳-۱ مقادیر تقریبی ضریب افت  $k$  برای قطعات تجاري در لوله‌کشی

مقدار $k$	نوع قطعه	
با فلنج نصب شده	پیچ شده	
۵	۱/۰	شیر فلکه گرد تمام باز
۰/۱	۰/۲	شیر فلکه کشویی
۰/۲	۱/۵	خم برگردان
۰/۳	۱/۵	زانوی $90^\circ$ معمولی
۰/۲	۰/۷	زانوی $90^\circ$ با انحنای زیاد
-	۰/۴	زانوی $45^\circ$ معمولی
۰/۲	-	زانوی $45^\circ$ با شعاع انحنای زیاد

جهت اندازه‌گیری افت چنانچه پیزومتر را به دو نقطه از جریان مطابق شکل (۳-۳) وصل کنیم، اگر در لوله‌های پیزومتر جریانی وجود نداشته باشد. اختلاف تراز بین دو لوله پیزومتر اندازه اختلاف انرژی بین دو مقطع را خواهد داد. مقدار اختلاف یا به عبارت دیگر افت اندازه‌گیری شده را با  $h_{lw}$  نمایش می‌دهیم.

$$h_{lw} = x - (Z_2 - Z_1) = X + Z$$

با استفاده از روابط پیوستگی و برنولی بین نقاط ۱ و ۲ و پس از ساده کردن می‌توان افت فشار را با استفاده از این روابط محاسبه کرد.



شکل ۳-۳ افت بار در اثر انقباض ناگهانی

در رابطه فوق  $k_c$  ضریب بی بعد افت فشار در تنگ شدگی است و از جدول زیر به دست می آید.

جدول ۲-۳ افت فشار در تنگ شدگی

$A_2/A_1$	۰/۰	۰/۱	۰/۲	۰/۳	۰/۴	۰/۶	۰/۸	۱/۰
K	۰/۵۰	۰/۴۰	۰/۴۰	۰/۳۶	۰/۳۰	۰/۱۳	۰/۰۶	۰/۰۰

افت انرژی موضعی در اثر تلاطم جریان آب در قسمت خم لوله به وجود می آید. مقدار این افت برای خم ها از رابطه (۱۰-۳) به دست می آید.  $K$  ضریب بدون بعد است که به شعاع لوله و زاویه خم بستگی دارد.

$$h_{ln} = k_a \frac{V^2}{2g} \quad (3-10)$$

از جمله اتصالات موضعی شیرها هستند که به علت ساختمان داخلی باعث افت نسبتاً زیادی در جریان می شوند. مقدار افت انرژی در شیرها از رابطه (۱۱-۳) به دست می آید.

$$h_l = k_a \frac{V^2}{2g} \quad (3-11)$$

در رابطه فوق  $k$  ضریب انرژی در شیر است که بی بعد بوده و به نوع شیر و درجه بازشدگی آن بستگی دارد. در حالتی که شیر کاملاً بسته باشد  $k = \infty$ . **جدول (۲)** مقادیر تقریبی ضریب انرژی شیرها و بقیه اتصالات را در بر دارد.

### ۳-۳ سیال مورد آزمایش مخلوط اتیلن گلیکول و آب

#### ۱-۳-۳ روش انجام آزمایش

پیزومترها را مطابق روش شرح داده شده در دستورالعمل دستگاه هواگیری نموده سپس آزمایش را در دو حالت (الف) و (ب) برای مدار اول و دوم انجام دهید.

الف- مدار اول: در حالی که شیر ۱ را کاملاً باز گذاشته اید (مدار ۱) و شیر ۲ بسته است برای دبی های مختلف جدول (۳-۳) را کامل نمایید.

جدول ۳-۳ سیال مورد آزمایش مخلوط اتیلن گلیکول و آب

شماره آزمایش	حجم آب عبوری lit	مدت زمان (s)	قرائت های روی لوله های پیزومتر						قرائت های روی لوله u شکل	
			لوله مستقیم		خم راست گوشه		خم زانویی prop			
			A <sub>1</sub>	A <sub>2</sub>	B <sub>1</sub>	B <sub>2</sub>	C <sub>1</sub>	C <sub>2</sub>		
مدار ۱	۳	LPM	۵۳	۵۰	۵۵	۵۱	۴۸/۵	۴۴/۵	شیر کشویی (۱) (gate Valve D <sub>1</sub> /D <sub>2</sub> )	
	۶		۵۹	۵۱/۵	۶۲	۵۰	۵۵	۴۴		
	۹		۶۵	۵۳/۵	۶۸/۵	۴۹/۵	۶۲/۵	۴۱		
	۱۲		۷۹	۵۵	۸۶/۵	۴۵/۵	۷۹	۳۷/۵		
	۱۵		۸۳	۵۵/۵	۹۳/۵	۴۳	۸۶	۳۷		
	۱۸		۸۵/۵	۵۵/۵	۹۷	۴۲	۸۶	۳۷		

ب- مدار دوم: شیر ۱ را بسته و شیر ۲ را باز نمایید و برای دبی های مختلف جدول (۳-۴) را کامل کنید.

جدول ۴-۳ سیال مورد آزمایش مخلوط اتیلن گلیکول و آب

شماره آزمایش	حجم آب عبوری V(lit)	مدت زمان(s)	قرائت‌های روی لوله‌های پیزومتر								قرائت‌های روی لوله شکل شیر کشویی(1) (gate Valve K <sub>1</sub> /K <sub>2</sub> )	
			بازشدگی		تنگ شدگی		۲ خم		۴ خم			
			E <sub>1</sub>	E <sub>2</sub>	F <sub>1</sub>	F <sub>2</sub>	G <sub>1</sub>	G <sub>2</sub>	H <sub>1</sub>	H <sub>2</sub>	J <sub>1</sub>	J <sub>2</sub>
مدار ۲	۳	لیتر بر دقیقه	۴۴	۴۲	۴۲	۴۰/۵	۵۰/۵	۴۷	۴۸	۳۵/۵		
	۶		۵۱	۴۴	۴۶/۵	۴۱/۵	۵۶/۵	۴۷	۵۲	۳۷		
	۹		۶۱/۵	۴۷	۵۷	۴۵/۵	۶۷/۵	۴۶	۶۱	۳۷/۵		
	۱۲		۶۹	۴۸	۶۳/۵	۴۷/۵	۷۵	۴۴/۵	۴۵/۵	۳۸/۵		
	۱۵		۷۷/۵	۴۸	۷۱/۵	۴۹	۸۳/۵	۴۲/۵	۷۲	۳۸/۵		
	۱۸		۸۲/۵	۴۸/۵	۷۶	۵۰	۸۹/۵	۴۱/۵	۷۶	۳۹		

### ۴-۳ مقدار افت فشار قرائت شده روی لوله‌های پیزومتر توسط دستگاه تلفات انرژی به واسطه سیال مورد آزمایش (اتیلن گلیکول و آب)

آزمایش انجام گرفته به وسیله دستگاه اندازه‌گیری تلفات انرژی سیستم‌های لوله کشی از نظر اصطکاک تغییرات ابعادی و اتصالات با سیال مخلوط اتیلن گلیکول و آب (حجم سیال ۴ لیتر) انجام گرفته است نتایج حاصل از افت فشار به واسطه‌ی آیتم‌های اندازه‌گیری چشم‌گیر بوده. داده‌های به دست آمده حاکی از تغییرات دبی در جریان‌های مختلف باعث بروز بیشترین افت فشار در تغییرات ابعادی و همین‌طور اتصالات با دو خم زانویی ۴۵ مشاهده شده و همین‌طور افت فشار ناشی از اصطکاک درون لوله که با توجه به جنس لوله و ضریب اصطکاک به دست آمده از طریق دیاگرام مودی کمترین افت فشار را در این آزمایش دارا بوده است.

جدول ۳-۵ جدول داده‌های به دست آمده از آزمایش مخلوط سیال اتیلن‌گلیکول و نانوسیال دی‌اکسید

تیتانیوم

لیتر بر دقیقه	A1	A2	B1	B2	C1	C2	E1	E2	F1	F2	G1	G2	H1	H2
۳	۵۹	۵۲	۶۰	۵۷	۵۲	۴۸	۴۶	۴۴	۴۴	۴۲/۵	۵۰/۵	۴۸	۴۹	۳۵
۶	۶۳	۵۴	۶۶/۵	۵۵	۵۷/۵	۴۷	۵۴	۴۷	۴۸	۴۳	۵۵	۵۱	۵۲/۵	۳۵/۵
۹	۶۹	۵۵/۵	۷۲	۵۲	۵۹	۴۴/۵	۶۴/۵	۵۰	۵۷	۴۵	۶۷	۵۹	۵۸	۳۷
۱۲	۷۹	۵۶	۸۱	۵۰	۶۴/۵	۴۲	۷۰	۵۲	۶۲	۴۵	۷۳	۶۲	۶۲/۵	۳۷
۱۵	۸۵	۵۸	۸۸	۴۸	۷۰	۴۰/۵	۷۷	۵۳	۶۹/۵	۴۸	۷۹	۶۷/۵	۶۶/۵	۳۸/۵
۱۸	۸۸	۵۸/۵	۹۴	۴۶/۵	۸۱/۵	۳۸	۸۰	۵۸	۷۵	۵۳	۸۸	۶۹	۷۰/۵	۴۰/۵

جدول ۳-۶ جدول داده‌های به دست آمده از آزمایش مخلوط سیال اتیلن‌گلیکول و نانوسیال اکسید

آلومینیوم

لیتر بر دقیقه	A1	A2	B1	B2	C1	C2	H2	E1	E2	F1	F2	G1	G2	H1	H2
۳	۶۱	۵۹	۷۶	۷۲	۷۰	۶۰	۷۳	۶۷	۶۴	۶۴	۶۲	۷۰	۶۶	۷۶	۷۳
۶	۶۵	۵۸	۸۰	۶۸	۸۰	۶۲	۷۵	۷۴	۶۸	۷۲	۶۷	۷۸	۶۸	۸۲	۷۵
۹	۷۲	۶۳	۸۹	۶۹	۸۶	۵۹	۷۵	۸۱	۶۸	۷۸	۶۸	۸۵	۶۷	۸۷	۷۵
۱۲	۷۹	۶۲	۹۶	۶۵	۸۶	۴۹	۷۳	۸۶	۶۶	۸۲	۶۷	۹۱	۶۲	۹۵	۷۳
۱۵	۷۹	۵۶	۹۱	۵۱	۸۶	۴۲	۶۷	۸۷	۶۰	۸۲	۶۱	۹۲	۵۴	۹۰	۶۷
۱۸	۷۹	۵۲	۱۰۵	۴۹	۷۶	۷۱	۵۶	۸۵	۵۰	۷۸	۵۲	۸۹	۴۲	۸۵	۵۶

جدول ۳-۷ اختلاف فشار به وجود آمده

Lpm	A1/A2	B1/B2	C1/C2	E1/E2	F1/F2	G1/G2	H1/H2
۳	۲	۴	۱۰	۳	۲	۴	۳
۶	۷	۱۲	۱۸	۶	۵	۱۰	۷
۹	۹	۲۰	۲۷	۱۳	۱۰	۱۸	۱۲
۱۲	۱۷	۳۱	۳۷	۲۰	۱۵	۲۹	۱۷
۱۵	۲۳	۴۰	۴۴	۲۷	۲۱	۳۸	۲۳
۱۸	۲۷	۵۶	۵۸	۳۵	۲۶	۴۷	۲۹

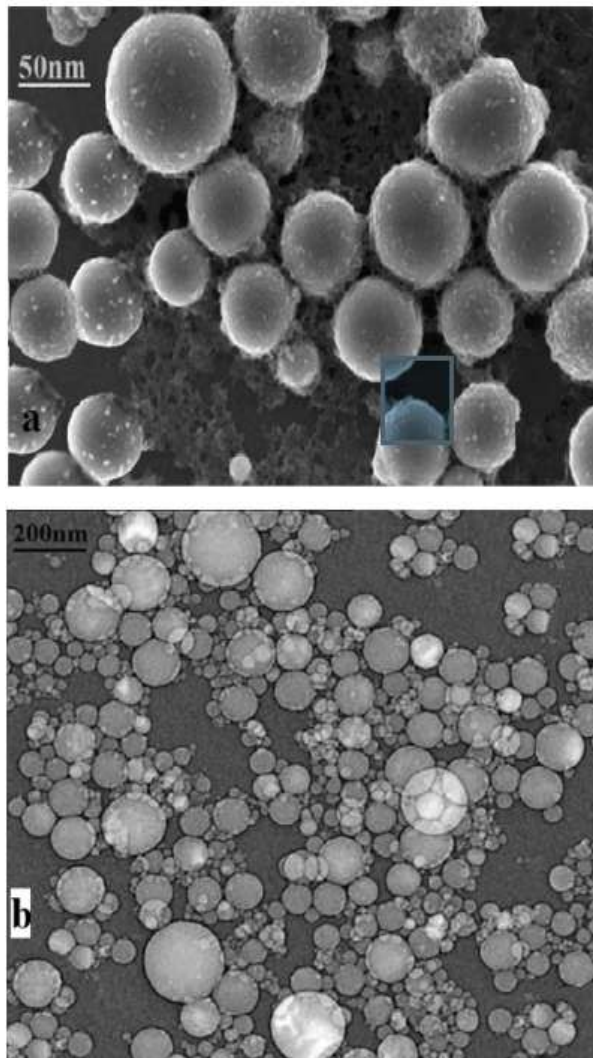
در دستگاه‌ها و سیستم‌های مختلف امور از باز و بسته که به نوعی با جریان سیال در ارتباط هستند، عموماً لازم است که میزان سیال عبوری از یک محل اندازه‌گیری شود. اندازه‌گیری میزان جریان آب، نفت و گاز در لوله‌ها با کanal‌ها را می‌توان به عنوان نمونه‌های بارز بر شمرد. روش‌های متنوع جهت اندازه‌گیری شدت جریان سیال یا دبی وجود دارد. شاید بتوان گفت که ساده‌ترین راه اندازه‌گیری دبی، سنجش حجم با وزن سیال عبوری در مدت زمان مشخص است. وسایل اندازه‌گیری شده است، جریان به دو دسته تقسیم می‌شوند؛ جریان سنج‌های منقول، مانند جریان سنج price که معمولاً برای اندازه‌گیری شدت جریان در رودخانه‌ها و یا کanal‌ها به کار می‌رود و جریان سنج‌های غیرمنقول که در تأسیسات هیدرولیکی در مسیر جریان نصب می‌شوند؛ مانند سرریزها، کنتورهای آب، و نتوری متر، اوریفیس متر و روتامتر.

### ۳-۵ آماده‌سازی نمونه‌ها

به‌منظور تهیه نانوسیال‌ها به‌وسیله پخش کردن نانو ذرات در سیال پایه، نیاز به مخلوط مناسب و تثبیت ذرات مورد نیاز می‌باشد. اساساً، سه روش مختلف برای دست یافتن به پایداری و تثبیت نانوسیال‌ها، در دسترس می‌باشد. این روش‌ها به این شرح لیست شده است:

- (۱) اسیدی نمودن سیال پایه، (۲) اضافه نمودن روان کننده و پخش کننده، (۳) استفاده از ارتعاشات فرacoتی. هدف همه این تکنیک‌ها تغییر خصوصیات سطحی یک سیستم و جلوگیری از تهشیشی به‌منظور دست یافتن به یک سوسپانسیون پایدار می‌باشد. در مطالعه فعلی، نانوذراتی  $Al_2O_3$  در اندازه‌های  $20-22\text{ nm}$  با آب قطر و تثبیت‌کننده‌ها مخلوط گردیده و سپس به صورت مداوم به‌وسیله ویبراتور فرacoت (توشیبا، هند) که پالس‌های فرacoت ۱۰۰ وات را در  $36\pm3\text{ kHz}$  و به مدت ۵ ساعت جهت شکستن توده‌ها و انباستگی‌های نانوذرات تولید می‌نماید، قبل از اینکه در سیال عامل مورد استفاده قرار گیرد، سونیکیت می‌نماید. غلظت حجمی مطلوب در این مطالعه بین  $0/2$  و  $1$  بود. مقدار pH سیال‌ها نشان داد که شیمی محلول‌ها، تقریباً خنثی می‌باشد. برای هر تست یک نانوسیال جدید محیا گردیده و بلا فاصله مورد استفاده قرار گرفت. جهت بررسی ثبات انتشار نانوسیال‌ها، چگالی برخی از نمونه‌های نانوسیال قبل و بعد از انجام تست آزمایشگاهی، اندازه‌گیری گردید. هیچ‌گونه تفاوت قابل توجهی در چگالی اندازه‌گیری شده مشاهده نشد. توزیع نانو ذرات اصلی  $Al_2O_3$  در مقیاس نانو را می‌توان توسط یک میکروسکوپ الکترونی عبوری (TEM) و SEM مشاهده نمود.

شکل (۴-۳) (a)، تصاویر SEM از  $Al_2O_3$  را هنگامی که جریان در A ۷۵ تنظیم شده بود را نشان می‌دهد.

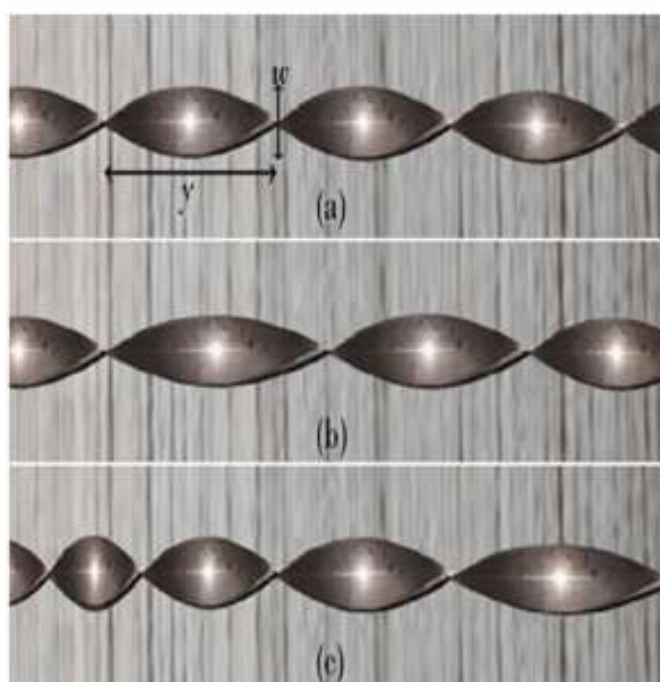


شکل ۴-۳ (a) تصویر SEM از ذرات  $Al_2O_3$  (b) تصویر TEM از ذرات  $Al_2O_3$ .(۸۷)

اندازه تقریبی ذرات  $Al_2O_3$  تولید شده، مستقیماً از تصاویر SEM به وسیله سیستم اندازه‌گیری اپتیکی میدفان پروتک ۲۵۰۰، اندازه‌گیری شد. علاوه بر این، نانو ذرات تولید شده که در شکل (۴-۳) نشان داده شد، گردی خوبی داشته و اندازه آن نیز یکنواخت است. شکل (۴-۳) (b) تصویر TEM از سوسپانسیون نانو ذرات می‌باشد. همان‌طور که در شکل (۴-۳) نشان داده شده است، نانو ذرات  $Al_2O_3$  که به وسیله سیستم ترکیب پیشنهادی تهیه گردید، نشان‌دهنده پخش خوب نانو ذرات با اندازه میانگین ۲۰–۲۲ nm می‌باشد. برای این آزمایش، رابطه جریان به سمت نانو ذرات را می‌توان به وسیله جریان‌های مختلف، تحلیل نمود.

### ۳-۶ نوارهای پیچ خورده

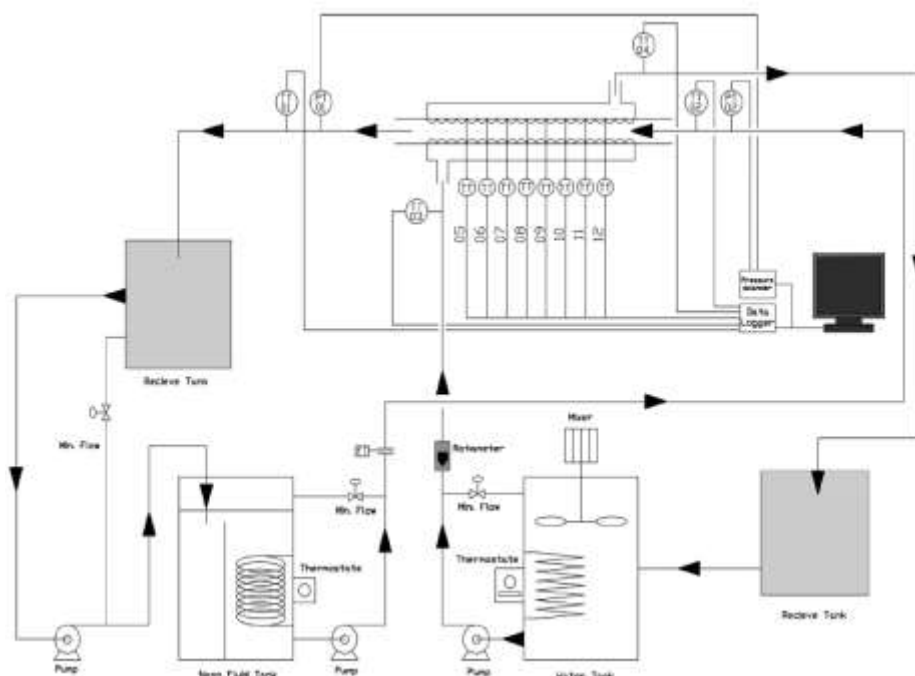
جنس نوارهای پیچ خورده آلومینیوم بوده که ضخامت آن ( $d$ )  $8/8\text{ mm}$ ، عرض آن ( $W$ )  $48\text{ mm}$  و طول آن  $800\text{ mm}$  می‌باشد. ضخامت  $8/8\text{ mm}$  به منظور اجتناب از اصطکاک اضافی در سیستم که ممکن است به وسیله ضخامت نوار حادث گردد، انتخاب گردید. جهت تولید نوارهای پیچ خورده اصلاح شده، پیچ خورده‌های نوعی به وسیله تغییر نسبت پیچ خورده‌گی و نسبت تصاعد هندسی در سرتاسر پیچ خورده‌گی، تغییر داده شد. نسبت پیچ خورده‌گی به عنوان طول پیچ خورده‌گی به عرض نوار ( $w$ ) در نظر گرفته می‌شود. نسبت تصاعد هندسی، نسبت طولهای pitch در سرتاسر پیچ خورده‌گی می‌باشد. این نوارها در هفت نسبت تصاعد هندسی (GPR) مختلف، به ترتیب  $2, 1/5, 1/2, 1, 1/85, 0/75$  و  $0/60$  تهیه گردید. در حالی که پیچ خورده‌گی‌های با GPR کمتر از یک (GPR کاهنده) در سرتاسر طول خود (RGPR) کوتاه شدند، پیچ خورده‌گی‌های با GPR بزرگ‌تر از یک (GPR افزاینده) در سرتاسر طول خود (IGPR)، درازتر گردیدند. جزئیات هندسی نوارها در شکل ۳-۵ نشان داده شده است.



شکل ۳-۵ هندسه‌ها (a) نوار پیچ خورده نوعی (b) نوارهای پیچ خورده (c) نوارهای پیچ خورده RGPR .(۸۷) IGPR

## ۷-۳ روش و ساختار آزمایشگاهی انتقال گرما

آزمایش بررسی خصوصیت انتقال گرمای نانوسیال، با استفاده از ابزار آزمایشگاهی که در شکل (۳-۶) نشان داده است، صورت پذیرفت. آن عموماً شامل یک بخش تستی، مخزن های دریافت کننده که در آن سیال های عامل ذخیره می شوند، سیستم سرمایشی و گرمایشی، دما، حسگر جریان، دوارسنج (روتامتر)، سیستم اندازه گیری فشار و سیستم اکتساب داده ها می باشد. سیال های عامل در چرخه به وسیله پمپ های با سرعت متغیر که دارای ظرفیت مناسبی می باشند، به چرخش درآمده شد. طول قسمت تست،  $1/5$  میلی متر، با مسیر جریان مخالف در داخل مبدل گرمایی با لوله های دوگانه افقی که در آن نانوذره داغ در داخل لوله مورد استفاده قرار می گیرد می باشد در حالی که آب خنک کننده به لوله بیرونی هدایت می شود. لوله داخلی از مس نرم ساخته شده و دارای قطر داخلی و خارجی  $50 \text{ mm}$  و  $60/2 \text{ mm}$  بوده در حالی که جنس لوله بیرونی فولاد ضد زنگ، با قطر داخلی  $74/2 \text{ mm}$  و ضخامت دیواره لوله آن  $6 \text{ mm}$  می باشد. این بخش به منظور به حداقل رساندن اتلاف های گرما به محیط، به وسیله لوله های پلاستیکی ایزو لوله گردید. از  $10^{\circ}\text{C}$  در سرتاسر دیواره لوله داخلی و در فواصل یکسان به منظور اندازه گیری تغییرات دما در محیط لوله، استفاده گردید.



شکل ۳-۶ نمای شماتیک از ساختار آزمایشگاهی [۸۷].

تمامی ترموکوپل‌ها قبل از نصب، کالیبره و تنظیم شدند. دمای ورودی و خروجی سیال‌ها به‌وسیله RTD کالیبره و اندازه‌گیری گردید. همه داده‌های دما به‌وسیله دیتالاگر ضبط گردید. جهت اندازه‌گیری افت فشار در سرتاسر بخش تست، فرستنده فشار تفاضلی در نوار فشار که در ورودی و خروجی آن بخش قرار دارد، نصب گردید. نرخ جريان نانوسیال به‌وسیله یک سنسور جريان مغناطیسی که در ورودی بخش تست قرار گرفته، اندازه‌گیری گردید.

برای هر بخش از تست، ضبط داده‌های دما، نرخ‌های جريان حجمی و افت فشار در سرتاسر آن بخش و در شرایط حالت یکنواخت، ضروری می‌باشد. دو مخزن ذخیره که جنس آن از فولاد ضدزنگ بوده و دارای حجم ۵۰ لیتر می‌باشد، جهت جمع‌آوری سیالاتی که بخش تست را ترک می‌کنند، استفاده گردید. ظرفیت مخزن خنک‌کننده  $4/5 \text{ kw}$  بوده که جهت ثابت نگهداشتن دمای آب دارای یک ترمومتر می‌باشد. استفاده از ترمومتر باعث می‌شود که سریع‌تر به شرایط حالت پایدار بررسیم. دما آب ورودی در محدوده  $25^\circ\text{C}$  نگهداشته شد و نرخ جريان آب به صورت ثابت در  $500 \text{ l/hr}$  حفظ گردید. مشابه تانکر خنک‌کننده، یک گرم‌کننده الکترونیکی با یک ترمومتر ثابت نگهداشتن دمای نانوسیال در دما  $40$  درجه سانتی‌گراد، نصب گردید. نانوسیال داغ از مخزن سیال از طریق لوله داخلی که دارای نوارهای پیچ خورده در اعداد رینولدز مختلف بین  $5000$  و  $21000$  می‌باشد، پمپ گردید. جهت حصول اطمینان از شرایط حالت یکنواخت برای هر مرحله، یک دوره حدوداً  $30-20$  دقیقه مبتنی بر اعداد رینولدز و نوارهای پیچ خورده، قبل از رکورد داده در نظر گرفته شد. پس از آماده‌سازی چیدمان آزمایش، مخازن ذخیره از سیال‌های عامل پر گردید. آزمایش‌های اولیه‌ای در ارتباط با اعتبارسنجی سیستم صورت پذیرفت. این امر به‌وسیله آب و نانوسیال آب- $\text{Al}_2\text{O}_3$  با نوارهای پیچ خورده و بدون آن انجام گردید. علاوه بر این خصوصیات گرمایی فیزیکی نانوسیال نیز ارزیابی گردید.

## فصل چهارم

### یافته‌های پژوهش

## ۱-۴ مقدمه

### ۱-۱-۴ ارزیابی خواص ترموفیزیکی

اندازه‌گیری خصوصیات گرمایی فیزیکی سیال (چگالی، گرمایی ویژه، چسبندگی و رسانایی گرمایی) برای استفاده در کاربردهای عملی، مورد نیاز می‌باشد. همبستگی‌های مناسبی جهت ارزیابی چگالی نانوسیالات به وسیله پک و چو [۸۸] ارائه گردیده که با رابطه (۱-۴) تعریف می‌گردد:

$$\rho_{nf} = \varphi \rho_{np} + (1 - \varphi) \rho_{bf} \quad (4-1)$$

گرمایی ویژه به وسیله معادله ژوان و روتزل [۸۹] محاسبه گردید:

$$(\rho Cp)_{nf} = \varphi (\rho Cp)_{np} + (1 - \varphi) (\rho Cp)_{bf} \quad (4-2)$$

رسانایی گرمایی در غلظت‌های حجمی مختلف نانوسیال  $Al_2O_3$  با استفاده از رساناسنج گرمایی سریع QTM-500 که به وسیله KEM ژاپن تحت شرایط یکنواخت عرضه گردیده، اندازه‌گیری گردید. داده آزمایشگاهی به دست آمده از رسانایی گرمایی با آن‌هایی که از مدل‌های نظری معروف تخمین زده شده‌اند مقایسه گردیده و در شکل ۱-۴ نیز نشان داده شده است. مدل‌هایی که برای محاسبه رسانایی گرمایی جهت مقایسه مورد استفاده قرار گرفته با رابطه (۳-۴) شرح داده می‌شود.

(a) مدل مکسول

$$K_{nf} = K_w \left[ \frac{1 + 2\varphi \left( \frac{1 - \frac{K_w}{K_{np}}}{2 \frac{K_w}{K_{np}} + 1} \right)}{1 - \varphi \left( \frac{1 - \frac{K_w}{K_{np}}}{\frac{K_w}{K_{np}} + 1} \right)} \right] \quad (3-4)$$

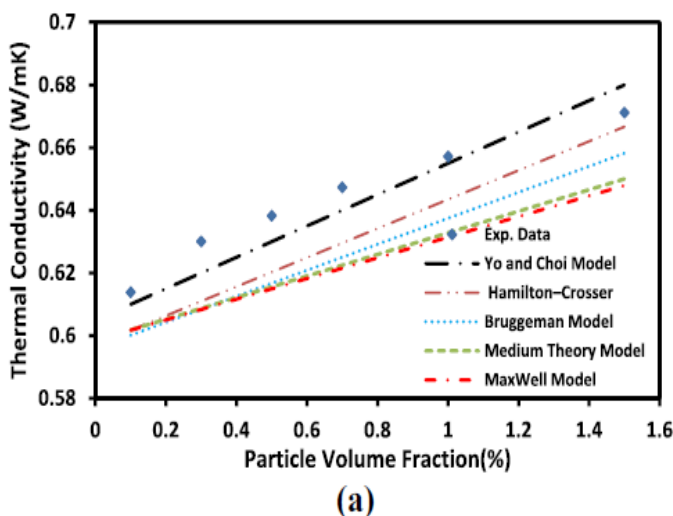
که در آن  $K_{nf}$  رسانایی گرمایی نانوسیال بوده،  $K_{np}$  رسانایی گرمایی نانو ذرات و  $K_w$  رسانایی گرمایی سیال پایه می‌باشد.

(b) مدل همیلتون-کراس که می‌توان آن را با رابطه (۴-۴) بیان نمود [۹۰]:

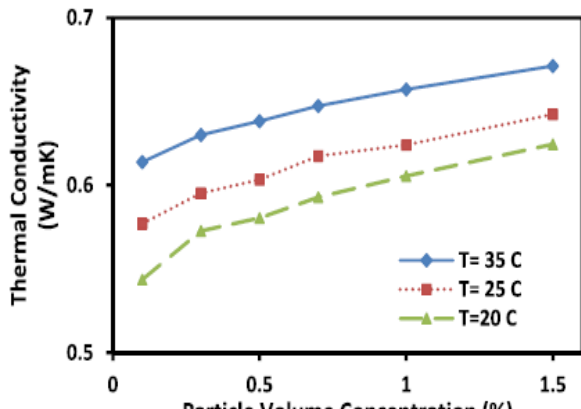
$$K_{nf} = K_w \left[ \frac{K_{np} + (n-1)K_w - \varphi(n-1)(K_w - K_{np})}{K_{np} + (n-1)K_w + \varphi(K_w - K_{np})} \right] \quad (4-4)$$

$$n = \beta/\Psi$$

که در آن  $n$  عامل شکلی بوده و  $\Psi$  کرویت بوده که به عنوان محدوده سطحی یک کره با یک حجمی برابر با میانگین محدوده سطحی ذره می‌باشد.



(a)



(b)

شکل ۴-۱ (a) مقایسه رسانایی گرمایی بین داده اندازه‌گیری شده و مقدار محاسبه شده از سایر همبستگی‌ها. (b) رسانایی گرمایی به عنوان تابعی از دما و بخشناسی از حجم.

(c) مدل یو و چوی که می‌توان آن را به صورت رابطه (۵-۴) بیان نمود [۹۱]

$$K_{nf} = \left[ \frac{K_{np} + 2K_w - 2\varphi(1+\beta)^3(K_w - K_{np})}{K_{np} + 2K_w + \varphi(1+\beta)^3(K_w - K_{np})} \right] \quad (4-5)$$

در این همبستگی،  $\beta$  نسبت ضخامت نانو لایه به شعاع ذره اصلی که معمولاً به عنوان  $1/\alpha$  جهت محاسبه رسانایی گرمایی نانوسیال در نظر گرفته می‌شود.

(d) مدل بروگمن [۹۲]:

$$K_{nf} = \frac{1}{4} [(3\varphi - 1)K_{np} + (2 - 3\varphi)K_w] + \frac{K_w}{4}\sqrt{\Delta} \quad (4-6)$$

$$\Delta = \left[ (3\varphi - 1)^2 \left( \frac{K_{np}}{K_w} \right)^2 + (2 - 3\varphi)^2 + 2(2 + 9\varphi - 9\varphi^2) \left( \frac{K_{np}}{K_w} \right) \right]$$

(e) نظریه میانی مؤثر که به وسیله تیموفیوا و همکارانش معرفی گردید [۹۳]:

$$K_{nf} = [1 + 3\varphi]K_w \quad (4-7)$$

از لحاظ چسبندگی، نانوسیالی که در این مطالعه استفاده گردیده، رفتار رئولوژی غیرنیوتی برش باریک را از خود نشان داد. برای این سیال‌ها مرسوم است که رابطه بین تنش برشی و نرخ برش از لحاظ حرکت دو بعدی را با رابطه (۴-۸) تعریف نمود [۹۴]:

$$\tau = \eta \frac{dv_x}{dy} \quad (4-8)$$

که در آن  $\eta$  چسبندگی غیرنیوتی می‌باشد. برای سیال نیوتی  $\mu = \eta$  می‌باشد. بسیاری از روش‌های تجربی برای چسبندگی غیرنیوتی باتابع  $\eta$  پیشنهاد شده است. ساده‌ترین روش برای  $\eta$ ، قانون توان دو پارامتری مدل استوالد-دواال برای یک سیال غیرنیوتی برش باریک می‌باشد [۹۴]:

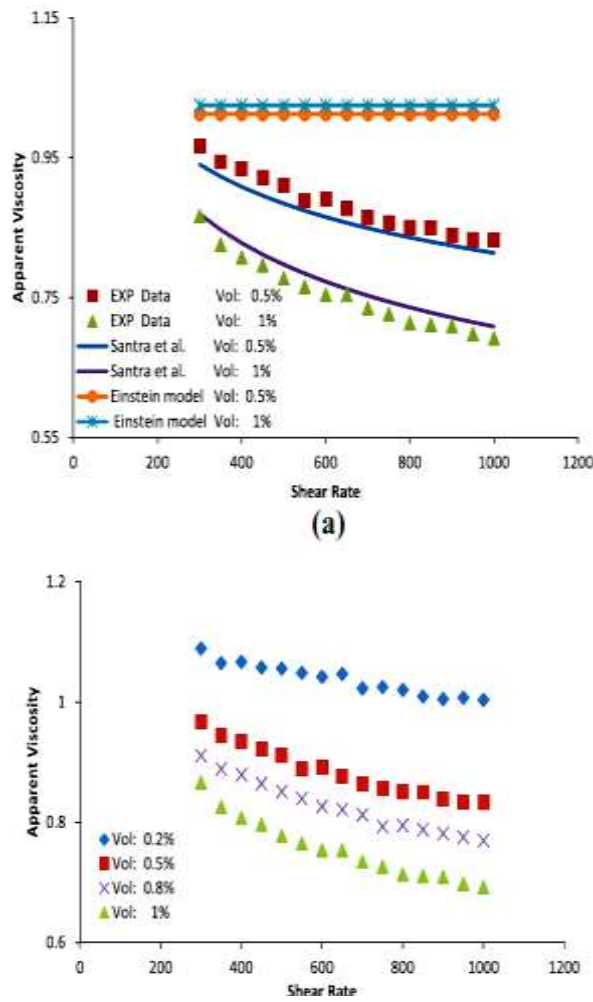
$$\eta = m\gamma^{n-1} \quad (4-9)$$

که در آن  $m$  و  $n$  ثابت‌هایی از مشخصه‌های سیال بوده و بستگی به نوع نانوسیالی که مورد استفاده قرار گرفته است دارد. در اینجا  $m$  شاخص ثبات جریان با واحدهای  $N M^{-2}$  می‌باشد.  $S^n$  و  $n$  شاخص رفتار جریان ( $n$ ) می‌باشد. به صورت کلی، غلظت نانو ذرات نمی‌تواند، به شدت شاخص رفتار جریان را که در آن رابطه به سمت دما معطوف گردیده تحت تأثیر قرار دهد و هنگامی که دما افزایش می‌یابد، افزایش می‌یابد. می‌توان آن را به این حقیقت

نسبت داد که افزایش دما، فاصله بین سلولی را افزایش داده و فعل و انفعال بین سلول‌ها را کاهش می‌دهد. شاخص ثبات جریان، رفتار کاملاً متفاوتی را در ارتباط با دما و تغییر غلظت از خود نشان می‌دهد. هنگامی که دما کاهش می‌یابد و کسر حجمی افزایش می‌یابد، آن نیز افزایش می‌یابد. دلیل مورد اول با انرژی بالاتر مولکول‌ها و فاصله بین مولکولی در دمای‌های بالاتری که منجر به این می‌شود تأثیرات مولکول‌ها بر هم‌دیگر کاهش یابد، مرتبط است. دلیل مورد اول را می‌توان به فعل و انفعال بین نانو ذرات و مولکول‌های آب نسبت داد [۹۵]. مقدار  $\gamma$  که در اینجا مثبت در نظر گرفته می‌شود، نرخ برش خوانده می‌شود. باید توجه نمود که برای یک سیال برش باریک، مقدار  $n$  کمتر از یک می‌باشد [۹۴].

رئومتر (شارش شناس)  $DV3T$  (عرضه شده توسط بروک فیلد) با دقت  $\pm 0.1\%$  از دامنه  $\pm 0.2\%$  جهت بررسی رفتار روان‌شناسی (رئومتری)  $Al_2O_3$  به کار گرفته شد. حمام دمای ثابت که به رئومتر متصل شده بود، دما را کنترل نمود. حداقل ۸ اندازه‌گیری در غلظت‌های مورد نظر، صورت پذیرفته و یک مقدار میانگین جهت بررسی پارامترها محاسبه گردید. تا جایی که اطلاع داریم، تنها سانترا و همکارانش [۹۶] به صورت آزمایشگاهی رابطه بین تنش برشی و نرخ برش برای نانوسیال  $-Al_2O_3$ –آب را ارائه نمودند. با استفاده از این داده، سانترا و همکارانش، مقادیر  $m$  و  $n$  را برای  $vol.\%$  تا  $5\%$  از کسر حجمی جامد را محاسبه نمودند. نتایج آن‌ها برای معتبر نمودن نتایج آزمایشگاهی کسب شده مورد استفاده قرار گرفته است. این نتایج به همراه مقادیری که از مطالعه سانترا و همکارانش و معادله اینشتن گرفته شد در شکل ۲-۴ نشان داده شده است. معادله اینشتن جهت محاسبه چسبندگی، که رای ذرات کروی در کسرهای حجمی کمتر از  $5\% vol.$  قابل استفاده است، با رابطه (۱۰-۴) تعریف می‌شود:

$$\mu_{rapp} = \frac{\mu_{nf}}{\mu_w} \quad (4-10)$$



شکل ۴-۲ (a) مقایسه چسبندگی بین داده اندازه‌گیری شده و مقدار محاسبه شده از همبستگی‌های دیگر.  
(b) چسبندگی به عنوان نرخ برش و کسر حجمی

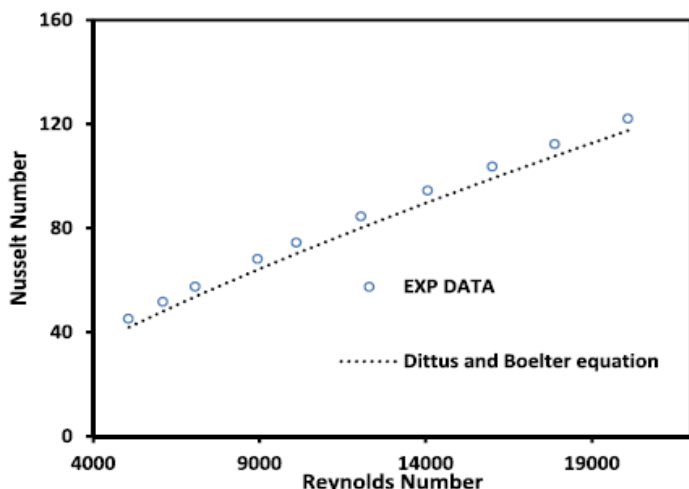
## ۴-۲ کاهش داده‌ها

در مطالعه حاضر، نانو ذرات  $Al_2O_3$  با غلظت‌های حجمی ۰/۰٪، ۰/۵٪ و ۰/۷٪ در آب پخش شدند. در طی تست، آب سرد گرمایی نانوسیال داغ جذب نمود. نرخ انتقال گرمایی سیال گرمایشی، از طریق رابطه (۱۱-۴) محاسبه گردید:

$$Q_{nf} = \dot{m}_{nf} C p_{nf} (T_{out} - T_{in})_{nf} \quad (4-11)$$

که در این معادله  $Q_{nf}$  نرخ انتقال گرمای نانوسیال و  $\dot{m}_{nf}$  نرخ انتقال جرم نانوسیال می‌باشد. نرخ انتقال گرمایی به آب سرمایشی از طریق رابطه (۱۲-۴) محاسبه گردید:

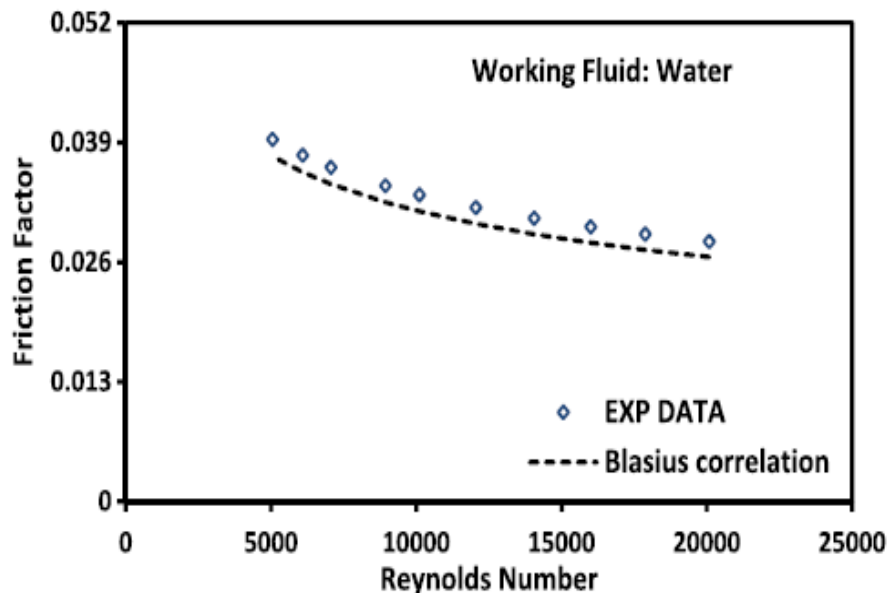
$$Q_w = \dot{m}_w C p_w (T_{out} - T_{in})_w \quad (4-12)$$



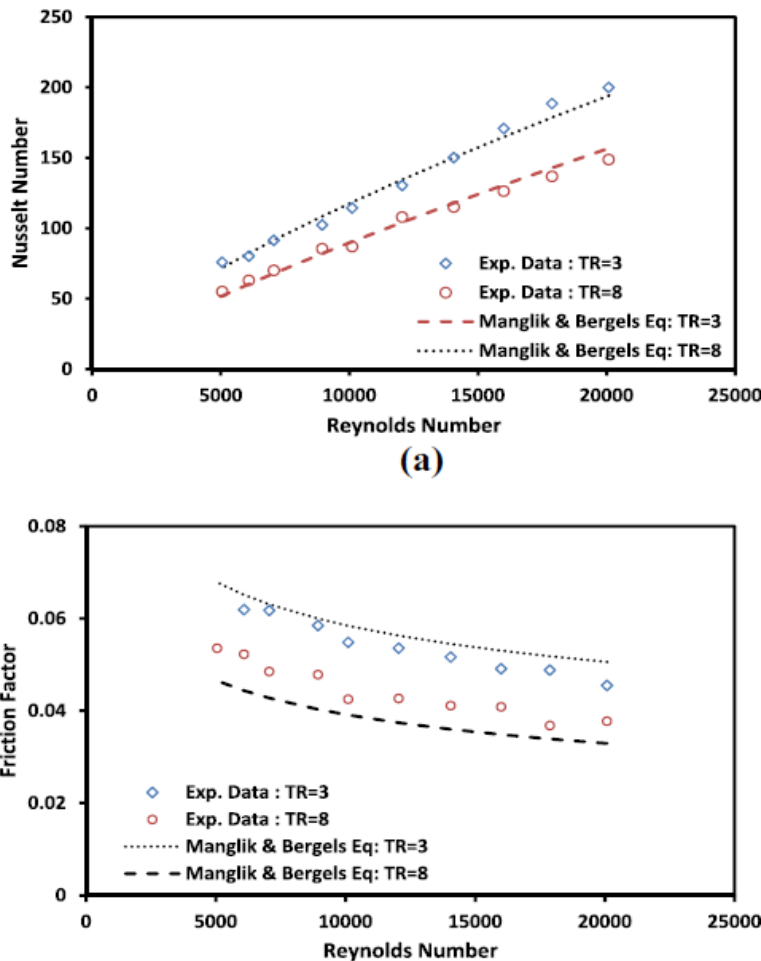
شکل ۴-۳ اعتباربخشی داده آزمایشگاهی لوله ساده برای عدد ناسلت

در این مطالعه به این نتیجه رسیده شد که گرمای فراهم شده به وسیله نانوسیال ۳٪ بالاتر از گرمای دریافت شده بود. این انحراف را می‌توان به وسیله انتقال گرمای همرفت و اتلاف گرمای تشعشع در طی بخش تست تفسیر نمود. میانگین نرخ انتقال گرمای به صورت رابطه (۴-۱۲) است:

$$Q_{ave} = \frac{Q_w + Q_{nf}}{2} \quad (4-12)$$



شکل ۴-۴ اعتباربخشی لوله ساده با آب برای عامل اصطکاک



شکل ۴-۵ اعتباربخشی لوله ساده با نوارهای پیچ خورده و آب: (a) عدد ناسلت و (b) عامل اصطکاک

مقدار میانگین ضریب انتقال گرمای آزمایشگاهی و میانه عدد ناسلت نانوسیال، با رابطه

(۴-۱۴) و (۴-۱۵) ارزیابی می‌شود:

$$h_{nf} = \frac{q_{ave}}{\check{T}_{wall} - T_{bnf}} \quad (4-14)$$

$$NU_{nf} = \frac{h_{nf} D}{K_{nf}} \quad (4-15)$$

که در اینجا  $\check{T}_{wall}$  میانه دماهای سطح دیواره می‌باشد که به وسیله ۱۰ ایستگاه که بین ورودی و خروجی لوله تست به صفت شده‌اند اندازه‌گیری گردید.

$$\check{T}_{wall} = \sum \frac{T_{wall}}{10} \quad (4-16)$$

که در اینجا  $T_{wall}$  دمای دیواره محلی می‌باشد.

میانه دمای توده نانوسیال  $T_{b,nf}$  می‌باشد:

$$T_{b,nf} = \frac{T_{in+} T_{out}}{2} \quad (4-17)$$

حالت جریان را می‌توان از اعداد رینولدز، بر اساس نرخ جریان در ورودی لوله تست تعريف نمود. برای سیال غیرنیوتئی کاملاً چسبناک، عدد رینولدز با رابطه (۱۸-۴) تعريف می‌شود:

$$RE = \frac{\rho_{nf} v_{nf}^{2-n} d_i^n}{m \gamma^{n-1}} \quad (4-18)$$

که در اینجا  $v_{nf}$  میانگین سرعت نانوسیال و  $d_i$  قطر لوله می‌باشد.

عامل اصطکاک را می‌توان از رابطه (۱۹-۴) محاسبه نمود:

$$F_{nf} = \frac{\Delta P_{nf}}{(L/d_i)\rho_{nf}(v_{nf}^2/2)} \quad (4-19)$$

که در آن  $F_{nf}$  عامل اصطکاک،  $\Delta P_{nf}$  افت فشار اندازه‌گیری شده نان سیال و  $L$  طول لوله می‌باشد.

عدد پرندل و عدد پکلت را می‌توان از طریق رابطه (۲۰-۴) ارزیابی نمود:

$$Pr_{nf} = \frac{m \gamma^{n-1}}{K_{nf}} \quad (4-20)$$

$$Pe_{nf} = \frac{v_{nf} d_p}{\alpha_{nf}} \quad (4-21)$$

که در این معادله  $d_p$  قطر نانو ذرات و  $\alpha_{nf}$  ضریب پخش گرمایی نانوسیال می‌باشد.

تحلیل ارزیابی عملکرد ( $\eta$ ) به عنوان ضریب انتقال گرمای همرفتی ارتقاء یافته ( $h_E$ ) به گونه غیر ارتقاء یافته آن ( $h_{NE}$ ) در توان پمپ یکسان تعريف می‌گردد.

$$\eta = \frac{h_E}{h_{NE}} \quad (4-22)$$

این پارامتر مربوط به هزینه عملیات و ذخیره انرژی می‌باشد.

### ۴-۳ تجزیه و تحلیل عدم قطعیت

یک تجزیه و تحلیل دقیق عدم قطعیت جهت تخمین خطاهای مرتبط با آزمایش‌هایی که از روش کلمن و استیل استفاده می‌نمایند ایجاد گردید.

عدم قطعیت‌های فردی مرتبط با ابزارهای مختلفی که در آزمایش حضور دارند، در ابتدا جهت محاسبه حداکثر خطای ممکن در عدد رینولذ، عدد ناسلت و فاکتور اصطکاک، ارزیابی گردید. به این نتیجه رسیده شد که حداکثر عدم قطعیت عدد ناسلت، عدد رینولذ و فاکتور اصطکاک به ترتیب  $26\pm0$ ٪،  $14\pm0$ ٪ و  $24\pm0$ ٪ می‌باشد. جزئیات بیشتر در ارتباط با عدم قطعیت را می‌توان در بخش (۱-۵) یافت.

## ۴-۴ نتایج و بحث

قبل از ارزیابی نانوسيال  $Al_2O_3$  و عملکرد نوارهای پیچ خورده اصلاح شده، قابلیت اطمینان امکانات آزمایشگاهی به وسیله انجام آزمایش‌های با نانوسيال و نوار پیچ خورده و بدون آن‌ها تأیید گردیده، سپس نتایج تحقیق با نتایج ارائه شده در همبستگی‌های معروف، تحت یک شرایط یکسان، مقایسه گردید.

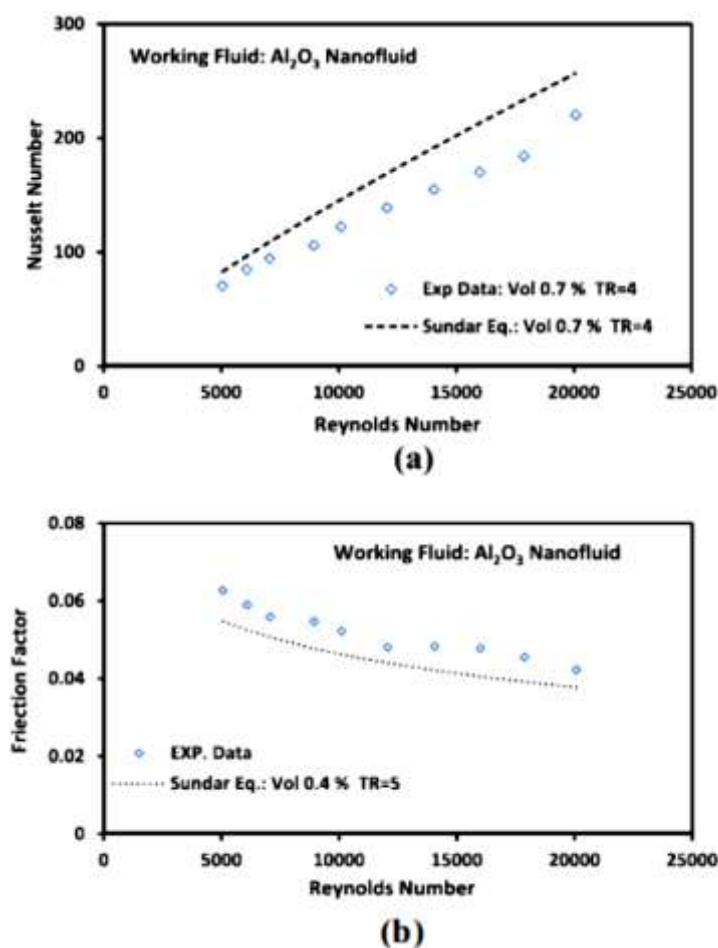
### ۴-۴-۱ رسانایی گرمایی نانوسيال‌ها

به منظور اعتبار دادن به داده آزمایشگاهی رسانایی گرمایی به دست آمده از *QTM*، رسانایی گرمایی نانوسيال در دمای ۳۵ درجه سانتی‌گراد و غلظت‌های حجمی مختلف در یک حالت یکنواخت، اندازه‌گیری شد. داده آزمایشگاهی در شکل (۱-۴-a) به همراه مقادیر محاسبه شده از همبستگی‌ها و روش‌های معروف بیان شده، نشان داده شد. همان‌طور که شکل نشان می‌دهد، نتایج مطابقت خوبی بین مقدار اندازه‌گیری شده و مدل یو و چوی را نشان می‌دهد. هرچند، نتایج آزمایشگاهی ارزیابی شده کمی بزرگ‌تر از پیش‌بینی‌های مدل‌های دیگر می‌باشد. شکل (۱-۴-b) مقدار آزمایشگاهی رسانایی گرمایی نانوسيال  $Al_2O_3$  را به عنوان تابعی از دما و غلظت حجمی نشان می‌دهد. می‌توان یافت که افزایش دما و غلظت حجمی نانوذره‌ها، به صورت قابل توجهی رسانایی گرمایی نانوسيال را افزایش خواهد داد.

### ۴-۴-۲ ویسکوزیته‌ی نانوسيال

جهت معتبر نمودن ابزار *ATS* جهت اندازه‌گیری چسبندگی نانوسيال، نتایج به دست آمده در نرخ‌های برشی مختلف با نتایج سانترا و همکارانش [۹۶] مقایسه گردید. شکل (۲-۴-a) مقایسه داده ارزیابی شده را با مدل پیش‌بینی ارائه شده، نشان می‌دهد. همان‌طور که شکل نشان می‌دهد، نتایج آزمایشگاهی با مقادیر محاسبه شده نتایج سانترا و همکارانش، تطابق

نزدیکی دارد. هرچند، انحرافی بین نتایج اندازه‌گیری شده و نتایج پیش‌بینی شده مدل انسیستین وجود دارد زیرا فرض چسبندگی سیال خطی حاصل نگردید. همان‌طور که در شکل (b-۲-۴) نشان داده شده است، نتایج نشان داد که چسبندگی نانوسیال‌ها با افزایش غلظت حجمی ذره افزایش می‌باشد و همچنانی با کاهش نرخ برش نیز افزایش می‌یابد.



شکل ۴-۶ تأیید تیوب صفحه‌ای با نوارهای پیچانیده و نانوسیال: (a) عدد ناسلت و (b) فاکتور اصطکاک

### ۴-۶-۳ آزمون تأیید با آب

جهت تأیید امکانات سیستم و اعتبار روش، آزمایش‌هایی با آب و با استفاده از لوله خالی در اعداد رینولدز هدف، در حالت آشفته انجام شد. صلاحیت عملکرد نرخ انتقال گرمای سیستم با مقایسه نتایج این تحقیق و نتایج حاصل از معادله دیتوس و بولتر [۹۷] برای آب معتبر گردید. این همبستگی‌ها به شرح ذیل تعریف گردید:

معادله دیتوس و بولتر:

$$NU = 0.04 Re^{0.75} Pr^{0.4} \quad (4-23)$$

جهت مقایسه فاکتور اصطکاک، از همبستگی بلاسیوس برای آب مورد استفاده قرار

گرفت:

معادله بلاسیوس:

$$f = 0.316 Re^{-0.25} \quad (4-24)$$

همان طور که در اشکال (۳-۴) و (۴-۴) نشان داده شده است، داده به دست آمده از آزمایش‌ها، مطابقت معقولانه خوبی با نتایج حاصل از همبستگی‌های اشاره شده برای هر دو اعداد ناسلت و فاکتور اصطکاک برای حالت جريان آشفته دارد. انحراف‌های داده آزمایشگاهی ارزیابی شده از مقادیر همبستگی برای عدد ناسلت ۰.۵٪ و برای عامل اصطکاک از لحظه تهی از آب، ۱٪ می‌باشد.

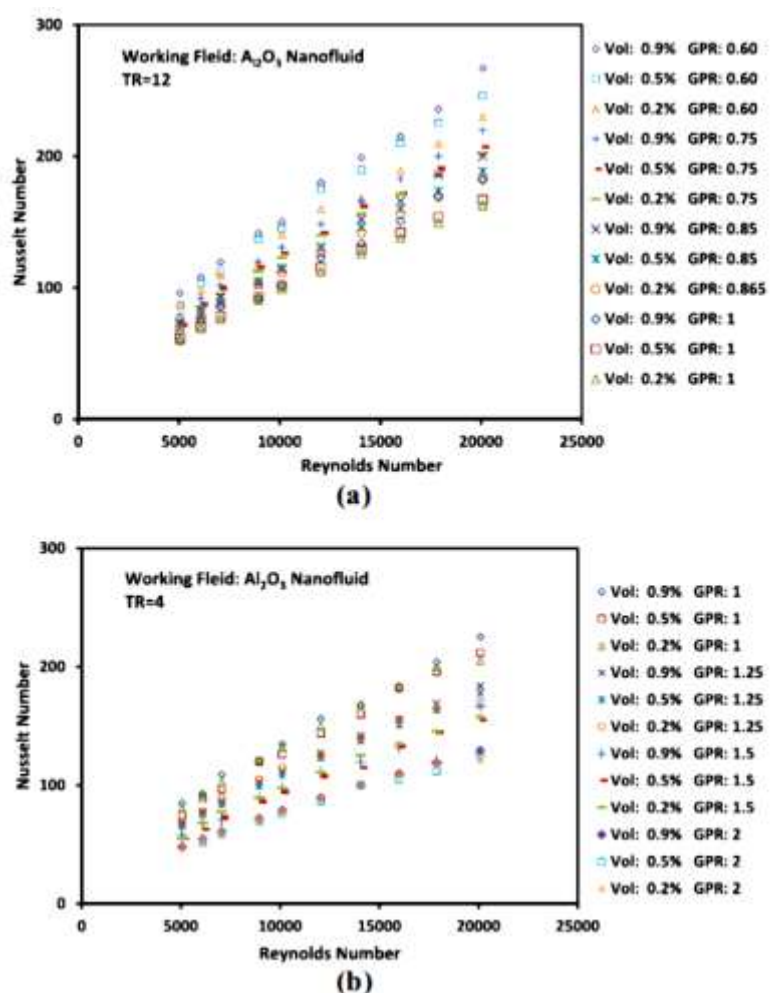
#### ۴-۴-۴ آزمون تأیید مربوط به نوار پیچانیده شده

جهت بررسی روش آزمایشگاهی با استفاده از نوارهای پیچ خورده، تست‌های بدون آب و سیال  $Al_2O_3$  در دو نسبت پیچش مختلف انجام شد و نتایج همان‌طور که در اشکال (۵-۴) و (۶-۴) نشان داده شده است با نتایج همبستگی پیش‌بینی شده مقایسه گردید. همبستگی‌های مورد بررسی برای عدد ناسلت و فاکتور اصطکاک تک مرحله‌ای همانند آب، توسط مانگلیک و برگلز [۹۸] برای لوله ساده که داری نوار پیچ خورده است، در یک جريان آشفته با رابطه‌های (۴-۲۵) و (۲۶-۴) پیشنهاد شد:

$$Nu = \left( 1 + \frac{0.769}{\left(\frac{y}{w}\right)} \right)^0 \times \left[ 0.023 Re^{0.8} Pr^{0.4} \left( \left( \frac{\pi}{\pi - \left(\frac{4\delta}{d_i}\right)} \right)^{0.8} \left( \frac{\pi + 2 - \left(\frac{2\delta}{d_i}\right)}{\pi - \left(\frac{4\delta}{d_i}\right)} \right)^{0.2} \right) \right] \quad (4-25)$$

$$f = \left( 1 + 2.06 \left( 1 + \left( 2 \frac{y}{w} \right)^2 \right)^{-0.74} \right) \times \left[ 0.079 Re^{-0.25} \left( \frac{\pi}{\pi - \left( \frac{4\delta}{d_i} \right)} \right)^{1.75} \left( \frac{\pi + 2 - \left( \frac{2\delta}{d_i} \right)}{\pi - \left( \frac{4\delta}{d_i} \right)} \right)^{1.25} \right] \quad (4-26)$$

عدد ناسلت آزمایشگاهی و فاکتور اصطکاک نانوسیال برای جریان در یک لوله با نوارهای پیچ خورده، با مقادیر پیش‌بینی شده توسط همبستگی‌های سیام ساندر و شارما [۹۸] با فرض اینکه نانوسیال به عنوان یک سیال تک فاز عمل می‌نماید مقایسه گردید:

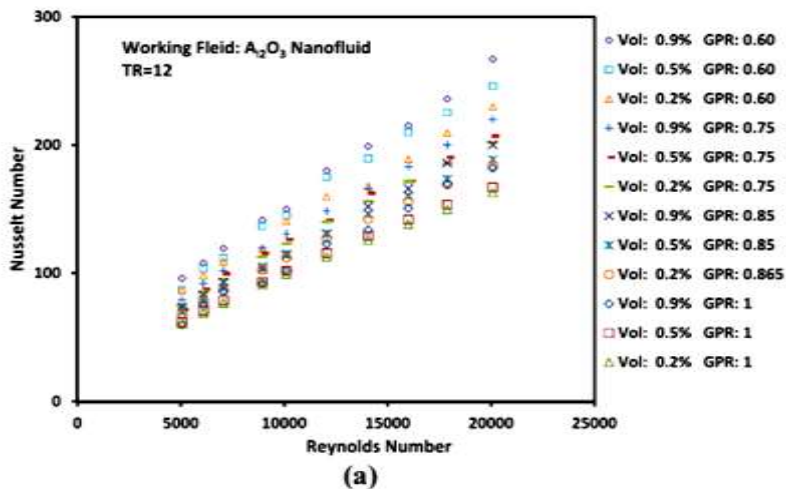


شکل ۴-۷ اثر نرخ تصاعد هندسی مربوط به عدد ناسلت (a) RGPR (b) GPR

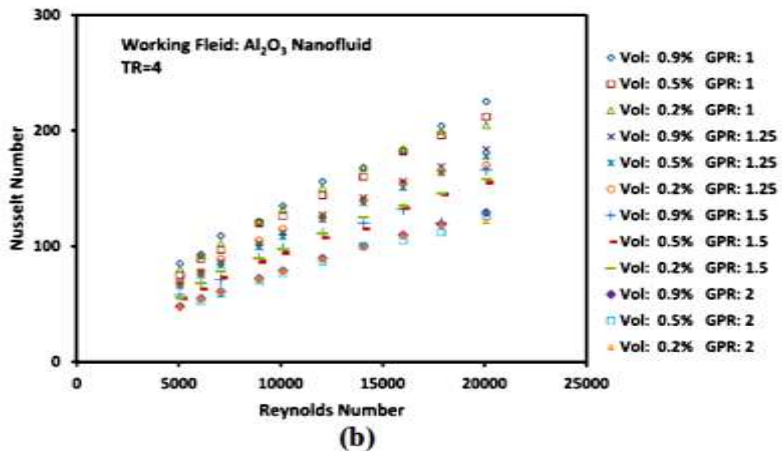
روابط مربوطه با فرض اینکه نانوسيال مانند یک مایع تک فاز عمل کند، به صورت رابطه (۲۷-۴) و (۲۸-۴) می‌باشد:

$$Nu = 0.0366 Re_{nf}^{0.8204} Pr_{nf}^{0.4} \left( 0.001 + \frac{H}{D} \right)^{0.06281} (0.001 + \varphi)^{0.04704} \quad (27-4)$$

$$f = 2/068 Re_{nf}^{-0.04330} (1 + \varphi)^{0.01} \left( 1 + \frac{H}{D} \right)^{0.004815} \quad (28-4)$$



(a)



(b)

شکل ۸-۴ تأثیر نسبت تصاعد هندسی بر عدد ناسلت (a) RGPR (b) IGPR

همانگونه که در شکل (۵-۴) و (۶-۴) مشاهده می‌شود، داده‌های به دست آمده از آزمایش‌ها دارای توافق مطلوبی با داده‌های به دست آمده از روابط مربوط به آب می‌باشند اما اندکی از مقادیر تخمین زده شده برای نانوسيال‌های با نوارهای به هم پیچیده، متفاوت است. انحراف داده‌های تجربی ارزیابی شده از مقادیر همبستگی  $6/2\%$  عدد ناسلت و  $12\%$  فاکتور

اصطکاک مربوط به آب در نوارهای به هم پیچیده است. این مقدار در مورد نانوسیال‌های آلومینی قرار داده شده در داخل یک تیوب فیت شده با دو نوار به هم پیچیده، به ترتیب ۲۰٪ و ۲۲٪ بیشتر است.

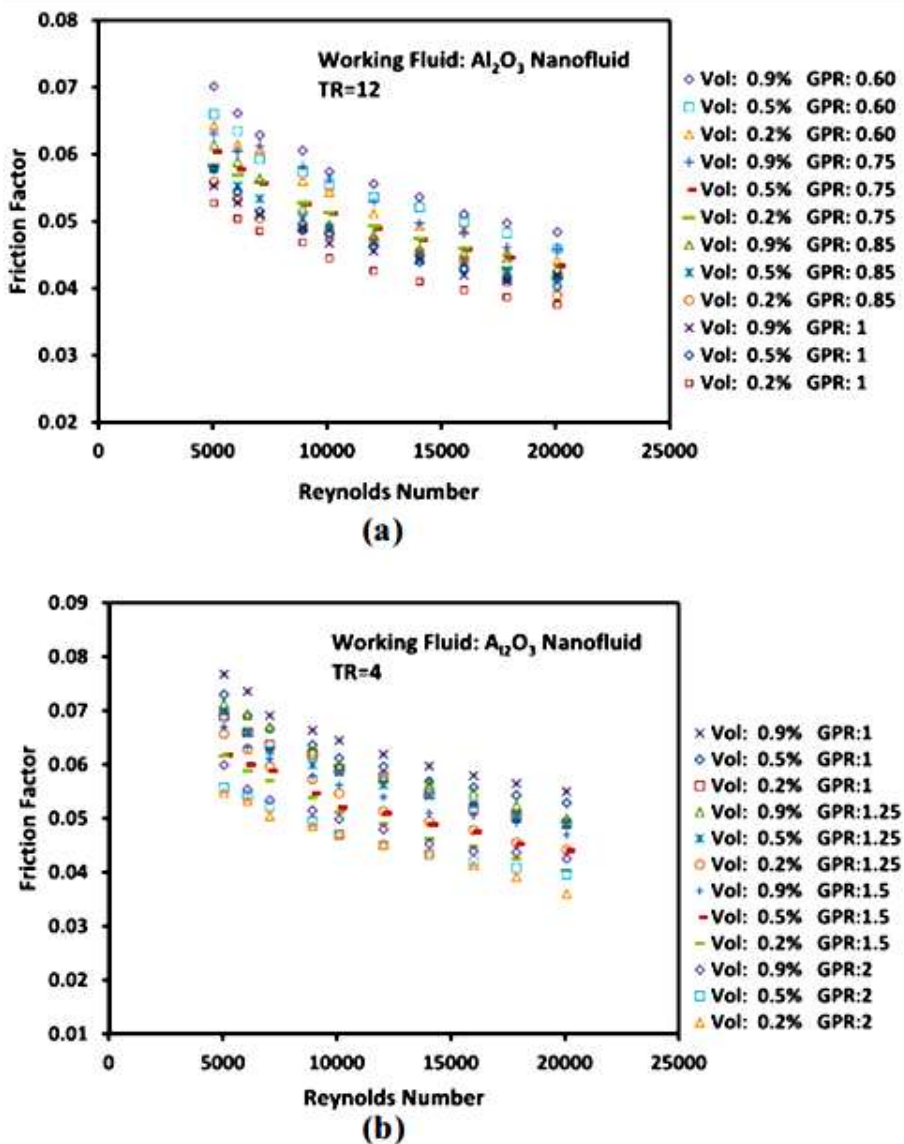
اثر ورود نوارهای به هم پیچیده در مسیر جریان می‌تواند با مقایسه‌ی اشکال (۳-۴)، (۴-۵) و (۶-۴) با شکل (۴-۴) انجام شود. این مشاهده می‌شود که انتقال حرارت مربوط به استفاده از نانوسیال و نوار پیچه‌ای مؤثرتر است موارد ارائه شده به تک‌تک این روش‌هاست.

#### ۴-۵-۴ اثر نوارهای در هم پیچیده‌ی اصلاح شده

تأثیر استفاده از نوارهای پیچ خورده اصلاح شده با نسبت پیچ خوردنگی مختلف در انتقال گرما از لحاظ عدد ناسلت، در شکل (۷-۴) نشان داده شد. در تمامی موارد، روند کلی یافته شده در شکل (۷-۴) این بود که عدد ناسلت با افزایش عدد رینولذز، افزایش می‌یافتد. این تأثیر به دلیل چگالی آشفتگی بود که منجر به بهبود انتقال گرما می‌شود. به همین ترتیب در ارتباط با عدد رینولذز، نتایج نشان داد که با نسبت تصاعدی هندسی کوچک (*RGPR*) و برعکس، نرخ انتقال گرما افزایش می‌یابد. نسبت‌های تصاعدی هندسی کوچک (*GPR*)، نوارهایی با طول *pitch* و نسبت پیچ خوردنگی ایجاد می‌نماید که در طول نوارها کاهش می‌یابد. همان‌طور که به‌وسیله روند داده‌ها تأیید می‌گردد، کاهش نسبت پیچ خوردنگی در طی نوار می‌تواند چگالی جریان پیچشی را افزایش دهد که این امر ترکیب شدن سیال را بهبود می‌بخشد. به همین ترتیب، آشفتگی اضافی در سرتاسر دیواره لوله، منجر به کاهش مؤثر لایه مرزی در نزدیکی منابع انتقال گرما گردیده و بنابراین یک عملکرد انتقال گرمای عالی را حاصل می‌نماید. علاوه بر این، استفاده از پیچ خوردنگی‌های *GPR* کاهشی، به دلیل مسیر جریان طولانی‌تر، یک افزایش در زمان مقاومت جریان را ایجاد می‌نماید؛ بنابراین افزایش طول گرمایی که بین منابع گرما (دیواره لوله) و سیال مبادله می‌شود، در مقایسه با افزایش نوارهای *GPR*، یک بهبود انتقال گرمای عالی را حاصل می‌نماید. در یک عدد رینولذز و نسبت‌های *GPR* داده شده، ضریب انتقال گرمای نانوسیالات با یک افزایش در غلظت نانو ذرات بهبود می‌یابد. علاوه بر بهبود رسانایی گرمایی به دلیل حضور نانو ذرات، رفتار پلاستیک‌گونه‌ی نانوسیال، دلیل بهبود انتقال گرما می‌باشد. افزایش نرخ برش، چسبندگی ظاهری را کاهش خواهد داد. نرخ برش بالاتر در نزدیکی دیواره، تمایل به کاهش چسبندگی ظاهری نانوسیال داشته که منجر به ممانعت از ایجاد لایه‌های مرزی گرمایی در نزدیکی سطوح انتقال می‌گردد و

بنابراین با نرخ انتقال گرمای بهبود یافته مرتبط خواهد بود. برخورد و حرکت تصادفی نانوذرات و حرکت ذرات از مناطق با نرخ برشی بالاتر به پایین‌تر، از فاکتورهای دیگر، در بهبود انتقال گرمای نانوسیالات می‌باشند.

تأثیر نوارهای پیچ خورده اصلاح شده بر خصوصیات فاکتور اصطکاک، در چندین غلظت نانوذره و  $GPR$ ، در شکل (۴-۸) نشان داده شده است.

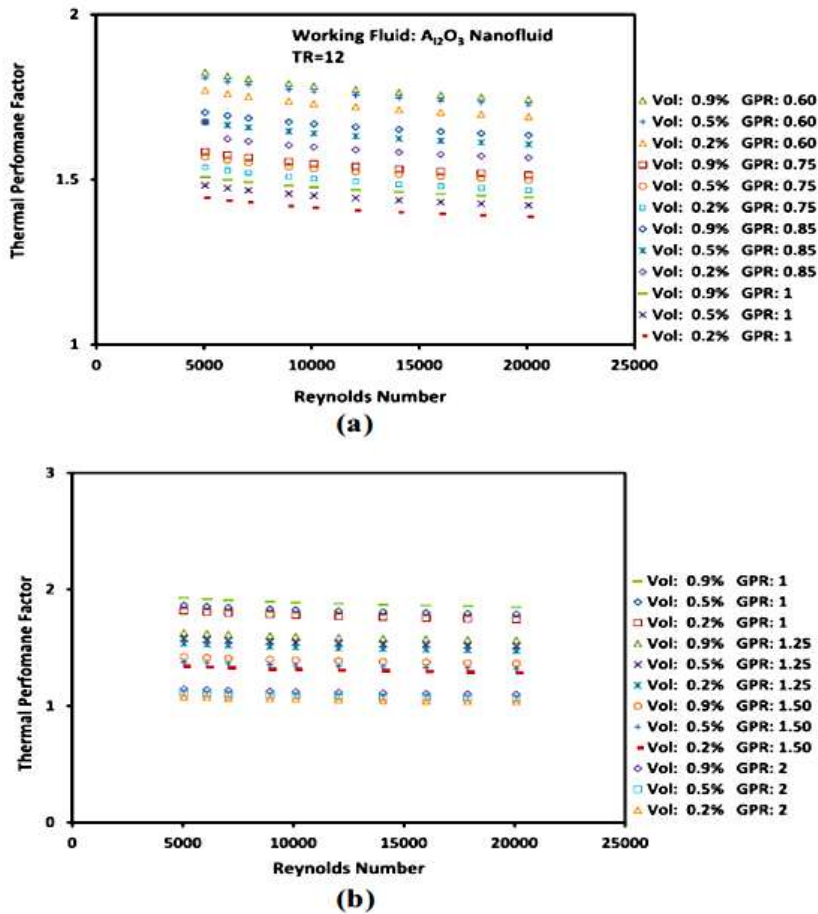


شکل ۴-۹ تأثیر نسبت تصاعدی هندسی بر عامل اصطکاک (a)  $IGPR$  (b)  $RGPR$

همان‌طور که مشاهده می‌شود، عامل اصطکاک به صورت قابل توجهی با کاهش عدد رینولز افزایش می‌یابد. همانند عدد ناسلت که در شکل (۷-۴) نشان داده شد، عامل اصطکاک

با استفاده از نوارهای GPR کاهشی، تمایل به افزایش دارد. چنین چیزی به میزان آشفتگی که به دلیل حضور نوارهای با طول pitch کوتاه شونده ایجاد می‌شود و افزایش منطقه سطح تماس که منجر به اتلاف چسبندگی بالاتری در نزدیک دیواره لوله می‌گردد بستگی دارد. لازم به ذکر است که غلظت بالاتر نانوسیال به دلیل افزایش چسبندگی سیال عامل، ممکن است منجر به یک نکته منفی در اتلاف فشار گردد.

فاکتور بهبود انتقال گرما که نشان‌دهنده مزایای عملی استفاده از ابزارهای تقویتی می‌باشد، از طریق معادله (۴-۲۹) در یک توان مکشی یکسان، مورد ارزیابی قرار گرفت. اختلاف فاکتور عملکرد گرمایی با اعداد رینولدز در شکل (۴-۱۰) نشان داده شده است. همان‌طور که شکل نشان می‌دهد، این فاکتور با افزایش عدد رینولدز، کاهش یافت. در یک عدد رینولدز یکسان، نوارهای پیچ‌خورده GPR کاهشی، فاکتور عملکرد بالاتری نسبت به نوارهای GPR افزایشی و نوعی را حدوداً ۲۰٪ حاصل می‌نماید. کاهش فاکتور عملکرد با افزایش عدد رینولدز به صورت ضمنی نشان‌دهنده این است که استفاده از نوارهای GPR کاهشی جهت ذخیره انرژی حیاتی می‌باشد. باید توجه نمود که فاکتور عملکرد، با یک افزایش در غلظت نانو ذرات، افزایش یافت. این بدین معناست که استفاده از هر دوی نانوسیال و نوارهای پیچ‌خورده اصلاح شده منجر به عملکرد گرمایی بالاتری نسبت به سایر موارد می‌گردد. اگر محدوده را در نظر بگیریم، فاکتورهای در یک محدوده بین ۱/۵ - ۲/۵۶ قرار داشتنند.



شکل ۴-۱۰ تغییرات شاخص بهبود گرمایی یا عدد رینولدز برای (a) IGPR (b) RGPR

#### ۴-۶ ارتباط‌ها (همبستگی‌ها)

همبستگی‌های تجربی، برای نتایج آزمایش فعلی جریان نانوسیال در مدل گرمایی لوله‌ی دوتایی که به نوارهای پیچ خورده اصلاح شده در یک محدوده از اعداد رینولدز بین ۵۰۰۰ تا ۲۵۰۰۰ تجهیز شده است، ایجاد گردید. اعتباربخشی همبستگی‌ها برای عدد رینولدز، فاکتور اصطکاک و فاکتور عملکرد، به وسیله مقایسه داده‌ی پیش‌بینی شده از همبستگی‌ها با داده‌های آزمایش و خطاهای بررسی شده، ایجاد گردید.

همبستگی‌های تجربی برای نتایج آزمایش و استفاده از رگرسیون غیرخطی برای عدد ناسلت و فاکتور اصطکاک به صورت رابطه (۴-۲۹) و (۴-۳۰) می‌باشد:

$$Nu = 0.056 Re^{0.72} Pr^{0.4} (1 + \pi\varphi)^{2.75} \left(1 + \frac{\pi}{2RT}\right)^{1.1} GPR^{-0.75} \quad (4-29)$$

$$f = 0.37 Re^{-0.24} Pr^{0.4} (1 + 3\pi\varphi)^{0.6} \left(1 + \frac{\pi}{TR^{1.4}}\right) GPR^{-0.35} \quad (4-30)$$

جهت ارزیابی این معادله، رابطه بین نرخ جریان حجمی و افت فشار بین مبدل‌های خالی (بهبود نیافته) و لوله‌هایی که با نوار (بهبود یافته) تجهیز شده‌اند را می‌توان به صورت رابطه (۴-۳۱) نوشت:

$$(V\Delta P)_E = (V\Delta P)_{NE} \quad (4-31)$$

معادله فوق را می‌توان از لحاظ عدد رینولدز و فاکتور اصطکاک به صورت رابطه (۴-۳۲) بازنویسی نمود:

$$(fRe^3)_E = (fRe^3)_{NE} \quad (4-32)$$

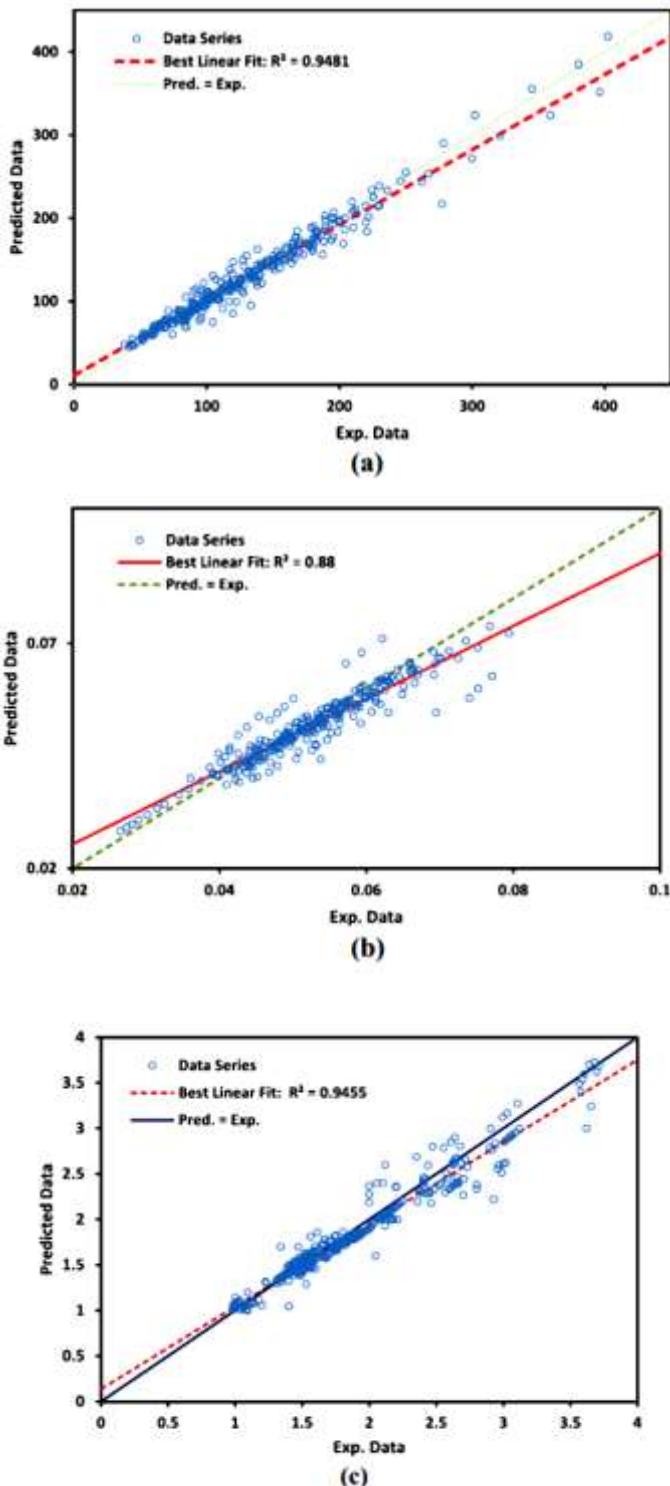
با اعمال معادلات (۴-۲۵) و (۴-۳۱)، عدد رینولدز لوله تهی را می‌توان به عنوان تابعی از عدد رینولدز لوله بهبود یافته بیان نمود:

$$Re_{NE} = 1.061 (1 + 3\pi\varphi)^{0.281} \left(1 + \frac{\pi}{TR^{1.4}}\right)^{0.363} GPR^{0.127} Re_E^{1.01} \quad (4-33)$$

با استفاده از معادلات (۴-۲۴)، (۴-۲۵)، (۴-۳۱) و (۴-۳۳) فاکتور گرما را می‌توان به صورت رابطه (۴-۳۴) بیان نمود:

$$\eta = 1.4Re^{-0.04} \frac{\left(1 + \frac{\pi}{3TR}\right)^{1.1}}{\left(1 + \frac{\pi}{TR^{1.4}}\right)^{0.727}} \frac{(1 + \pi\varphi)^{2.75}}{(1 + 3\pi\varphi)^{0.163}} GPR^{-0.653} \quad (4-34)$$

شکل (۱۱-۴) مقایسه نتایج آزمایش را با مقادیر به دست آمده از همبستگی‌ها را نشان می‌دهد.



شکل ۱۱-۴ اعتباربخشی همبستگی‌های تجربی برای (a) عدد نسلت، (b) فاکتور اصطکاک، (c) عملکرد گرمایی

جدول ۱-۴ عدم قطعیت‌های مربوط به ادوات و خواص

No	Name of instrument	Range of instrument	Variable measured	% Uncertainty
1	Themocouple	1370°C	Wall temperature	±0.1 °C
2	Flow meter	1-10,0001	Mass flow rate, m	±0.1
3	Rotameter	1-6001	Mass flow rate, m	±0.5
3	Pressure measurement	0-10 bar	Pressure drop	±0.075
4	Digitizer		Temperature indicator	
5	RTD PT 100	-200 to 500°C	Temp. of inlet/Outlet flow	±0.5 °C
6	QTM -500	0.023-12 W/mk	Thermal conductivity	±0.3
7	DV3T rheometer	0.1-250 RPM	Viscosity	±1.0
8	Properties	Density, specific heat		±0.1

جدول ۲-۴ عدم قطعیت‌ها برای پارامترها و متغیرها

	Variable name	%Uncertainty error
۱	Reynolds number, Re	±4%
۲	Nusselt number, Nu	±0.26
۳	Friction factor, f	±0.42

جدول عدم قطعیت‌ها برای ادوات مختلف مورد استفاده در این آزمایش، در جدول (۴-۴)

(۱) آورده شده است. مراکزیم خطای ممکن برای پارامترهای مربوط به این آنالیز، تخمین زده شده و مقادیر آن در جدول (۲-۴) آورده شده است. این مسئله باید تذکر داده شود که عدم قطعیت‌های تخمین زده شده، بر اساس ویژگی‌های تولید می‌باشند و بر اساس کالیبراسیون وسایل حاصل نشده‌اند.

عدد رینولدز (Re):

$$Re = \frac{\rho \dot{m}}{\pi D \mu}, \frac{U_{Re}}{Re} = \left( \left( \frac{U_{\dot{m}}}{\dot{m}} \right)^2 + \left( \frac{U_{\mu}}{\mu} \right)^2 \right)^{1/2} = 1/4\% \quad (4-35)$$

انتقال حرارت مربوط به نانوسیال:

$$Q_{nf} = \dot{m}_{nf} CP_{nf} (T_{out} - T_{in})_{nf}, \quad (4-36)$$

$$\frac{U_{Q_{nf}}}{Q_{nf}} = \left( \left( \frac{U_{\dot{m}_{nf}}}{\dot{m}_{nf}} \right)^r + \left( \frac{U_{CP_{nf}}}{CP_{nf}} \right)^r + \left( \frac{U_{T_{out} - T_{in}}}{T_{out} - T_{in}} \right)^r \right)^{\frac{1}{r}} = .17\%$$

نرخ انتقال حرارت برای آب:

$$Q_w = \dot{m}_w CP_w (T_{out} - T_{in})_w, \quad (4-37)$$

$$\frac{U_{Q_w}}{Q_w} = \left( \left( \frac{U_w}{\dot{m}_w} \right)^r + \left( \frac{U_{cp_w}}{CP_w} \right)^r + \left( \frac{U_{T_{out} - T_{in}}}{T_{out} - T_{in}} \right)^r \right)^{\frac{1}{r}} = .5\%$$

Nusselt number, Nu:

$$Nu = \frac{hD}{K}, \quad \frac{U_{Nu}}{Nu} = \left( \left( \frac{U_h}{h} \right)^r + \left( \frac{U_K}{K} \right)^r \right)^{\frac{1}{r}} = .26\%$$

فاکتور اصطکاک (f) به صورت زیر است:

$$f = \frac{\Delta P}{(\frac{1}{D})(\frac{\rho V^r}{r})}, \quad U_f = \left( \left( \frac{U_{\Delta P}}{\Delta P} \right)^r + \left( \frac{U_\rho}{\rho} \right)^r + \left( \frac{U_V}{V} \right)^r \right)^{\frac{1}{r}} = .42\% \quad (4-38)$$

فصل پنجم

نتیجہ گیری

## ۱-۵ نتیجه‌گیری

یک مطالعه تجربی از جریان آشفته نانوسیال آب- $Al_2O_3$  از مبدل گرمایی با لوله دوگانه که با نوارهای پیچ خورده اصلاح شده تجهیز شده بود برای محدودهای از اعداد رینولدز (۵۰۰۰ تا ۲۱۰۰۰) با یک محدوده گستردگای از کسر حجمی جامد (۰.۹٪ تا ۰.۰٪)، اجرا شده است. رفتار نانوسیال، فیفسه غیرنیوتی در نظر گرفته شد. از مفهوم ریاضی تصاعد هندسی برای تهییه نوارهای پیچ خورده اصلاح شده استفاده شد. طول *pitch* نوارهای پیچ خورده پیشنهادی و در نتیجه نسبت‌های پیچ خورده‌گی در سرتاسر پیچ خورده‌گی‌ها از لحاظ نسبت تصاعدی هندسی (GPR) چه کاهنده ( $PGR < 1$ ) و چه افزاینده ( $PGR > 1$ ) باشد، تغییر نمود. تأثیرات نسبت تصاعد هندسی، نسبت پیچ خورده‌گی و غلظت حجمی بر نرخ انتقال گرما و خصوصیات فاکتور اصطکاک نیز مورد بررسی قرار گرفته است. یک نسبت تصاعد هندسی که با یک نوار پیچ خورده تقسیم شده است، نقش قابل توجهی در بهبود انتقال گرما و فاکتور اصطکاک دارد. بسته به نسبت تصاعد هندسی، نرخ انتقال گرما و فاکتور اصطکاک در مبدل گرمایی با لوله دوگانه به همراه نوار پیچ خورده و نانوسیال، به ترتیب  $1/0.3$  تا  $4$  بوده و  $1/4$  تا  $2/8$  برابر نسبت به لوله ساده می‌باشند. عملکرد گرمایی جهت ارزیابی بهبود کلی رفتار گرمایی، محاسبه گردید. همبستگی‌های تجربی برای عدد ناسلت، عامل اصطکاک و فاکتور عملکرد گرمایی مبتنی بر داده آزمایشی فعلی نیز ارائه گردید.

## ۲-۵ پیشنهادات

- استفاده از سیالات گوناگون
- استفاده از سیستم‌های برودتی و گرمایشی
- مدل‌سازی به کمک نرم‌افزار ماشین‌های پشتیبان بردار

## منابع

- [1] A.E. Bergles, Techniques to augment heat transfer, in: W.M. Roshenow et al. (Eds.), *Hand Book of Heat Transfer Applications*, second ed., McGraw-Hill, New York, 1985.
- [2] K. Khanafer, K. Vafai, M. Lightstone, Buoyancy driven heat transfer enhancement in a two-dimensional enclosure utilizing nano-fluids, *Int. J. Heat Mass Transfer* 46 (2003) 3639–3653.
- [3] characteristics of TiO<sub>2</sub>-water nanofluid in a double-tube counter flow heat exchanger, *Int. J. Heat Mass Transfer* 52 (2009) 2059–2067.
- [4] Y. Hwang *et al.*, “Stability and thermal conductivity characteristics of nanofluids,” *Thermochim. Acta*, vol. 455, no. 1–2, pp. 70–74, Apr. 2007.
- [5] Y. Hwang *et al.*, “Production and dispersion stability of nanoparticles in nanofluids,” *Powder Technol.*, vol. 186, no. 2, pp. 145–153, Aug. 2008.
- [6] X. Zhang, H. Gu, and M. Fujii, “Effective thermal conductivity and thermal diffusivity of nanofluids containing spherical and cylindrical nanoparticles,” *Exp. Therm. Fluid Sci.*, vol. 31, no. 6, pp. 593–599, May 2007.
- [7] L. Jiang, L. Gao, and J. Sun, “Production of aqueous colloidal dispersions of carbon nanotubes,” *J. Colloid Interface Sci.*, vol. 260, no. 1, pp. 89–94, Apr. 2003.
- [8] M. Chandrasekar, S. Suresh, and A. Chandra Bose, “Experimental investigations and theoretical determination of thermal conductivity and viscosity of Al<sub>2</sub>O<sub>3</sub>/water nanofluid,” *Exp. Therm. Fluid Sci.*, vol. 34, no. 2, pp. 210–216, Feb. 2010.
- [9] A. Ghozatloo, A. M. Rashidi, and M. Shariaty-Niasar, “Effects of surface modification on the dispersion and thermal conductivity of CNT/water nanofluids,” *Int. Commun. Heat Mass Transf.*, vol. 54, pp. 1–7, May 2014.
- [10] G. Paul, J. Philip, B. Raj, P. K. Das, and I. Manna, “Synthesis, characterization, and thermal property measurement of nano-Al95Zn05 dispersed nanofluid prepared by a two-step process,” *Int. J. Heat Mass Transf.*, vol. 54, no. 15–16, pp. 3783–3788, Jul. 2011.
- [11] Y. Li, J. Zhou, S. Tung, E. Schneider, and S. Xi, “A review on development of nanofluid preparation and characterization,” *Powder Technol.*, vol. 196, no. 2, pp. 89–101, Dec. 2009.
- [12] X. Wang, D. Zhu, and S. Yang, “Investigation of pH and SDBS on enhancement of thermal conductivity in nanofluids,” *Chem. Phys. Lett.*, vol. 470, no. 1–3, pp. 107–111, Feb. 2009.
- [13] M. A. Khairul, K. Shah, E. Doroodchi, R. Azizian, and B. Moghtaderi, “Effects of surfactant on stability and thermo-physical properties of metal oxide nanofluids,” *Int. J. Heat Mass Transf.*, vol. 98, pp. 778–787, Jul. 2016.
- [14] Y. Ding *et al.*, “Forced convective heat transfer of nanofluids,” *Adv. Powder Technol.*, vol. 18, no. 6, pp. 813–824, Nov. 2007.
- [15] M. J. Assael, I. N. Metaxa, J. Arvanitidis, D. Christofilos, and C. Lioutas, “Thermal Conductivity Enhancement in Aqueous Suspensions of Carbon Multi-Walled and Double-Walled Nanotubes in the Presence of Two Different Dispersants,” *Int. J. Thermophys.*, vol. 26, no. 3, pp. 647–664, May 2005.

- [16] M. N. Pantzali, A. A. Mouza, and S. V. Paras, “Investigating the efficacy of nanofluids as coolants in plate heat exchangers (PHE),” *Chem. Eng. Sci.*, vol. 64, no. 14, pp. 3290–3300, Jul. 2009.
- [17] X. F. Li, D. S. Zhu, X. J. Wang, N. Wang, J. W. Gao, and H. Li, “Thermal conductivity enhancement dependent pH and chemical surfactant for Cu-H<sub>2</sub>O nanofluids,” *Thermochim. Acta*, vol. 469, no. 1–2, pp. 98–103, Mar. 2008.
- [18] I. Madni, C.-Y. Hwang, S.-D. Park, Y.-H. Choa, and H.-T. Kim, “Mixed surfactant system for stable suspension of multiwalled carbon nanotubes,” *Colloids Surfaces A Physicochem. Eng. Asp.*, vol. 358, no. 1–3, pp. 101–107, Apr. 2010.
- [19] Y. Ding, H. Alias, D. Wen, and R. A. Williams, “Heat transfer of aqueous suspensions of carbon nanotubes (CNT nanofluids),” *Int. J. Heat Mass Transf.*, vol. 49, no. 1–2, pp. 240–250, Jan. 2006.
- [20] N. Sezer and M. Koç, “Stabilization of the aqueous dispersion of carbon nanotubes using different approaches,” *Therm. Sci. Eng. Prog.*, vol. 8, no. June, pp. 411–417, 2018.
- [21] N. Sezer and M. Koç, “Dispersion Stability of CNT and CNT/Metal-based Nanofluids,” in *International Conference on Thermal Engineering: Theory and Applications*, 2018, pp. 1–4.
- [22] T. D. Pham, “Adsorption Characteristics of Organic Anions onto Large  $\alpha$ -Alumina Beads with Positively Charged Surface,” 2014.
- [23] X.-Q. Wang and A. S. Mujumdar, “Heat transfer characteristics of nanofluids: a review,” *Int. J. Therm. Sci.*, vol. 46, no. 1, pp. 1–19, Jan. 2007.
- [24] H. Xie and L. Chen, “Adjustable thermal conductivity in carbon nanotube nanofluids,” *Phys. Lett. A*, vol. 373, no. 21, pp. 1861–1864, May 2009.
- [25] S. M. S. Murshed, K. C. Leong, and C. Yang, “Investigations of thermal conductivity and viscosity of nanofluids,” *Int. J. Therm. Sci.*, vol. 47, no. 5, pp. 560–568, May 2008.
- [26] E. K. Goharshadi, H. Ahmadzadeh, S. Samiee, and M. Hadadian, “Nanofluids for Heat Transfer Enhancement-A Review,” *Phys. Chem. Res.*, vol. 1, pp. 1–33, 2013.
- [27] Babita, S. K. Sharma, and S. M. Gupta, “Preparation and evaluation of stable nanofluids for heat transfer application: A review,” *Exp. Therm. Fluid Sci.*, vol. 79, pp. 202–212, Dec. 2016.
- [28] D. Wen and Y. Ding, “Experimental investigation into the pool boiling heat transfer of aqueous based  $\gamma$ -alumina nanofluids,” *J. Nanoparticle Res.*, vol. 7, no. 2–3, pp. 265–274, Jun. 2005.
- [29] D. Wen and Y. Ding, “Experimental investigation into the pool boiling heat transfer of aqueous based  $\gamma$ -alumina nanofluids,” *J. Nanoparticle Res.*, vol. 7, no. 2–3, pp. 265–274, Jun. 2005.
- [30] B. Ruan and A. M. Jacobi, “Ultrasonication effects on thermal and rheological properties of carbon nanotube suspensions,” *Nanoscale Res. Lett.*, vol. 7, no. 1, p. 127, 2012.
- [31] I. M. Mahbubul, R. Saidur, M. A. Amalina, and M. E. Niza, “Influence of ultrasonication duration on rheological properties of nanofluid: An experimental study with alumina–water nanofluid,” *Int. Commun. Heat Mass Transf.*, vol. 76, pp. 33–40, Aug. 2016.

- [32] K. Kwak and C. Kim, “Viscosity and thermal conductivity of copper oxide nanofluid dispersed in ethylene glycol,” *Korea-Australia Rheol. J.*, vol. 17, pp. 35–40, 2005.
- [33] J.-H. Lee *et al.*, “Effective viscosities and thermal conductivities of aqueous nanofluids containing low volume concentrations of Al<sub>2</sub>O<sub>3</sub> nanoparticles,” *Int. J. Heat Mass Transf.*, vol. 51, no. 11–12, pp. 2651–2656, Jun. 2008.
- [34] K. Nemade and S. Waghuley, “A novel approach for enhancement of thermal conductivity of CuO/H<sub>2</sub>O based nanofluids,” *Appl. Therm. Eng.*, vol. 95, pp. 271–274, Feb. 2016.
- [35] Y. Hwang *et al.*, “Production and dispersion stability of nanoparticles in nanofluids,” *Powder Technol.*, vol. 186, no. 2, pp. 145–153, Aug. 2008.
- [36] S. Bobbo *et al.*, “Viscosity of water based SWCNH and TiO<sub>2</sub> nanofluids,” *Exp. Therm. Fluid Sci.*, vol. 36, pp. 65–71, Jan. 2012.
- [37] M. Farbod, R. Kouhpeymani asl, and A. R. Noghreh abadi, “Morphology dependence of thermal and rheological properties of oil-based nanofluids of CuO nanostructures,” *Colloids Surfaces A Physicochem. Eng. Asp.*, vol. 474, pp. 71–75, Jun. 2015.
- [38] E. Ettefaghi, H. Ahmadi, A. Rashidi, S. Mohtasebi, and M. Alaei, “Experimental evaluation of engine oil properties containing copper oxide nanoparticles as a nanoadditive,” *Int. J. Ind. Chem.*, vol. 4, no. 1, p. 28, 2013.
- [39] E. Shahsavani, M. Afrand, and R. Kalbasi, “Experimental study on rheological behavior of water–ethylene glycol mixture in the presence of functionalized multi-walled carbon nanotubes,” *Journal Therm. Anal. Calorim.*, 2018.
- [40] 40 S. U. S. Choi and J. A. Eastman, “Enhancing thermal conductivity of fluids with nanoparticles,” *ASME Int. Mech. Eng. Congr. Expo.*, pp. 99–105, 1995.
- [41] L. Godson, B. Raja, D. Mohan Lal, and S. Wongwises, “Enhancement of heat transfer using nanofluids—An overview,” *Renew. Sustain. Energy Rev.*, vol. 14, no. 2, pp. 629–641, Feb. 2010.
- [42] M. Xing, J. Yu, and R. Wang, “Thermo-physical properties of water-based single-walled carbon nanotube nanofluid as advanced coolant,” *Appl. Therm. Eng.*, vol. 87, pp. 344–351, Aug. 2015.
- [43] G. Paul, M. Chopkar, I. Manna, and P. K. Das, “Techniques for measuring the thermal conductivity of nanofluids: A review,” *Renew. Sustain. Energy Rev.*, vol. 14, no. 7, pp. 1913–1924, Sep. 2010.
- [44] V. Trisaksri and S. Wongwises, “Critical review of heat transfer characteristics of nanofluids,” *Renew. Sustain. Energy Rev.*, vol. 11, no. 3, pp. 512–523, Apr. 2007.
- [45] J. A. Eastman, U. S. Choi, S. Li, L. J. Thompson, and S. Lee, “Enhanced Thermal Conductivity through the Development of Nanofluids,” *MRS Proc.*, vol. 457, p. 3, Jan. 1996.
- [46] S. M. Fotukian and M. Nasr Esfahany, “Experimental investigation of turbulent convective heat transfer of dilute  $\gamma$ -Al<sub>2</sub>O<sub>3</sub>/water nanofluid inside a circular tube,” *Int. J. Heat Fluid Flow*, vol. 31, no. 4, pp. 606–612, Aug. 2010.
- [47] M. Raja, R. Vijayan, P. Dineshkumar, and M. Venkatesan, “Review on nanofluids characterization, heat transfer characteristics and applications,” *Renew. Sustain. Energy Rev.*, vol. 64, pp. 163–173, Oct. 2016.

- [48] S. K. Gupte, S. G. Advani, and P. Huq, “Role of micro-convection due to non-affine motion of particles in a mono-disperse suspension,” *Int. J. Heat Mass Transf.*, vol. 38, p. 2945, 1995.
- [49] J. C. Maxwell, *A treatise on electricity and magnetism*. Oxford: Clarendon Press, 1873.
- [50] V. Srinivas, C. V. K. N. S. N. Moorthy, V. Dedeepya, P. V. Manikanta, and V. Satish, “Nanofluids with CNTs for automotive applications,” *Heat Mass Transf.*, vol. 52, no. 4, pp. 701–712, Apr. 2016.
- [51] X. F. Li, D. S. Zhu, X. J. Wang, N. Wang, J. W. Gao, and H. Li, “Thermal conductivity enhancement dependent pH and chemical surfactant for Cu-H<sub>2</sub>O nanofluids,” *Thermochim. Acta*, vol. 469, no. 1–2, pp. 98–103, Mar. 2008.
- [52] S. Lee, S. U.-S. Choi, S. Li, and J. A. Eastman, “Measuring Thermal Conductivity of Fluids Containing Oxide Nanoparticles,” *J. Heat Transfer*, vol. 121, no. 2, p. 280, 1999.
- [53] B. Chitra and K. S. Kumar, “Heat transfer enhancement using single base and double base nanofluids,” *J. Mol. Liq.*, vol. 221, pp. 1128–1132, Sep. 2016.
- [54] M.-S. Liu, M. C.-C. Lin, C. Y. Tsai, and C.-C. Wang, “Enhancement of thermal conductivity with Cu for nanofluids using chemical reduction method,” *Int. J. Heat Mass Transf.*, vol. 49, no. 17–18, pp. 3028–3033, Aug. 2006.
- [55] Y. Hwang *et al.*, “Production and dispersion stability of nanoparticles in nanofluids,” *Powder Technol.*, vol. 186, no. 2, pp. 145–153, Aug. 2008.
- [56] J. A. Eastman, S. U. S. Choi, S. Li, W. Yu, and L. J. Thompson, “Anomalously increased effective thermal conductivities of ethylene glycol-based nanofluids containing copper nanoparticles,” *Appl. Phys. Lett.*, vol. 78, no. 6, p. 718, 2001.
- [57] S. M. S. Murshed, K. C. Leong, and C. Yang, “Enhanced thermal conductivity of TiO<sub>2</sub>—water based nanofluids,” *Int. J. Therm. Sci.*, vol. 44, no. 4, pp. 367–373, Apr. 2005.
- [58] Y. Xuan and Q. Li, “Heat transfer enhancement of nanofluids,” *Int. J. Heat Fluid Flow*, vol. 21, no. 1, pp. 58–64, Feb. 2000.
- [59] E. K. Goharshadi, S. Samiee, and P. Nancarrow, “Fabrication of cerium oxide nanoparticles: Characterization and optical properties,” *J. Colloid Interface Sci.*, vol. 356, no. 2, pp. 473–480, Apr. 2011.
- [60] E. K. Goharshadi, S. H. Sajjadi, R. Mehrkhah, and P. Nancarrow, “Sonochemical synthesis and measurement of optical properties of zinc sulfide quantum dots,” *Chem. Eng. J.*, vol. 209, pp. 113–117, Oct. 2012.
- [61] M. Yazdanbakhsh, I. Khosravi, E. K. Goharshadi, and A. Youssefi, “Fabrication of nanospinel ZnCr<sub>2</sub>O<sub>4</sub> using sol–gel method and its application on removal of azo dye from aqueous solution,” *J. Hazard. Mater.*, vol. 184, no. 1–3, pp. 684–689, Dec. 2010.
- [62] H. Zhu, Y. Lin, and Y. Yin, “A novel one-step chemical method for preparation of copper nanofluids,” *J. Colloid Interface Sci.*, vol. 277, no. 1, pp. 100–103, Sep. 2004.
- [63] X.-Q. Wang and A. S. Mujumdar, “Heat transfer characteristics of nanofluids: a review,” *Int. J. Therm. Sci.*, vol. 46, no. 1, pp. 1–19, Jan. 2007.
- [64] Y. Li, J. Zhou, S. Tung, E. Schneider, and S. Xi, “A review on development of nanofluid preparation and characterization,” *Powder Technol.*, vol. 196, no. 2, pp. 89–101, Dec. 2009.

- [65] P. Keblinski, J. A. Eastman, and D. G. Cahill, "Nanofluids for thermal transport," *Mater. Today*, vol. 8, no. 6, pp. 36–44, Jun. 2005.
- [66] M. A. Khairul, K. Shah, E. Doroodchi, R. Azizian, and B. Moghtaderi, "Effects of surfactant on stability and thermo-physical properties of metal oxide nanofluids," *Int. J. Heat Mass Transf.*, vol. 98, pp. 778–787, Jul. 2016.
- [67] A.E. Bergles, Techniques to augment heat transfer, in: W.M. Roshenow et al. (Eds.), *Hand Book of Heat Transfer Applications*, second ed. , McGraw-Hill, New York, 1985 .
- [68] K. Khanafer, K. Vafai, M. Lightstone, Buoyancy driven heat transfer enhancement in a two-dimensional enclosure utilizing nano-fluids, *Int. J. Heat Mass Transfer* 46 (2003) 3639–3653 .
- [69] W. Duangthongsuk, S. Wongwises, Heat transfer enhancement and pressure drop characteristics of TiO<sub>2</sub> –water nanofluid in a double-tube counter flow heat exchanger, *Int. J. Heat Mass Transfer* 52 (2009) 2059–2067 .
- [70] S.U.S. Choi, Enhancing thermal conductivity of fluid with nanoparticles, in: D.A. Siginer, H.P. Wang (Eds.), *Developments and Applications of Non-Newtonian Flows*, FED-V.231/MD-V.66 , ASME, New York, 1995, pp. 99–105 .
- [71] X.Q. Wang, A.S. Mujumdar, Heat transfer characteristics of nanofluids: a review, *Int. J. Therm. Sci.* 46 (2007) 1–19 .
- [72] L. Godson, B. Raja, D. Mohan Lal, S. Wongwises, Enhancement of heat transfer using nanofluids – a n overview, *Renewable Sustainable Energy Rev.* 14 (2009) 629–641 .
- [73] C.T. Nguyen, F. Desgranges, N. Galanis, G. Roy, T. Maré, S. Boucher, Viscosity data for Al<sub>2</sub>O<sub>3</sub> –water nanofluid – hysteresis: is heat transfer enhancement using nanofluids reliable?, *Int J. Therm. Sci.* 47 (2008) 103–111 .
- [74] M. Hojjat, S.Gh. Etemad, R. Bagheri, J. Thibault, Convective heat transfer of non- Newtonian nanofluids through a uniformly heated circular tube, *Int. J. Therm. Sci.* 50 (2011) 525–531 .
- [75] S.W. Chang, Y.J. Jan, J.S. Liou, Turbulent heat transfer and pressure drop in tube fitted with serrated twisted tape, *Int. J. Therm. Sci.* 46 (2007) 506–518 .
- [76] K. Wongcharee, S. Eiamsa-ard, Friction and heat transfer characteristics of laminar swirl flow through the round tubes inserted with alternate clockwise and counter-clockwise twisted-tapes, *Int. Commun. Heat Mass Transfer* 38 (2011) 348–352 .
- [77] R.M. Manglik, A.E. Bergles, Heat transfer and pressure drop correlations for twisted tape inserts in isothermal tubes. Part I – Laminar flows, *Trans. ASME, J. Heat Transfer* 115 (1993) 881–889 .
- [78] X. Zhang, Z. Liu, W. Liu, Numerical studies on heat transfer and flow characteristics for laminar flow in a tube with multiple regularly spaced twisted tapes, *Int. J. Therm. Sci.* 58 (2012) 157–167 .
- [79] L. Syam Sundar, K.V. Sharma, Turbulent heat transfer and friction factor of Al<sub>2</sub>O<sub>3</sub> nanofluid in circular tube with twisted tape inserts, *Int. J. Heat Mass Transfer* 53 (2010) 1409–1416 .
- [80] K. Wongcharee, S. Eiamsa-ard, Heat transfer enhancement by using CuO/water nanofluid in corrugated tube equipped with twisted tape, *Int. Commun. Heat Mass Transfer* 39 (2012) 251–257 .

- [81] M. Fakoor-Pakdaman, M.A. Akhavan-Behabadi, P. Razi, An empirical study on the pressure drop characteristics of nanofluid flow inside helically coiled tubes, *Int. J. Therm. Sci.* 65 (2013) 206–213
- [82] R.M. Manglik, A.E. Bergles, Heat transfer and pressure drop correlations for twisted-tape inserts in isothermal tubes. Part II: Transition and turbulent flows, *Trans. ASME, J. Heat Transfer* 115 (1993) 890–896 .
- [83] P.K. Sarma, T. Subrahmanyam, P.S. Kishore, V. Dharmarao, S. Kakac, A new method to predict convective heat transfer in a tube with twisted tape inserts for turbulent flow, *Int. J. Therm. Sci.* 41 (2002) 955–960 .
- [84] P.K. Sarma, P.S. Kishore, V. Dharmarao, T. Subrahmanyam, A combined approach to predict friction coefficients and convective heat transfer characteristics in a tube with twisted tape inserts for a wide range of Re and Pr, *Int. J. Therm. Sci.* 44 (2005) 393–398 .
- [85] P. Naphon, Heat transfer and pressure drop in the horizontal double pipes with and without twisted tape insert, *Int. Commun. Heat Mass Transfer* 33 (2006) 166–175 .
- [86] S. Eiamsa-ard, C. Thianpong, P. Eiamsa-ard, P. Promvonge, Thermal characteristics in a heat exchanger tube fitted with dual twisted tape elements in tandem, *Int. Commun. Heat Mass Transfer* 37 (2010) 39–46 .
- [87] Alizadeh, Mostafa et al., Experimental study of Al 203/ water nanofluid turbulent heat transfer enhancement in the horizontal double pipes fitted with modified twisted tapes , *international journal of heat and mass transfer*. 2014.pp
- [88] B.C. Pak, Y.I. Cho, Hydrodynamic and heat transfer study of dispersed fluids with submicron metallic oxide particles, *Exp. Heat Transfer* 11 (1998) 151– 170 .
- [89] Y. Xuan, W. Roetzel, Conceptions for heat transfer correlation of nanofluids, *Int. J. Heat Mass Transfer* 43 (2000) 3701–3707 .
- [90] R.L. Hamilton, O.K. Crosser, Thermal conductivity of heterogeneous two component systems, *I&EC Fundam.* 1 (3) (1962) 187 .
- [91] W. Yu, S.U.S. Choi, The role of interfacial layers in the enhanced thermal conductivity of nanofluids: a renovated Maxwell model, *J. Nanoparticle Res.* 5 (2003) 167 .
- [92] D.A.G. Bruggeman, Berechnung verschiedener physikalischer konstanten von heterogenen substanzien. I: Dielektrizitätskonstanten und Leitfähigkeiten der Mischkörper aus Isotropen Substanzen, *Ann. Phys.* 14 (1935) 636–664 .
- [93] E.V. Timofeeva, A.N. Gavrilov, J.M. McCloskey, Y.V. Tolmachev, Thermal conductivity and particle agglomeration in alumina nanofluids: experiment and theory, *Phys. Rev.* 76 (2007). E76, 061203 .
- [94] R.B. Bird, W.E. Stewai, E.N. Lightfoot, *Transport Phenomena*, second ed. , John Wiley & Sons, 2002 .
- [95] M. Hojjat, S.Gh. Etemad, S.G.R. Bagheri, J. Thibault, Rheological characteristics of non-Newtonian nanofluids: experimental investigation, *Int. Commun. Heat Mass Transfer* 38 (2011) 144–148 .
- [96] A.K. Santra, S. Sen, N. Chakraborty, Study of heat transfer due to laminar flow of copper–water nanofluid through two isothermally heated parallel plates, *Int. J. Therm. Sci.* 48 (2009) 391–400 .
- [97] F.P. Incropera, P.D. Witt, T.L. Bergman, A.S. Lavine, *Fundamentals of Heat and Mass Transfer*, John-Wiley & Sons, 2006 .

[98] R.M. Manglik, A.E. Bergles, Heat transfer and pressure drop correlations for twisted-tape inserts in isothermal tubes. Part II: Transition and turbulent flows, Trans. ASME, J. Heat Transfer 115 (1993) 890–896 .

[99] L. Syam Sundar, K.V. Sharma, Turbulent heat transfer and friction factor of Al nanofluid in circular tube with twisted tape inserts, Int. J. Heat Mass Transfer 53 (2010) 1409–1416 .

## **Abstract**

In this study, fluid flow of the Al<sub>2</sub>O<sub>3</sub> nanofluid in a horizontal double pipe heat exchanger fitted with modified twisted tapes were experimentally studied under turbulent flow conditions. The experiments with different geometrical progression ratio (GPR) of twists as the new modified twisted tapes and different nanofluid concentration were performed under similar operation condition. Pitch length of the proposed twisted tapes and consequently the twist ratios changed along the twists with respect to the geometrical progression ratio (GPR) whether reducer ( $RGPR < 1$ ) or increaser ( $IGPR > 1$ ). Regarding the experimental data, utilization of RGPR twists together with nanofluids tends to increase heat transfer and friction factor by 12% to 52% and 5% to 28% as compared with the tube with typical twisted tapes ( $GPR = 1$ ) and nanofluid. Contrarily, performances were weakened by using for IGPR twists 0.6 to 0.92 and 0.75 to 0.95. The thermal performances of the heat exchanger with nanofluid and modified twisted tapes were evaluated for the assessment of overall improvement in thermal behavior. Generalized correlations were developed for the estimation of Nusselt number, friction factor and thermal performance factor under turbulent flow conditions. Satisfactory agreement between the present correlations and obtained experimental data validate the proposed correlations.

**Key Word:** Pressure drop, Heat transfer, Nano fluid.



Energy Institute For Higher Education  
Faculty Of Engineering

Departement Of Energy System Engineering- Energy System  
Thesis For  
Degree Of Master Of Science (M.Sc)

**Title**

**Investigation of pressure drop and heat transfer in piping and heat exchangers with nanofluid and equipped with tabulator**

**Supervisor**

Yousef Yassi (Ph.D)

**Advisor**

Heydar Maddah (Ph.D)

**By**

Sara Abbasi Zangeneh

**Winter 2019**